

วัสดุไชบวิดของคิวเอ/พอลิสไตรีนขนาด nano/นาโนซิลิกา

นางสาวน้ำสุณิชา ปิยะวงศ์

วิทยานิพนธ์เป็นส่วนหนึ่งของการศึกษาตามหลักสูตรปริญญาวิทยาศาสตรมหาบัณฑิต
สาขาวิชาวิทยาศาสตร์พอลิเมอร์ประยุกต์และเทคโนโลยีสิ่งทอ ภาควิชาวัสดุศาสตร์
คณะวิทยาศาสตร์ จุฬาลงกรณ์มหาวิทยาลัย
ปีการศึกษา 2552
ลิขสิทธิ์ของจุฬาลงกรณ์มหาวิทยาลัย

HYBRID MATERIALS OF EVA/NANOSIZED POLYSTYRENE/NANOSILICA

Miss Nutnicha Piyawong

A Thesis Submitted in Partial Fulfillment of the Requirements
for the Degree of Master of Science Program in Applied Polymer Science and Textile Technology
Department of Materials Science
Faculty of Science
Chulalongkorn University
Academic Year 2009
Copyright of Chulalongkorn University

หัวข้อวิทยานิพนธ์
โดย
สาขาวิชา
อาจารย์ที่ปรึกษาวิทยานิพนธ์หลัก

วัสดุไปรษณีย์/เอกสาร/ผลิตภัณฑ์ดิจิทัล
นางสาวณัฐณิชา ปียะวงศ์
วิทยาศาสตร์พอลิเมอร์ประยุกต์และเทคโนโลยีสิ่งทอ¹
รองศาสตราจารย์ เสาวรจน์ ช่วยจุลจิตร์²

คณะกรรมการคุ้มครองสิทธิบัตร จุฬาลงกรณ์มหาวิทยาลัย อนุมัติให้นับวิทยานิพนธ์ฉบับนี้เป็นส่วนหนึ่ง
ของการศึกษาตามหลักสูตรปริญามหาบัณฑิต

คณบดีคณะวิทยาศาสตร์
(ศาสตราจารย์ ดร.สุพจน์ หวานองบัว)

คณะกรรมการสอบวิทยานิพนธ์

ประธานกรรมการ
(ผู้ช่วยศาสตราจารย์ ดร.ศิริวัฒน์ เจียมศิริเลิศ)

อาจารย์ที่ปรึกษาวิทยานิพนธ์หลัก
(รองศาสตราจารย์ เสาวรจน์ ช่วยจุลจิตร์)

กรรมการ
(รองศาสตราจารย์ ดร.ประณัฐ พิมิยะราษ)

กรรมการภายนอกมหาวิทยาลัย
(อาจารย์ ดร.พวทิพย์ แซ่เบ๊)

ณัฐนิชา ปิยะวงศ์: วัสดุไฮบริดของอีวีเอ/พอลิสไตรีนขนาดนาโน/นาโนซิลิค
 (HYBRID MATERIALS OF EVA/NANOSIZED POLYSTYRENE/NANOSILICA)
 อ.ที่ปรึกษาหลักวิทยานิพนธ์: รศ.เสาวรจน์ ช่วยจุลจิตร์, 88 หน้า

วัสดุไฮบริดระหว่างสารอินทรีย์-อนินทรีย์ของเอทิลีนไวนิลแอซีเตตโคพอลิเมอร์ (อีวีเอ)/พอลิสไตรีนอนุภาคขนาดนาโนเมตร/นาโนซิลิกาถูกเตรียมโดยการผสมในสภาพของเลเท็กซ์ ซึ่งนาโนเลเท็กซ์ของพอลิสไตรีนถูกสังเคราะห์ด้วยกระบวนการเกิดพอลิเมอร์แบบดิฟเฟอเรนเชียล ไมโครมัลชัน โดยใช้โซเดียมಡีเซลซัลเฟต และโซบิสไอโซบิวิทโรไนไตรอลเป็นสารลดแรงตึงผิว และสารเริ่มปฏิกิริยา ตามลำดับ โดยพอลิสไตรีนอนุภาคขนาดนาโนเมตรที่เตรียมได้ถูกตรวจสอบด้วยกล้องจุลทรรศน์อิเล็กtrononแบบส่องผ่าน และเครื่องวัดขนาดอนุภาคด้วยเทคนิคการกระเจิงแสงแบบพลวัต พบว่า อนุภาคทรงกลมของพอลิสไตรีนมีขนาดเส้นผ่านศูนย์กลางเฉลี่ยเท่ากับ 15 นาโนเมตร ซึ่งพอลิเมอร์ผสมอีวีเอ/พอลิสไตรีนอัตราส่วน 90/10 80/20 70/30 และ 60/40 โดยนำหนักแห้ง ถูกผสมกับนาโนซิลิกาปริมาณ 0.1 และ 0.5 ส่วนต่อเรซินร้อยส่วน ด้วยเครื่องปั่นผสม เชิงกลที่ความเร็ว 100 รอบต่อนาที เป็นเวลา 2 ชั่วโมง เลเท็กซ์ผสมถูกนำไปหล่อให้เป็นแผ่นในแม่แบบที่ทำจากกระจก ก่อนทำให้แห้งในอากาศ 1 วัน แล้วอบในเตาอบที่อุณหภูมิ 70 องศาเซลเซียส เป็นเวลา 6 ชั่วโมง จากนั้นชิ้นงานถูกนำไปตรวจสอบสมบัติด้านความทนแรงดึง สมบัติเชิงกลพลวัต พฤติกรรมทางความร้อน และสัณฐานวิทยาด้วยเครื่องทดสอบบูร์ชเซล เครื่องวิเคราะห์สมบัติเชิงกลพลวัต เครื่องเทอร์โมแกรวิเมทริกแอนาไลเซอร์ และกล้องจุลทรรศน์อิเล็กtrononแบบส่องกล้อง ตามลำดับซึ่งการใส่พอลิสไตรีนอนุภาคขนาดนาโนเมตรและนาโนซิลิกาในปริมาณที่เหมาะสมได้แสดงการปรับปรุงความทนแรงดึง ยังสมดุลล์ สมบัติเชิงกลพลวัต และเสถียรภาพทางความร้อนของอีวีเอ ขณะที่เปอร์เซ็นต์การยึดตัว ณ จุดขาดมีค่าลดลง

ภาควิชา วัสดุศาสตร์ ลายมือชื่อนิสิต _____
 สาขาวิชา วิทยาศาสตร์พอลิเมอร์ประยุกต์และเทคโนโลยีสิ่งทอ ลายมือชื่อ อ.ที่ปรึกษาวิทยานิพนธ์หลัก _____
 ปีการศึกษา 2552 _____

#5172283623: MAJOR APPLIED POLYMER SCIENCE AND TEXTILE TECHNOLOGY
KEYWORDS: DIFFERENTIAL MICROEMULSION POLYMERIZATION/ POLYSTYRENE /
NANOLATEX / EVA

NUTNICHCHA PIYAWONG : HYBRID MATERIALS OF EVA/NANOSIZED
POLYSTYRENE/NANOSILICA. THESIS ADVISOR: ASSOC. PROF. SAOWAROJ
CHUAYJULJIT, 88 pp.

Organic-inorganic hybrid materials of ethylene vinyl acetate copolymer (EVA)/nanosized-polystyrene (PS)/nanosilica were prepared by latex compounding. The nanolatex of PS was synthesized via differential microemulsion polymerization using sodium dodecyl sulfate and azobisisobutyronitrile as surfactant and initiator, respectively. The resulting PS nanoparticles were observed under transmission electron microscope and dynamic light scattering analyzer. It is found that the spherical-shaped PS particles with average diameter of 15 nm have been achieved. Polyblends of EVA and PS at EVA/PS dry weight ratios of 90/10, 80/20, 70/30 and 60/40 were mixed with nanosilica at the amount of 0.1 and 0.5 part per hundred resin using a mechanical stirrer at 100 rpm for 2 h. The blended latices were cast into sheets on a glass mold, air dried for 1 day and then in an oven at 70°C for 6 h. After that, the samples were examined for their tensile properties, thermodynamic mechanical properties, thermal behavior and morphology using a universal testing machine, dynamic mechanical analyzer, thermal gravimetric analyzer and scanning electron microscope, respectively. The incorporation of the appropriate amount of nanosized-PS and nanosilica apparently improved the tensile strength, Young's modulus, dynamic mechanical properties and thermal stability of the EVA, whereas the elongation at break deteriorated.

Department : Materials Science Student's Signature.....
Field of study : Applied Polymer Science and Textile technology Advisor's Signature.....
Academic year : 2009

กิตติกรรมประกาศ

วิทยานิพนธ์ฉบับนี้สำเร็จลุล่วงตามวัตถุประสงค์ที่ตั้งไว้ เพราะได้รับความเชื่อ佩็นด้านเครื่องมือ วัสดุดีบและสถานที่ทำวิทยานิพนธ์ รวมทั้งความช่วยเหลือและคำแนะนำทางวิชาการอย่างดียิ่งจากผู้ทรงคุณวุฒิหลายท่าน ข้าพเจ้าจึงครรภ์ขอขอบคุณบุคคลและหน่วยงานที่เกี่ยวข้องดังรายนาม ดังนี้

1. รองศาสตราจารย์ เสาวรุจนา ชัยวุฒิจิตร์ อาจารย์ที่ปรึกษาวิทยานิพนธ์ ที่ให้คำปรึกษาแนวทางในการทำวิทยานิพนธ์ฉบับสมบูรณ์
2. ศูนย์ความเป็นเลิศแห่งชาติด้านปิโตรเคมี แล้วสุดขั้นสูงที่ได้ให้ทุนสนับสนุนด้านการศึกษาและงานวิจัย
3. ดร.ชัยวัฒน์ นรากานต์กร ที่ให้คำแนะนำและการแก้ปัญหาอย่างดียิ่งโดยเสมอมา
4. คุณอัญญา พุฒมหิษฐ์ ที่ให้คำแนะนำและการแก้ปัญหาอย่างดียิ่งโดยเสมอมา
5. ภาควิชาวัสดุศาสตร์ คณะวิทยาศาสตร์ จุฬาลงกรณ์มหาวิทยาลัย
6. ศูนย์เครื่องมือวิจัยวิทยาศาสตร์และเทคโนโลยี จุฬาลงกรณ์มหาวิทยาลัย
7. ศูนย์เทคโนโลยีโลหะและวัสดุแห่งชาติ
8. บริษัท คอกนิส (ประเทศไทย) จำกัด ที่ให้ความอนุเคราะห์สารเคมี
9. บริษัท สยามเคมีคอล อินดัสตรี จำกัด ที่ให้ความอนุเคราะห์สารเคมี
10. บริษัท อิเทอร์นอล เรชัน จำกัด ที่ให้ความอนุเคราะห์สารเคมี

ท้ายสุดนี้ขอกราบขอบคุณมาwarda คุณณัฐ และคุณยาวย รวมทั้งเพื่อนๆ พี่ๆ ภาควิชา วัสดุศาสตร์ทุกท่าน ที่ให้การสนับสนุนในด้านกำลังใจและด้านทุนทรัพย์ในการทำวิทยานิพนธ์ จนสำเร็จลุล่วงด้วยดี

สารบัญ

| | |
|---|----|
| หน้า | |
| บทคัดย่อภาษาไทย | ๑ |
| บทคัดย่อภาษาอังกฤษ | ๑ |
| กิตติกรรมประกาศ | ๒ |
| สารบัญ | ๓ |
| สารบัญตาราง | ๔ |
| สารบัญภาพ | ๕ |
| บทที่ | |
| 1. บทนำ | 1 |
| 2. เอกสารและงานวิจัยที่เกี่ยวข้อง | 4 |
| 2.1 เอทิลีนไวนิลแอซีเตตโคลพอลิเมอร์ | 4 |
| 2.1.1 สมบัติทั่วไปของเอทิลีนไวนิลแอซีเตต | 5 |
| 2.2 พอลิสไตรีน | 6 |
| 2.2.1 สมบัติทั่วไปของพอลิสไตรีน | 7 |
| 2.2.2 การใช้งานของพอลิสไตรีน | 7 |
| 2.2.3 การสังเคราะห์พอลิสไตรีน | 7 |
| 2.2.3.1 พอลิเมอไรเซชันแบบบัลก์ (Bulk polymerization) | 7 |
| 2.2.3.2 พอลิเมอไรเซชันแบบละลาย (Solution polymerization) | 8 |
| 2.2.3.3 พอลิเมอไรเซชันแบบแขวนลอย (Suspension polymerization) | 8 |
| 2.2.3.4 พอลิเมอไรเซชันแบบอิมัลชัน (Emulsion polymerization) | 9 |
| 2.3 การสังเคราะห์พอลิสไตรีนนาโนแลเกอร์ | 9 |
| 2.3.1 กระบวนการเกิดพอลิเมอร์แบบอิมัลชัน (Emulsion polymerization) | 9 |
| 2.3.2 กระบวนการเกิดพอลิเมอร์แบบไมโครอิมัลชัน (Microemulsion polymerization) | 15 |
| 2.3.3 กระบวนการเกิดพอลิเมอร์แบบดิฟเฟอร์เรนเชียลไมโครอิมัลชัน (Differential microemulsion polymerization) | 16 |

บทที่

| | |
|--|----|
| 2.4 สารตัวเติม (Filler) | 19 |
| 2.5 ซิลิกา (Silica) | 20 |
| 2.5.1 ซิลิกาธรรมชาติหรือซิลิกาชนิดบด (Ground silica) | 21 |
| 2.5.2 ซิลิกาชนิดสังเคราะห์ (Synthetic silica) | 21 |
| 3. วิธีดำเนินงานวิจัย | 24 |
| 3.1 สารเคมีที่ใช้ | 24 |
| 3.2 อุปกรณ์ที่ใช้ในการทดลอง | 25 |
| 3.3 เครื่องมือที่ใช้ในการทดสอบ | 25 |
| 3.4 วิธีการทดลอง | 26 |
| 3.4.1 การสังเคราะห์พอลิสไตรีนนานาโนเมตริกซ์ | 26 |
| 3.4.2 การแยกพอลิสไตรีนออกจากนานาโนเมตริกซ์ | 27 |
| 3.4.3 การวิเคราะห์นาโนเมตริกซ์ | 28 |
| 3.4.3.1 เปอร์เซ็นต์ผลได้ (% yield) ของพอลิสไตรีนนานาโนเมตริกซ์ | 28 |
| 3.4.3.2 ขนาดอนุภาคและการกระจายขนาดอนุภาค | 28 |
| 3.4.3.3 สัณฐานวิทยาของพอลิสไตรีนที่มีอนุภาคขนาดนาโนเมตริก | 29 |
| 3.4.4 การเตรียมวัสดุไอบริดของอีวีเอ/พอลิสไตรีนขนาดนาโน/นาโนซิลิกา | 30 |
| 3.4.5 การวิเคราะห์และทดสอบวัสดุไอบริดของอีวีเอ/พอลิสไตรีนขนาดนาโน/นาโนซิลิกา | 32 |
| 3.4.5.1 สมบัติด้านความทนแรงดึง (Tensile properties) | 32 |
| 3.4.5.2 สัณฐานวิทยา (Morphology) | 32 |
| 3.4.5.3 วิเคราะห์เสถียรภาพทางความร้อน (Thermal stability) | 33 |
| 3.4.5.4 วิเคราะห์สมบัติเชิงกลพลวัตร (Dynamic mechanical analysis) | 34 |
| 4. ผลการทดลองและวิจารณ์ผลการทดลอง | 35 |
| 4.1 ลักษณะของพอลิสไตรีนนานาโนเมตริกซ์ | 35 |
| 4.2 ร้อยละผลได้ (% yield) และขนาดอนุภาคในนาโนเมตริกซ์ | 35 |
| 4.3 สัณฐานวิทยาของพอลิสไตรีนนานาโนเมตริกซ์ | 36 |
| 4.4 สมบัติเชิงกลของวัสดุไอบริดของอีวีเอ/พอลิสไตรีนขนาดนาโน/นาโนซิลิกา | 37 |

หน้า

บทที่

| | |
|--|----|
| 4.4.1 ค่าความทันแรงดึง | 37 |
| 4.4.2 ร้อยละของการยึดตัว | 38 |
| 4.4.3 ค่ายังส์มองดูลัส | 39 |
| 4.5 ศัณฐานวิทยา (Morphology) | 40 |
| 4.6 เสถียรภาพทางความร้อนของวัสดุไฮบริด | 42 |
| 4.7 สมบัติเชิงกลลักษณะของวัสดุไฮบริด | 43 |
| 5. สรุปผลการทดลองและข้อเสนอแนะ | 53 |
| 5.1 สรุปผลการทดลอง | 53 |
| 5.2 ข้อเสนอแนะ | 54 |
| รายการอ้างอิง | 55 |
| ภาคผนวก | 58 |
| ภาคผนวก ก | 59 |
| ภาคผนวก ข | 61 |
| ภาคผนวก ค | 64 |
| ภาคผนวก ง | 70 |
| ประวัติผู้เขียนวิทยานิพนธ์ | 88 |

สารบัญตาราง

หน้า

| | |
|---|----|
| ตารางที่ 3.1 สมบัติของเอนทิเล่นไวนิลแอซีเทตโคพอลิเมอร์มัลตัน..... | 25 |
| ตารางที่ 3.2 ปริมาณสารที่ใช้เตรียมวัสดุไฮบริดของอีวีเอ/พอลิสโตรีนขนาดนาโน/นาโนชิลิกา 30 | |
| ตารางที่ 4.1 อุณหภูมิการสลายตัวของอีวีเอบริสทธิ์ พอลิเมอร์ผสม และวัสดุไฮบริด | 42 |
| ตารางที่ 4.2 อุณหภูมิกราสทرانซิชันของอีวีเอบริสทธิ์ พอลิเมอร์ผสม และวัสดุไฮบริด | 43 |

สารบัญภาพ

หน้า

| | | |
|-------------|---|----|
| ขุปที่ 2.1 | โครงสร้างของเอทิลีนไวนิลอะซีเทตโคลพอลิเมอร์ | 4 |
| ขุปที่ 2.2 | โครงสร้างของพอลิสไตรีน | 6 |
| ขุปที่ 2.3 | สมบัติทางกายภาพของสารละลายเอคิวีสที่เปลี่ยนไปตามปริมาณสารลดแรงตึงผิว | 10 |
| ขุปที่ 2.4 | การเกิดไม้เซลล์ในกระบวนการเกิดพอลิเมอร์แบบอิมัลชัน | 11 |
| ขุปที่ 2.5 | องค์ประกอบของระบบอิมัลชัน | 12 |
| ขุปที่ 2.6 | แผนภาพเพชรของไอโซไทริปิกไมโครอิมัลชัน | 14 |
| ขุปที่ 2.7 | กลไกการเกิดพอลิเมอร์แบบไมโครอิมัลชัน | 15 |
| ขุปที่ 2.8 | กลไกการเกิดอนุภาคพอลิเมอร์ด้วยกระบวนการเกิดแบบดิฟเฟอเรนเชียลไมโครอิมัลชัน | 17 |
| ขุปที่ 2.9 | ความสัมพันธ์ระหว่างปริมาณสารลดแรงตึงผิวกับขนาดอนุภาค PMMA | 18 |
| ขุปที่ 3.1 | ขั้นตอนการเตรียมสไตรีนนาโนเล็กซ์ | 26 |
| ขุปที่ 3.2 | การติดตั้งอุปกรณ์ที่ใช้สังเคราะห์สไตรีนนาโนเล็กซ์ | 27 |
| ขุปที่ 3.3 | การแยกพอลิสไตรีนออกจากนาโนเล็กซ์ | 27 |
| ขุปที่ 3.4 | เครื่อง Dynamic Light Scattering (DLS) Analyzer รุ่น Nano-series ZX | 29 |
| ขุปที่ 3.5 | เครื่อง Transmission Electron Microscope (TEM) รุ่น JEOL JEM-1230 | 29 |
| ขุปที่ 3.6 | ขั้นตอนการเตรียมวัสดุไบบริดของอีวีเอ/พอลิสไตรีนขนาดนาโน/นาโนชิลิกา | 30 |
| ขุปที่ 3.7 | แม่พิมพ์กระจุขนาด $20 \times 20 \times 0.15$ เซนติเมตร | 31 |
| ขุปที่ 3.8 | เครื่อง Universal Testing Machine รุ่น LLOYD LR 100K | 32 |
| ขุปที่ 3.9 | เครื่อง Scanning Electron Microscope รุ่น JEOL JSM-5410LV | 33 |
| ขุปที่ 3.10 | เครื่อง Thermogravimetric Analyzer รุ่น METTLER TOLEDO TGA/SDTA 851 | 33 |
| ขุปที่ 3.11 | เครื่อง Dynamic Mechanical Analysis รุ่น METTLER TOLEDO DMA/SDTA 861 | 34 |

| | |
|--|----|
| รูปที่ 4.1 นาโนแล็ตเกอร์ของพอลิสไตรีน | 35 |
| รูปที่ 4.2 สัณฐานวิทยาของพอลิสไตรีนนาโนแล็ตเกอร์ที่กำลังขยาย 3000 เท่า | 36 |
| รูปที่ 4.3 ความทนแรงดึงของอีวีเอบิริสท์ พอลิเมอร์ผสม (อีวีเอ/พอลิสไตรีนขนาดนาโน) และวัสดุไบบริด (อีวีเอ/พอลิสไตรีนขนาดนาโน/นาโนชิลิกา) | 37 |
| รูปที่ 4.4 เปอร์เซ็นต์การยึดตัว ณ จุดขาด ของอีวีเอบิริสท์ พอลิเมอร์ผสม (อีวีเอ/พอลิสไตรีน ขนาดนาโน) และวัสดุไบบริด (อีวีเอ/พอลิสไตรีนขนาดนาโน/นาโนชิลิกา) | 38 |
| รูปที่ 4.5 ยั่งสมมอดุลัสของอีวีเอบิริสท์ พอลิเมอร์ผสม (อีวีเอ/พอลิสไตรีนขนาดนาโน) และวัสดุไบบริด (อีวีเอ/พอลิสไตรีนขนาดนาโน/นาโนชิลิกา) | 39 |
| รูปที่ 4.6 สัณฐานวิทยาของอีวีเอบิริสท์ พอลิเมอร์ผสม (อีวีเอ/พอลิสไตรีนขนาดนาโน) และวัสดุไบบริด (อีวีเอ/พอลิสไตรีนขนาดนาโน/นาโนชิลิกา) | 41 |
| รูปที่ 4.7 Loss tangent ของอีวีเอและพอลิเมอร์ผสมอีวีเอ/พอลิสไตรีนเป็นฟังก์ชันกับ ^{อุณหภูมิ} | 44 |
| รูปที่ 4.8 มอดุลัสสัศสมของอีวีเอและพอลิเมอร์ผสมอีวีเอ/พอลิสไตรีนเป็นฟังก์ชันกับ ^{อุณหภูมิ} | 45 |
| รูปที่ 4.9 Loss tangent ของอีวีเอและอีวีเอที่ใส่นาโนชิลิกา | 46 |
| รูปที่ 4.10 มอดุลัสสัศสมของของอีวีเอและอีวีเอที่ใส่นาโนชิลิกา | 46 |
| รูปที่ 4.11 Loss tangent ของพอลิเมอร์ผสมอีวีเอ/พอลิสไตรีน (90/10) และวัสดุไบบริดของอีวีเอ/พอลิสไตรีน/นาโนชิลิกา (90/10/x) | 47 |
| รูปที่ 4.12 มอดุลัสสัศสมของพอลิเมอร์ผสมอีวีเอ/พอลิสไตรีน (90/10) และวัสดุไบบริดของอีวีเอ/พอลิสไตรีน/นาโนชิลิกา (90/10/x) | 47 |
| รูปที่ 4.13 Loss tangent ของพอลิเมอร์ผสมอีวีเอ/พอลิสไตรีน (80/20) และวัสดุไบบริดของอีวีเอ/พอลิสไตรีน/นาโนชิลิกา (80/20/x) | 48 |
| รูปที่ 4.14 มอดุลัสสัศสมของพอลิเมอร์ผสมอีวีเอ/พอลิสไตรีน (80/20) และวัสดุไบบริดของอีวีเอ/พอลิสไตรีน/นาโนชิลิกา (80/20/x) | 49 |
| รูปที่ 4.15 Loss tangent ของพอลิเมอร์ผสมอีวีเอ/พอลิสไตรีน (70/30) และวัสดุไบบริดของอีวีเอ/พอลิสไตรีน/นาโนชิลิกา (70/30/x) | 50 |
| รูปที่ 4.16 มอดุลัสสัศสม ของพอลิเมอร์ผสมอีวีเอ/พอลิสไตรีน (70/30) และวัสดุไบบริดของอีวีเอ/พอลิสไตรีน/นาโนชิลิกา (70/30/x) | 50 |

หน้า

| | |
|---|----|
| รูปที่ 4.17 Loss tangent ของพอลิเมอร์ผสมอีวีเอ/พอลิสไตรีน (60/40) แล้วสัดไฮบริดของอีวีเอ/พอลิสไตรีน/นาโนเซลลิค้า (60/40/x) | 51 |
| รูปที่ 4.18 มอดูลัสสะสม ของพอลิเมอร์ผสมอีวีเอ/พอลิสไตรีน (60/40) แล้วสัดไฮบริดของอีวีเอ/พอลิสไตรีน/นาโนเซลลิค้า (60/40/x) | 52 |

บทที่ 1

บทนำ

การเตรียมพอลิเมอร์ผสมเป็นเทคนิคที่มีความสำคัญในการปรับปรุงสมบัติของวัสดุ เพราะเป็นวิธีที่ทำได้ง่าย สะดวก และลงทุนไม่มากเมื่อเปรียบเทียบกับการสังเคราะห์พอลิเมอร์ชนิดใหม่เพื่อให้มีสมบัติตามต้องการ อีกทั้งการทำพอลิเมอร์ผสมยังเป็นการปรับปรุงสมบัติบางประการของพอลิเมอร์ที่มีอยู่แล้วให้ดียิ่งขึ้น โดยอาศัยสมบัติเด่นของพอลิเมอร์แต่ละชนิดที่นำมาผสมกัน ทั้งนี้จะขึ้นกับองค์ประกอบและวิธีการผสม ซึ่งการนำเอทิลีนไวนิลแอซีเตตโคพอลิเมอร์ (อีวีเอ) ผสมกับพอลิสไตรีนจะเป็นการรวมสมบัติเด่นของพอลิเมอร์ทั้งสองชนิดเข้าด้วยกัน โดยอีวีเอเป็นพอลิเมอร์ที่เหนียว มีความยืดหยุ่นสูง มีความต้านทานการหักงอได้ดี และมีการใช้งานได้หลากหลาย เช่น หนังเยี่ยม พื้นรองเท้า ชุดน้ำหุ้มสายเคเบิล ท่อ และภาชนะ เป็นต้น ทั้งนี้ขึ้นกับปริมาณไวนิลแอซีเตตในโคพอลิเมอร์ ซึ่งได้ถูกผลิตออกจำหน่ายอยู่ในช่วง 2-40% นอกจากนี้ ยังเป็นเทอร์โมพลาสติกปราศจากยาโลเจนที่สามารถใช้เป็นชุดน้ำหุ้มสายเคเบิลแทนการใช้พอลิไวนิลคลอไรด์ได้อีกด้วยอย่างไรก็ตาม อีวีเอยังมีข้อเสียเนื่องจากมีความคงรูปต่ำ และเปลี่ยนแปลงรูปร่างง่าย ดังนั้น การปรับปรุงสมบัติของอีวีเออาจทำด้วยการผสมกับพอลิสไตรีนซึ่งเป็นพอลิเมอร์ที่มีความแข็งตึงและขึ้นรูปได้ง่าย ใน การผสมพอลิเมอร์ส่วนใหญ่จะมีความเข้ากันทางเทอร์โมไดนามิก เนื่องจากไม่มีอัตราการทั้งทางกายภาพและทางเคมีระหว่างวัสดุภาคที่แตกต่างกัน จึงอาจมีผลทำให้พอลิเมอร์ผสมที่ได้มีสมบัติเชิงกลต่างๆ เช่นเดียวกับการผสมอีวีเอกับพอลิสไตรีนอย่างไรก็ตาม การผสมอีวีเอกับพอลิสไตรีนที่มีขนาดอนุภาคระดับนาโนเมตรในสภาพอิมัลชันหรือเล็กซ์แทนการผสมแบบหลอมเหลวอาจช่วยเพิ่มความเข้ากันได้ของพอลิเมอร์ทั้งสอง นอกจากนี้ ยังสามารถใช้พอลิสไตรีนในปริมาณน้อยกว่าพอลิเมอร์ผสมทั่วไป ปัจจุบันการสังเคราะห์พอลิสไตรีนที่มีอนุภาคขนาดนาโนเมตรด้วยกระบวนการเกิดพอลิเมอร์แบบดิฟเฟอเรนเชียลไมโครอิมัลชัน (differential microemulsion polymerization) กำลังได้รับความสนใจมากกว่ากระบวนการเกิดพอลิเมอร์แบบอิมัลชัน (emulsion polymerization) และไมโครอิมัลชัน (microemulsion polymerization) เพราะนอกจากจะได้พอลิสไตรีนที่มีอนุภาคขนาดต่ำกว่า 50 นาโนเมตร ยังเป็นกระบวนการที่ใช้สารลดแรงตึงผิวปริมาณน้อยมาก และได้เปอร์เซ็นต์ของแข็งสูงกว่ากระบวนการเกิดพอลิเมอร์ที่ใช้กันทั่วไป ทั้งนี้ เพราะสารลดแรงตึงผิวมีราคาแพงและต้องสิ้นเปลืองค่าใช้จ่ายใน

การกำจัดสารลดแรงตึงผิวของจากระบบภายในหลังservoสีน้ำเงินปูวิกิวิรยา จึงมีผลทำให้กระบวนการเหล่านี้ไม่สามารถพัฒนาสู่อุตสาหกรรม

การใช้สารเติมแต่งโดยเฉพาะสารเสริมแรงเพื่อปรับปรุงสมบัติทางกายภาพและสมบัติเชิงกลของผลิตภัณฑ์ให้เหมาะสมกับการใช้งานมีความสำคัญในทางอุตสาหกรรม ซึ่งปัจจุบันพบว่า การเติมสารเสริมแรงอนินทรีย์ที่มีอนุภาคขนาดนาโนเมตรในปริมาณเล็กน้อยในพอลิเมอร์เมทริกซ์จะทำให้วัสดุไฮบริด (hybrid materials) ที่ได้มีการใช้งานได้กว้างมากขึ้น โดยพอลิเมอร์ซึ่งเป็นสารอินทรีย์แสดงสมบัติที่มีความยืดหยุ่น เหนียว ขึ้นรูปด้วยแม่แบบได้ หากแต่มีความต้านทานความร้อนต่ำกว่าสารอนินทรีย์ นอกจานี้ สารอนินทรีย์ยังเป็นวัสดุที่มีมอคูลัส เสถียรภาพทางความร้อน ความต้านทานการกัดกร่อน ความต้านทานสภาพดินฟ้าอากาศ ความต้านทานสารเคมี และสมบัติเชิงกลสูง รวมทั้งมีสัมประสิทธิ์การขยายตัวเนื่องจากความร้อนต่ำ หากแต่มีความเปละและความสามารถในการขึ้นรูปในแม่แบบต่ำ ดังนั้น วัสดุไฮบริดจึงเป็นอีกแนวทางหนึ่งในการรวมข้อดีของวัสดุทั้งสองเข้าด้วยกันเพื่อเพิ่มระดับความสามารถในการใช้งานให้สูงขึ้น นอกจากนี้ การใช้สารอนินทรีย์ที่มีอนุภาคขนาดนาโนเมตรยังมีข้อดี กล่าวคือ สามารถใช้ในปริมาณที่น้อยมาก จึงมีผลทำให้ห้องความหนาแน่นและน้ำหนักของพอลิเมอร์เมทริกซ์เปลี่ยนไปอย่างไม่มีนัยสำคัญ โดยสารอนินทรีย์ที่มีอนุภาคขนาดนาโนเมตร ได้แก่ ชิลิกา ไททาเนียมไดออกไซด์ และอะลูมิเนียมออกไซด์ เป็นต้น ซึ่งนาโนชิลิกาได้รับความนิยมในการนำไปใช้เตรียมวัสดุไฮบริดมากที่สุด เนื่องจากมีราคาถูกและผลิตภัณฑ์ที่ได้สามารถนำไปใช้งานได้อย่างกว้างขวาง ตั้งแต่สารเคลือบผิว สารนำส่งยา (drug delivery) และวัสดุเชิงประ劫อบ เป็นต้น และจากการวิจัยที่ผ่านมาพบว่า การใช้นาโนชิลิกาใส่เข้าไปในพอลิเมอร์เมทริกซ์ต่างๆ จะช่วยให้ผลิตภัณฑ์มีสมรรถนะในการใช้งานสูงขึ้น

งานวิจัยนี้จะเตรียมพอลิเมอร์ผสมระหว่างอีวีเอ/พอลิสไตรีนที่มีอนุภาคขนาดนาโนเมตรที่อัตราส่วนต่างๆ ด้วยการผสมภายใต้ภาวะที่เป็นเล็กน้อย โดยใช้อีวีเอมัลชันผสมกับนาโนแล็กน์ของพอลิสไตรีนที่สังเคราะห์ด้วยกระบวนการเกิดพอลิเมอร์แบบดิฟเฟอเรนเชียลไมโครมัลชันที่ใช้โซเดียมไดเดซิลซัลไฟต์ (sodium dodecyl sulfate, SDS) เป็นสารลดแรงตึงผิว และโซเซบิสโซโซบิทิโอนไตรีล (azobisisobutyronitrile, AIBN) เป็นสารเริ่มปฏิกิริยา โดยในระบบของการสังเคราะห์ประกอบด้วยตัวกลาง (น้ำ) สารลดแรงตึงผิว (SDS) และสารเริ่มปฏิกิริยา (AIBN) ผสม

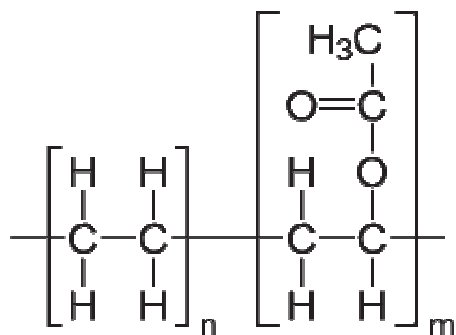
อยู่ในเครื่องปฏิกรณ์ ซึ่งเมื่อให้ความร้อนแก่ระบบจนถึงอุณหภูมิที่สามารถเกิดพอลิเมอร์ได้แล้ว จึงเริ่มขยายตัวรีบอนคอมอร์ลงไปทีละหยดด้วยระยะเวลาอันสั้น ซึ่งการกระทำเช่นนี้จะสามารถ จำกัดการเติบโตของอนุภาคพอลิเมอร์ได้มากกว่ากระบวนการการเกิดพอลิเมอร์แบบไมโครอิมัลชัน หลังจากนั้น เลเท็กซ์ของพอลิเมอร์สมที่เตรียมได้จะถูกนำไปผสมกับนาโนชิลิกาที่มีอนุภาคขนาด 10-20 นาโนเมตร (พื้นที่ผิว 140-180 เมตร²/กรัม) และขึ้นรูปด้วยการหล่อ (casting) บนแผ่น กระเจก โดยแผ่นรัศดุนายนีเป็นริบบิคที่เตรียมได้จะถูกนำไปบีบเคราะห์สมบัติเชิงกล (ความทนแรงดึง ยังสมดุลล์ และการยึดตัว ณ จุดขาด) สมบัติเชิงกลพลวัต (dynamic mechanical properties) สมบัติทางความร้อน และสัณฐานวิทยา

บทที่ 2

วารสารปริทัศน์

2.1 เอทิลีนไวนิลแอซีเทตโคพอลิเมอร์ (Ethylene vinyl acetate copolymer, EVA) [1-4]

เอทิลีนไวนิลแอซีเทตโคพอลิเมอร์ (ethylene vinyl acetate copolymer) หรืออีวีเอ (EVA) เป็นโคพอลิเมอร์ของเอทิลีนกับไวนิลแอซีเทตที่เตรียมได้จากการกระบวนการโคพอลิเมอร์ไวเซชันแบบบัลก์ต่อเนื่อง (continuous bulk) หรือแบบสารละลาย (solution) โดยมีโครงสร้างดังรูปที่ 2.1



รูปที่ 2.1 โครงสร้างของเอทิลีนไวนิลแอซีเทตโคพอลิเมอร์

อีวีเอจะมีปริมาณไวนิลแอซีเทตประมาณ 5-50 เปอร์เซ็นต์โดยน้ำหนัก โดยไวนิลแอซีเทตจะเรียงตัวอย่างไม่สม่ำเสมอในสายโซ่ไม่เลกุลของพอลิเมอร์ ซึ่งปริมาณไวนิลแอซีเทตจะเป็นตัวกำหนดสมบัติของผลิตภัณฑ์ กล่าวคือ ถ้ามีปริมาณไวนิลแอซีเทตเพียงเล็กน้อย สมบัติของอีวีเอจะคล้ายกับพอลิเอทิลีนชนิดความหนาแน่นต่ำ แต่มีความยืดหยุ่นมากกว่า และถ้ามีไวนิลแอซีเทต 10-18 เปอร์เซ็นต์โดยน้ำหนัก จะมีสมบัติอยู่ในกลุ่มของพลาสติก แต่ถ้ามีไวนิลแอซีเทตประมาณ 30 เปอร์เซ็นต์โดยน้ำหนัก จะมีลักษณะของเทอร์โมพลาสติกอิลิยาสโตเมอร์ (thermoplastic elastomers) และถ้ามีปริมาณไวนิลแอซีเทตถึง 40 เปอร์เซ็นต์โดยน้ำหนักจะมีลักษณะจัดอยู่ในกลุ่มของยาง

ยางอีวีเอจะมีปริมาณไวนิลแอซีเทตประมาณ 40-70 เปอร์เซ็นต์โดยน้ำหนัก แต่เนื่องจากสายโซ่ไม่เลกุลของยางอีวีเอมีความอิมตัวสมบูรณ์ จึงมีความทนต่อการเสื่อมสภาพเนื่องจากความร้อนสูง สามารถใช้งานอย่างต่อเนื่องได้ที่อุณหภูมิสูงถึง 125 องศาเซลเซียส) ส่วนหมุนแอซีเทตซึ่งเป็นหมุนที่มีข้อจำกัดให้ยางมีความทนทานต่อน้ำมันและ

ตัวทำละลายที่ไม่มีข้าวได้ดี แต่จะมีสมบัติการหักงอที่อุณหภูมิต่ำไม่ดี และเนื่องจากเป็นยางที่มีข้าวจึงมีสมบัติความเป็นอนวนไฟฟ้าไม่ดี ส่วนใหญ่จะใช้ผลิตปลอกหุ้มสายเคเบิลเชพะกรนิที่ต้องการสมบัติพิเศษด้านความทนทานต่อการเสื่อมสภาพเนื่องจากโคลโซน สภาพอากาศ ความร้อน และน้ำมันเท่านั้น และเนื่องจากสายโซ่หลักของอีวีເອเป็นพันธะเดียวทั้งหมด จึงไม่สามารถทำให้คงรูปได้ด้วยกำมะถัน แต่สามารถคงรูปด้วยสารเพอร์ออกไซด์ นอกจากนี้ การเลือกใช้สารตัวเติมสารทำให้ยางนิ่ม และสารช่วยในกระบวนการผลิต ควรทำด้วยความระมัดระวัง เนื่องจากสารตัวเติมที่มีฤทธิ์เป็นกรด หรือสารประกอบที่มีพันธะคู่อยู่ในโมเลกุลสามารถควบคุมการคงรูปด้วยเพอร์ออกไซด์ การที่ยางอีวีເອมีความทนทานต่อสภาพอากาศสูงจึงไม่จำเป็นต้องเติมสารป้องกันการเสื่อมสภาพลงไป แต่กรณีที่ต้องการนำยางคงรูปไปใช้ที่อุณหภูมิสูงมากๆ อาจเติมสารป้องกันการเสื่อมสภาพลงไปได้ ส่วนสารทำให้ยางนิ่มนิยมใช้ ได้แก่ น้ำมันพาราфинิกที่ระเหยได้ต่ำ หรือน้ำมันในกลุ่มเอสเทอර์ นอกจากการคงรูปด้วยระบบเพอร์ออกไซด์แล้ว ยังสามารถทำให้คงรูปได้ด้วยการฉายรังสีที่มีพลังงานสูง

นอกจากนี้ สมบัติของยางขึ้นกับน้ำหนักโมเลกุลอีกด้วย โดยอีวีເອที่มีน้ำหนักโมเลกุลต่ำจะมีความหนืดต่ำ จึงง่ายต่อการผลิตหรือขึ้นรูป ส่วนอีวีເອที่มีน้ำหนักโมเลกุลสูงจะเหมาะสมกับงานยึดติดที่ต้องการความแข็งแรงที่อุณหภูมิสูง และยึดหยุ่นได้ดีที่อุณหภูมิต่ำ การขึ้นรูปอีวีເອทำได้โดยวิธี เช่น การอัดแบบ (compression molding) การฉีดแบบ (injection molding) และการอัดรีด (extrusion) ให้เป็นแผ่นแล้วใช้บล็อกมีดตัดให้มีรูปร่างตามต้องการ

อีวีເອเป็นผลงานการวิจัยของบริษัทดูปองต์ (DuPont) ประเทศสหรัฐอเมริกา ซึ่งได้รับการจดสิทธิบัตรตั้งแต่ปี ค.ศ. 1956 และถูกผลิตออกสู่ตลาดได้เป็นผลสำเร็จในปี ค.ศ. 1960 ภายใต้ชื่อทางการค้าว่า ‘เอลแวร์กซ์’(Elvax) ปัจจุบันถูกนำมาประยุกต์ใช้ในอุตสาหกรรมต่างๆ เช่น อุตสาหกรรมบรรจุภัณฑ์ กาว และพื้นรองเท้า เป็นต้น

2.1.1 สมบัติทั่วไปของเอลิสไวนิลแอซีเตต

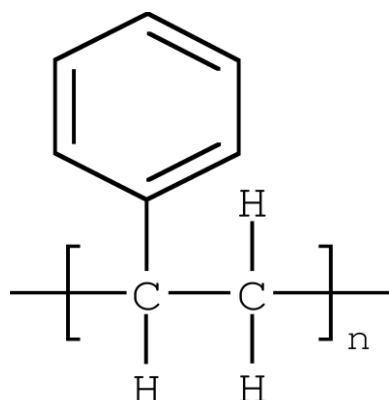
ปัจจุบันมีการนำอีวีເອมาใช้งานหลากหลายมากขึ้น เนื่องจากมีสมบัติที่ดี ดังนี้

- ขึ้นงานของอีวีເອมีลักษณะใส หรือสีขาวง่ายต่อการให้สี
- มีความยึดหยุ่นและทนต่อการโค้งงอได้ดี

- สามารถลดลายได้มากขึ้นเมื่อมีปริมาณไวนิลแอซีเทตเพิ่มขึ้น
- สามารถต้านการซึมผ่านของน้ำและเกลือได้ดี ซึ่งความสามารถในการซึมผ่านจะน้อยลงถ้ามีปริมาณไวนิลแอซีเทตเพิ่มขึ้น
- มีความต้านทานสภาวะแวดล้อมได้ดี
- มีความทนแรงกระแทก (impact strength) สูง
- มีราคาถูก
- สามารถต้านทานการเกิดรอยแตกได้ดี
- สามารถต้านทานแสง UV และโอโซนได้ดี
- ไม่มีกลิ่น ใช้ทำบรรจุภัณฑ์ เพราะสามารถปิดผนึกได้ดีที่อุณหภูมิต่ำ และสามารถสัมผัสอาหารได้ตามกฎหมาย FDA
- สามารถทำการเชื่อมโดยยั่งยืน (crosslinking) ได้ ทำให้มีสมบัติเชิงกลที่ดี
- อีวีเอมีความเป็นขั้วสูงจากหมู่แอซีเทต ทำให้ทนน้ำมัน (oil resistance) และสามารถยึดเกาะกับวัสดุอื่น และมีความแข็งแรงยึดเกาะที่ดี

2.2 พอลิสไตรีน (Polystyrene, PS) [5-6]

พอลิสไตรีนเป็นพลาสติกที่ผลิตมาจากสไตรีนมอนโอมอร์ด้วยวิธีแบบรวมตัว (addition polymerization) และถูกผลิตออกจำหน่ายครั้งแรกในช่วงปี ค.ศ. 1930 - 1939 โดยช่วงแรกถูกนำไปใช้ในสิ่งของโลกครั้งที่ 2 โดยมีโครงสร้างดังรูปที่ 2.2



รูปที่ 2.2 โครงสร้างของพอลิสไตรีน

2.2.1 สมบัติทั่วไปของพอลิสไตรีน

- มีความแข็งแต่เปราะ แตกร้างง่าย น้ำหนักเบา ราคาถูก
- ไม่มีสี ไม่มีกลิ่น มีความใส ผิวเรียบ ใสสีเติมแต่งได้ง่าย และคงความโป่งงaise เช่นเดิม
- ทนทานต่อสารเคมีทั่วไป แต่ไม่ทนต่อสารไฮโดรคาร์บอนและตัวทำละลายอินทรีย์
- เป็นจลนวนไฟฟ้า
- ไม่ดูดความชื้น เกิดไฟฟ้าสถิตได้ง่าย ทำให้ดูดฝุ่นละอองได้ดี
- การหดตัวสูงเมื่อยืนตัว ทำให้ถอดจากแม่พิมพ์ได้ง่าย แต่อาจเสียดูบและขนาดไปบ้าง
- ไม่ทนต่อสภาพลิ่งแวดล้อมภายนอก ผิวเสื่อมสภาพเร็ว ไม่ทนต่อการถูกขีดข่วน

2.2.2 การใช้งานของพอลิสไตรีน

พอลิสไตรีนเรซิโนลักษณะเป็นเม็ด เป็นผง และเป็นของเหลว หมายความว่า กระบวนการขึ้นรูปผลิตภัณฑ์ด้วยวิธีต่างๆ ผลิตภัณฑ์ทั่วไป ได้แก่ ถ้วยจาน แก้วน้ำ ข้อนส้อม ที่ใช้แล้วทิ้ง กล่องบรรจุอาหาร และผลไม้ ไม้บรรทัด อุปกรณ์อิเล็กทรอนิกส์ ของเล่น ตัวมูลค่าของเด็ก ขาดหรือกระบุกได้ยา เฟอร์นิเจอร์บางอย่าง ชิ้นส่วนในตู้เย็น โฟมกันแทรกสำหรับบรรจุภัณฑ์ และชนวนความร้อน

2.2.3 การสังเคราะห์พอลิสไตรีน [7]

พอลิสไตรีนสามารถสังเคราะห์ได้ทั้งแบบบัลก์ แบบสารละลาย แบบเขวนโดย แบบแบบอิมลชัน

2.2.3.1 พอลิเมอไรเซชันแบบบัลก์ (Bulk polymerization)

เป็นกระบวนการพอลิเมอไรเซชันที่ประคบด้วยสไตรีนมอนомер สารเริ่มต้นปฏิกิริยาประเภทเปอร์ออกไซด์ และอาจเติมตัวทำละลายลงไปเล็กน้อย ในระหว่างการเตรียมอาจเกิดจุดร้อน (hot spot) ในเครื่องปฏิกิริย์ เป็นผลทำให้พอลิเมอร์ที่ได้มีน้ำหนักไม่เท่ากันไม่สม่ำเสมอ ซึ่งอาจแก้ปัญหาได้โดยแบ่งชั้นตอนการสังเคราะห์เป็น 2 ชั้นตอน คือ ชั้นแรก เรียกว่า พรีพอลิเมอไรเซชัน (prepolymerization) ซึ่งมีแต่สไตรีนมอนomerเท่านั้นที่เกิดปฏิกิริยาด้วยความร้อนที่อุณหภูมิ 80 องศาเซลเซียส เป็นเวลา 2 วัน โดยปฏิกิริยาจะดำเนินไป 33-35% และในเครื่องปฏิกิริย์จะ

ประกอบด้วยสายโซ่พอลิเมอร์สั้นๆ และมอนโอมอร์ที่ไม่เกิดปฏิกิริยา ในขั้นที่สอง ของผู้สมที่ได้จากขั้นแรกจะถูกถ่ายไปยังหอปฏิกิริยาซึ่งสูงประมาณ 25 ฟุต ในหอปฏิกิริยาดังกล่าวของเหลวจะไหลจากด้านบนลงด้านล่าง ซึ่งแต่ละตอนของหอจะบันสูล่างนั้นมีช่วงอุณหภูมิตั้งแต่ 110-180 องศาเซลเซียส ส่วนตรงกลางห้อมีอุณหภูมิประมาณ 150 องศาเซลเซียส และส่วนด้านล่างสุดของห้อมีอุณหภูมิ 180 องศาเซลเซียส เพื่อให้ปฏิกิริยาเกิดอย่างสมบูรณ์ และอีกเหตุผลหนึ่ง คือ เพื่อไม่蒙นเอมอร์ที่เหลือติดมากับพอลิเมอร์ออก ส่วนพอลิเมอร์ที่สังเคราะห์ได้จะเข้าสู่เครื่องขัดรีดเพื่อทำเป็นเม็ดพอลิสไตรีนต่อไป

2.2.3.2 พอลิเมอไรเซชันแบบละลาย (Solution polymerization)

เป็นกระบวนการพอลิเมอไรเซชันที่เก็บปัญหาการเตรียมพอลิสไตรีนแบบบล็อกที่มีปัญหารือการถ่ายเทความร้อนขณะที่ปฏิกิริยาดำเนินไป และความหนืดที่สูงขึ้นตามน้ำหนักโมเลกุลของพอลิเมอร์ที่เพิ่มขึ้น จึงทำให้ควบคุมการผลิตได้ยาก อีกทั้งน้ำหนักโมเลกุลของพอลิสไตรีนที่ได้ไม่สม่ำเสมอ ซึ่งการเตรียมพอลิสไตรีนแบบสารละลายประกอบด้วยสไตรีน蒙นเอมอร์ สารเริ่มต้นปฏิกิริยา ตัวทำละลาย และสารถ่ายโอนสายโซ่ (chain transfer agent) ตัวทำละลายส่วนใหญ่เป็นตัวทำละลายอินทรีย์ที่มีจุดเดือดปานกลาง เช่น ไกลอิน และไซโคลเอกเซน เป็นต้น

การเตรียมพอลิสไตรีนแบบสารละลายจะได้พอลิสไตรีนที่มีน้ำหนักโมเลกุลสม่ำเสมอ แต่ค่าใช้จ่ายในการผลิตสูง เนื่องจากราคาของตัวทำละลายและค่าใช้จ่ายในการนำตัวทำละลายกลับมาใช้ใหม่ค่อนข้างสูง ดังนั้น กระบวนการนี้จึงไม่นิยมใช้ในเชิงพาณิชย์ แต่จะใช้ในห้องปฏิบัติการมากกว่า

2.2.3.3 พอลิเมอไรเซชันแบบแขวนลอย (Suspension polymerization)

การสังเคราะห์พอลิสไตรีนด้วยกระบวนการแบบสารละลาย มีข้อจำกัดเรื่องค่าใช้จ่ายของตัวทำละลาย ซึ่งตัวทำละลายอินทรีย์บางชนิดมีค่าการถ่ายเทความร้อนต่ำ เพราะมีค่าความจุความร้อนต่ำ 때문에มีค่าความจุความร้อนสูง และที่สำคัญ คือไม่เป็นพิษกับสิ่งแวดล้อม ดังนั้น จึงหมายความว่าเป็นตัวทำละลายในการเตรียมพอลิสไตรีน แต่น้ำ เป็นตัวทำละลายที่มีข้อสูง ไม่สามารถละลายสไตรีน蒙นเอมอร์และพอลิสไตรีนได้ ดังนั้น จึงมีการผสมผสานระหว่างการพอลิเมอไรซ์แบบบล็อกและแบบสารละลายเข้าด้วยกัน ซึ่งเรียกว่า

‘กระบวนการแบบแขวนลอย’ โดยสตีรีนมองเเมอร์และสารเป็คอร์ออกไซด์จะกระจายเป็นเม็ดเล็กๆ แขวนลอยอยู่ในน้ำ ด้วยการใช้ไบพัคตี และสารช่วยการกระจายหรือสารเพิ่มเสถียรภาพ โดยสารทั้งสองจะหุ้มเม็ดสตีรีนเพื่อป้องกันการรวมตัว ซึ่งภายในเม็ดสตีรีนมองเเมอร์ที่แขวนลอยจะเเม่ื่อนเครื่องปฏิกรณ์ขนาดเล็ก และจะมีการถ่ายโอนความร้อนดีกว่ากระบวนการแบบสารละลายซึ่งลักษณะและขนาดของเม็ดพอลิสตีรีนที่เตรียมได้จะถูกควบคุมด้วยความเร็วของการรวม และขั้ตตราส่วนโดยปริมาตรของสตีรีนมองเเมอร์และน้ำที่เติมเข้าไปในเครื่องปฏิกรณ์

ข้อเสียของการเตรียมพอลิสตีรีนด้วยกระบวนการแบบแขวนลอย คือ ปริมาณเม็ดพอลิสตีรีนที่เตรียมได้ต่อครั้งค่อนข้างน้อย เนื่องจากปริมาตรส่วนใหญ่ในเครื่องปฏิกรณ์เป็นน้ำ (70%) และเม็ดพอลิสตีรีนที่ได้มีความชื้นสูง จึงต้องนำไปอบก่อนใช้งาน บางครั้งการอบด้วยความร้อนสูงอาจทำให้เม็ดพอลิสตีรีนเปลี่ยนสีได้ ซึ่งปกตินิยมใช้เตรียมฟิมพอลิสตีรีน เพราะสามารถเติมสารฟู (blowing agent) เข้าไปในระหว่างการผลิตได้

2.2.3.4 พอลิเมอไรเซชันแบบอิมัลชัน (Emulsion polymerization)

การเตรียมพอลิสตีรีนด้วยกระบวนการแบบอิมัลชันมีวิธีและหลักการคล้ายกระบวนการแบบแขวนลอย ต่างกันตรงที่สารเริ่มต้นปฏิกิริยาจะละลายอยู่ในน้ำซึ่งเป็นตัวกลางสำหรับการกระจาย สารเริ่มต้นปฏิกิริยาที่นิยมใช้ คือ $K_2S_2O_8$ (potassium persulfate) โดยเม็ดสตีรีนจะแขวนลอยอยู่ในน้ำในลักษณะของคลอลอยด์ และมีสารประเทสบูหาน้ำที่เป็นอิมัลซิฟายเออร์ (emulsifier) ป้องกันไม่ให้เม็ดสตีรีนกลับมารวมตัวกัน

2.3 การสังเคราะห์พอลิเมสตีรีนนาโนเลเทกซ์

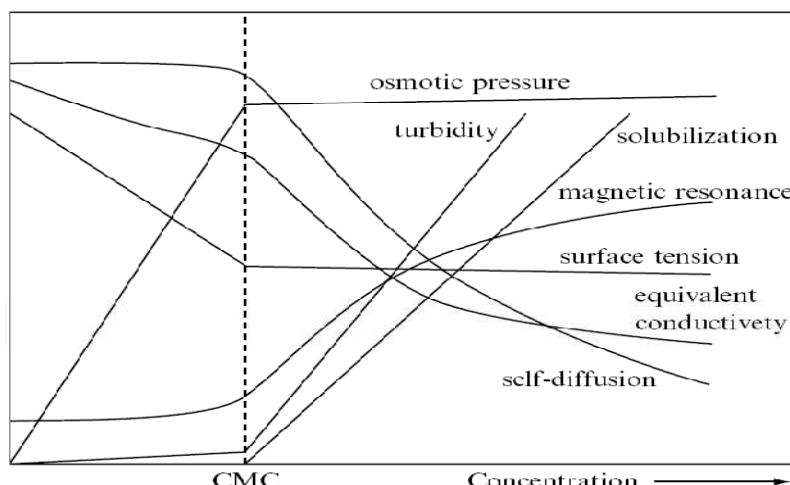
2.3.1 กระบวนการเกิดพอลิเมอร์แบบอิมัลชัน (Emulsion polymerization) [8]

กระบวนการเกิดพอลิเมอร์แบบอิมัลชันเป็นกระบวนการเกิดพอลิเมอร์แบบฟรีแรดิคัล (free radical polymerization) แบบหนึ่งที่นิยมใช้ในการสังเคราะห์พอลิเมอร์ที่สำคัญหลายชนิด ได้แก่ พอลิไวนิลคลอไรด์ [poly (vinyl chloride)] พอลิไวนิลอะซีเทต [poly (vinyl acetate)] และพอลิคลอโรพีน (polychloroprene) เป็นต้น โดยอิมัลชันหรือเลเทกซ์ (latex) ที่เตรียมได้สามารถนำไปใช้งานได้โดยตรง เช่น สี กาว สารเคลือบผิว และน้ำยาขัดพื้น เป็นต้น

ส่วนประกอบในระบบของกระบวนการเกิดพอลิเมอร์แบบอิมัลชัน คือ

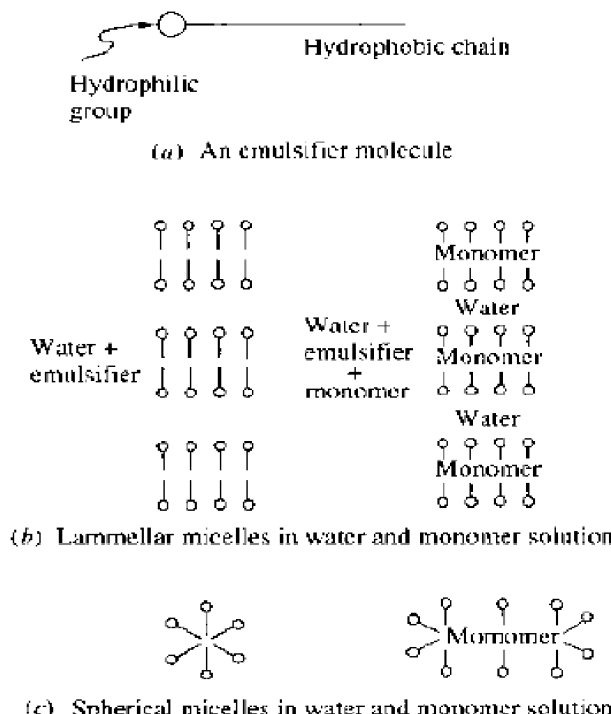
1. มองเคมอร์ที่ไม่ละลายน้ำ (water-insoluble monomer) หรือละลายได้น้อยมาก เช่น บิวตัคไดอิน สไตรีน อะคริลิโนไตรล์ ไวนิลแอซีเทต และไวนิลคลอไรด์ เป็นต้น
2. ตัวกลางสำหรับการกระจาย โดยส่วนมากใช้น้ำเป็นตัวกลาง
3. สารลดแรงตึงผิว
4. สารเริ่มปฏิกิริยาที่ละลายในน้ำ (water soluble initiator) เช่น โซเดียมเบอโร-ชัลเฟต หรือสารเริ่มปฏิกิริยาที่ละลายในน้ำมัน (oil-soluble initiator) เช่น AIBN

สารลดแรงตึงผิวมีบทบาทสำคัญมากในกระบวนการเกิดพอลิเมอร์แบบอิมัลชัน โดยเกิดขึ้นของสารลดแรงตึงผิวประกอบด้วย 2 ส่วน คือ ส่วนหัวที่ชอบน้ำ (hydrophilic head) และส่วนหางที่เป็นสายโซ่ไฮโดรคาร์บอนยาวที่ไม่ชอบน้ำ (hydrophobic tail) สารลดแรงตึงผิวที่ใช้ส่วนใหญ่เป็นชนิดแอนไอโอนิก (anionic surfactants) เช่น โซเดียมโอดีเซ็ลชัลเฟต โดยเมื่อละลายสารลดแรงตึงผิวในน้ำ สมบัติทางกายภาพของสารละลายที่ได้ เช่น ความดันออสโมติก สภาพการนำความหนืดสัมพัทธ์ และแรงตึงผิว จะเปลี่ยนแปลงไปจากสมบัติเดิมของน้ำ โดยรูปที่ 2.3 แสดงการเปลี่ยนแปลงตามความเข้มข้นเชิงโมลาร์ของสารลดแรงตึงผิวที่ละลายอยู่ในน้ำ พบว่า ที่ระดับความเข้มข้นหนึ่งจะมีการเปลี่ยนแปลงความซันของสมบัติต่างๆ อย่างทันทีทันใด ซึ่งความเข้มข้นนี้เรียกว่า ความเข้มข้นไม้เซลล์วิกฤต (critical micelle concentration, CMC)



รูปที่ 2.3 สมบัติทางกายภาพของปริมาณสารลดแรงตึงผิวที่ละลายอยู่ในน้ำ [9]

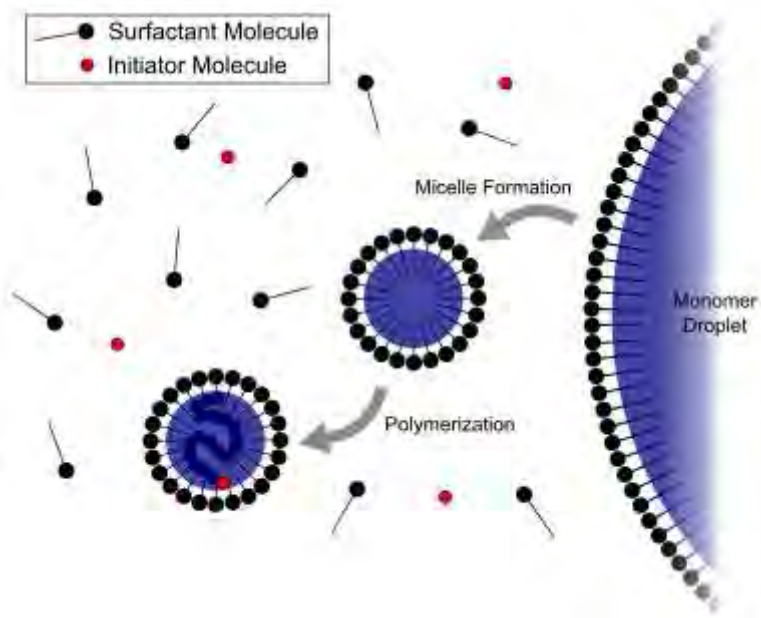
เมื่อสารลดแรงตึงผิวเล็กน้อยในน้ำ ไม่เกิดขึ้นของสารลดแรงตึงผิวจะกระจายไปทั่วอย่าง อิสระ และเมื่อความเข้มข้นของสารลดแรงตึงผิวเพิ่มขึ้นสูงกว่าค่า CMC (CMC หมายถึง ความ เข้มข้นต่ำสุดของสารลดแรงตึงผิวซึ่งอยู่ในรูปปีนเซลล์) ไม่เกิดขึ้นของสารลดแรงตึงผิวจะรวมตัวกันใน ลักษณะเป็นกลุ่ม叫做อยด์เลิกๆ เรียกว่า ปีนเซลล์ โดยค่า CMC ของสารลดแรงตึงผิวส่วนใหญ่อยู่ ระหว่าง 0.001-0.1 มิลลิตร ปีนเซลล์ที่ไปมีขนาด 2-10 นาโนเมตร ซึ่งประกอบด้วยสารลดแรง ตึงผิว 50-150 ไมลลิลิตร ไม่เกิดขึ้นของสารลดแรงตึงผิวที่จัดตัวในรูปปีนเซลล์จะหันปลายมีชื่อบน เข้าด้านในของปีนเซลล์และหันปลายไออกอนิกออกทางตัวกลางที่เป็นน้ำ และรูปแบบของปีนเซลล์ แสดงไว้ในรูปที่ 2.4



รูปที่ 2.4 การเกิดปีนเซลล์ในกระบวนการการเกิดพอลิเมอร์แบบอิมัลชัน [10]

เมื่อเติมมอนโเมอร์ที่มีความสามารถในการละลายน้ำต่ำ ($0.01\text{-}1\%$) เข้าสู่ระบบที่มีการ กรณตลดเวลา มอนโเมอร์บางส่วนจะละลายในปีนเซลล์ ทำให้ขนาดของปีนเซลล์ใหญ่ขึ้น มนโเมอร์ที่เหลือ (ยกเว้นส่วนที่ละลายน้ำซึ่งมีเพียงเล็กน้อยเท่านั้น) จะอยู่กันเป็นหยดเล็กๆ ที่มี รัศมี 2-3 ไมโครเมตร กระจายไปทั่วระบบ หยดมอนโเมอร์เหล่านี้ค่อนข้างเสถียร (ไม่ว่ามีตัวเป็น หยดใหญ่) ดังนั้น ระบบจึงประกอบด้วย 3 วัสดุภาค คือ

1. วัฏจักรของน้ำที่มอนомнอเมอร์และสารละลายต่างๆ มวลหลายอยู่เล็กน้อย
2. หยดมอนомнอเมอร์ที่ค่อนข้างเสถียร
3. ไมเซลล์ที่อิ่มตัวด้วยมอนомнอเมอร์ซึ่งมีขนาดเล็กกว่าหยดมอนомнอเมอร์มาก แต่มีจำนวนมากกว่ามาก องค์ประกอบของระบบแสดงไว้ในรูปที่ 2.5



รูปที่ 2.5 องค์ประกอบของระบบอิมลัชัน [11]

เมื่อเติมสารเริ่มปฏิกิริยาที่ละลายน้ำได้เข้าสู่ระบบ พ्रีแอดิคัลที่เกิดจากการแตกตัวของสารเริ่มปฏิกิริยาจะสามารถทำปฏิกิริยากับมอนомнอเมอร์ในระบบได้ทั้ง 3 วัฏจักร ภายในระบบ คือ

1. มอนомнอเมอร์ที่ละลายในน้ำ
2. หยดมอนомнอเมอร์ (โดยการแพรว)
3. ไมเซลล์ที่อิ่มตัวด้วยมอนомнอเมอร์ (โดยการแพรว)

เนื่องจากในสารละลายส่วนที่เป็นน้ำจะมีความเข้มข้นของมอนомнอเมอร์ต่ำมาก จึงอาจกล่าวได้ว่าไม่มีปฏิกิริยาการเกิดพอลิโนเมอร์ในน้ำ ดังนั้น จึงเหลือเพียง 2 วัฏจักร เท่านั้นที่จะเกิดปฏิกิริยา คือ ในไมเซลล์ และในหยดมอนомнอเมอร์ จากการคำนวณพบว่าจำนวนไมเซลล์มีประมาณ 10^{18} ไมเซลล์ต่อตารางเซนติเมตร หรือมีพื้นผิว 50-100 ตารางเมตร หรือประมาณ 10-1000 เท่าของพื้นผิวทั้งหมดของหยดมอนомнอเมอร์ จากอัตราการแพรวของพ्रีแอดิคัลซึ่งแบ่งผันโดยตรงกับพื้นที่ผิว

พรีแอดิคัลทั้งหมดที่เกิดขึ้นจึงแพร่เข้าสู่ “ไมเซลล์” ทำให้ปฏิกิริยาการเกิดพอลิเมอร์ทั้งหมดเกิดขึ้นภายใน “ไมเซลล์” นอกจากนี้ จากการคำนวณพบว่าไม่มีการเกิดพอลิเมอร์ในหยดมอนอเมอร์เลย

เมื่อพรีแอดิคัลแพร่เข้าไปใน “ไมเซลล์” กระบวนการเริ่มปฏิกิริยาและการขยายขนาดจะเกิดขึ้นทันที ซึ่งในขณะเดียวกันจะมีการปั๊มน้ำมอนอเมอร์จากแหล่งอื่นๆ คือ จากหยดมอนอเมอร์ และมอนอเมอร์ที่ละลายในน้ำเข้าสู่ “ไมเซลล์” ขนาดของ “ไมเซลล์” จะขยายใหญ่ขึ้นควบคู่ไปกับการขยายขนาดของพอลิเมอร์ (ซึ่งขณะนี้เรียกว่าอนุภาคมอนอเมอร์-พอลิเมอร์) จึงจำเป็นต้องมีไมเลกุลของสารลดแรงตึงผิวเพิ่มเข้ามาเพื่อคงความเสถียรของ “ไมเซลล์” ซึ่งทำโดยดึงจาก “ไมเซลล์” อื่นๆ ที่ไม่ได้มีปฏิกิริยาการเกิดพอลิเมอร์ การขยายขนาดจะดำเนินต่อไปเรื่อยๆ ในอนุภาคมอนอเมอร์-พอลิเมอร์จนกว่าพรีแอดิคัลอื่นจะแพร่เข้าไปยังอนุภาคนั้นเพื่อดำเนินขั้นตอนสิ้นสุดปฏิกิริยาแบบรวมตัว หรือพรีแอดิคัลของพอลิเมอร์ที่กำลังขยายขนาดเกิดการสิ้นสุดปฏิกิริยาแบบถ่ายทอดสู่มอนอเมอร์นั้นและแพร่ออกจาكونุภาคนั้น

ข้อดีของกระบวนการเกิดพอลิเมอร์แบบอิมัลชัน คือ

1. ความหนืดต้านทานของปฏิกิริยา
2. การควบคุมอุณหภูมิของปฏิกิริยาทำได้ง่าย
3. พอลิเมอร์ที่ได้ออยู่ในรูปของอิมัลชันหรือเล็กซ์ สามารถนำไปใช้ได้ทันทีโดยไม่ต้องนำไปผ่านกระบวนการการตกตะกอน
4. ได้ร้อยละของการเปลี่ยนแปลงเป็นพอลิเมอร์ (%conversion) สูง
5. อัตราการเกิดปฏิกิริยาเร็วมาก โดยพอลิเมอร์ที่ได้มีน้ำหนักโมเลกุลสูง และมีการกระจายขนาดอนุภาคที่แคบ

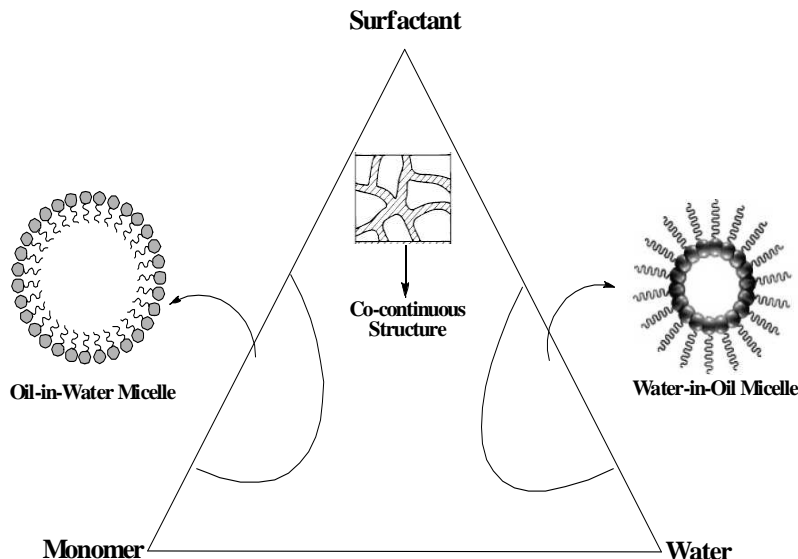
ข้อเสียของกระบวนการเกิดพอลิเมอร์แบบอิมัลชัน คือ

1. การกำจัดสารลดแรงตึงผิวออกจากพอลิเมอร์อิมัลชันทำได้ยาก
2. ขนาดอนุภาคของพอลิเมอร์มีขนาดใหญ่ (มากกว่า 100 นาโนเมตร)

2.3.2 กระบวนการเกิดพอลิเมอร์แบบไมโครอิมัลชัน (Microemulsion polymerization) [12]

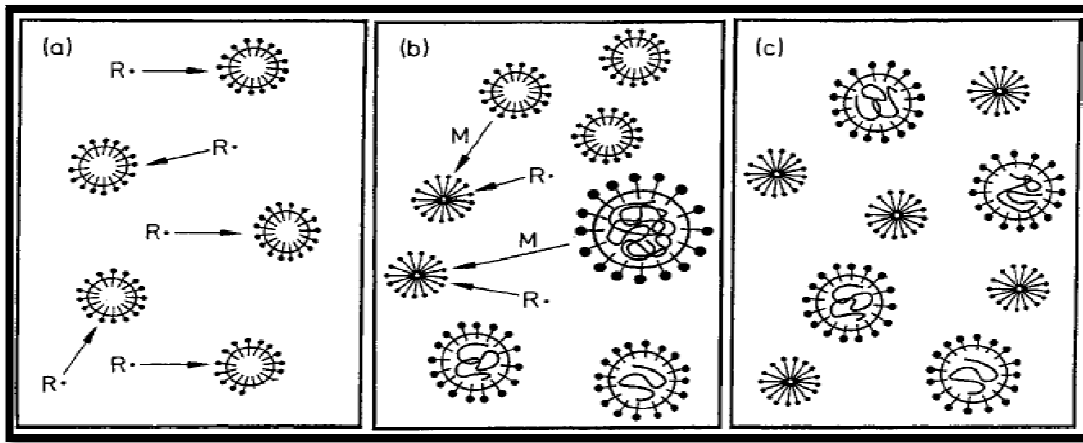
ไมโครอิมัลชัน คือ ระบบที่ของเหลวสองชนิดไม่สามารถผสมผสานกันได้ โดยมีเสถียรภาพทางเทอร์โมไดนามิกส์ มีความเป็นไอโซทริปิก และมีความใส ซึ่งประกอบด้วยน้ำ น้ำมัน และสาร

ลดแรงตึงผิว ในระบบไมโครอิมัลชันที่มีปริมาณน้ำมากกว่าน้ำมันจะเกิดไมเซลล์แบบ oil-in-water (o/w) ซึ่งระบบนี้จะมีหยดน้ำเล็กๆกระจายอยู่ในน้ำมัน และในระบบที่มีปริมาณน้ำมันมากกว่าน้ำจะเกิดไมเซลล์แบบ water-in-oil (w/o) ซึ่งระบบนี้จะมีหยดน้ำมันเล็กๆขนาดเล็กกว่า 10 นาโนเมตร ถูกกล้อมรอบด้วยสารลดแรงตึงผิว 1 ชั้น ดังแสดงในรูปที่ 2.6



รูปที่ 2.6 แผนภาพเฟสของไอโซทริปิกไมโครอิมัลชัน

กระบวนการเกิดพอลิเมอร์แบบไมโครอิมัลชันได้ถูกพัฒนาขึ้นเป็นครั้งแรกโดย Stoffer และคณะ [13] โดยใช้เมทธิลอะคริเลต (methyl acrylate) มองคอมอร์ในการศึกษาระบบอิมัลชัน ดังกล่าวเป็นระบบแบบน้ำในน้ำมัน (w/o) โดยมีเฟสกระจาย (dispers phase) เป็นน้ำที่ถูกล้อมรอบด้วยน้ำมันซึ่งเป็นเฟสต่อเนื่อง (continuous phase) ปัจจุบันกระบวนการเกิดพอลิเมอร์แบบไมโคร-อิมัลชันได้รับความสนใจเพิ่มขึ้นอย่างรวดเร็ว เนื่องจากสามารถใช้เตรียมพอลิเมอร์ได้ทึกระหว่างน้ำและพอลิเมอร์ที่ได้ยังมีน้ำหนักไม่เกิดสูง จึงถูกนำไปประยุกต์ใช้ในงานหลายๆ ด้าน เช่น พอลิเมอร์นำไฟฟ้า (conducting polymer) และอนุภาค colloidal ที่มีหมุ่พังก์ชันหลากหลายสายรับใช้งานในด้านวัสดุพอลิเมอร์ทางการแพทย์ อย่างไวก์ ตามกระบวนการเกิดพอลิเมอร์แบบไมโครอิมัลชันเป็นวิธีที่ต้องใช้สารลดแรงตึงผิวในปริมาณมาก และบางครั้งมากกว่าปริมาณมองคอมอร์ กลไกการเกิดพอลิเมอร์แบบไมโครอิมัลชันแสดงไว้ในรูปที่ 2.7 ซึ่งในระบบประกอบด้วยน้ำ มองคอมอร์ สารเริ่มปฏิกริยาและสารลดแรงตึงผิว



รูปที่ 2.7 กลไกการเกิดพอลิเมอร์แบบไมโครอะมิลชัน [14]

กลไกการเกิดพอลิเมอร์แบบไมโครอะมิลชันมีขั้นตอนดังต่อไปนี้

1. รูปที่ 2.7(a) แสดงขั้นเริ่มปฏิกิริยา (initiation) โดยระบบประกอบด้วยตัวกลาง (น้ำ) มอนอเมอร์ไมเซลล์ (monomer micelles) และฟรีเอดีคัลของสารเริ่มปฏิกิริยา ($R\cdot$) โดยปฏิกิริยาการเกิดพอลิเมอร์เริ่มเมื่อฟรีเอดีคัลเคลื่อนเข้าทำปฏิกิริยากับมอนอเมอร์ที่อยู่ในไมเซลล์

2. รูปที่ 2.7(b) แสดงขั้นขยายขนาด (propagation) ของพอลิเมอร์ภายในไมเซลล์ และเปลี่ยนไปเป็นพอลิเมอร์ไมเซลล์ (polymer micelle) นอกจากนี้ มอนอเมอร์ในไมเซลล์และที่เหลืออยู่ในพอลิเมอร์ไมเซลล์อาจแพร่เข้าสู่ไมเซลล์ว่าง (empty micelle) และทำปฏิกิริยากับฟรีเอดีคัลของสารเริ่มปฏิกิริยาที่ถูกจับโดยไมเซลล์ว่างเกิดเป็นพอลิเมอร์ไมเซลล์ได้เช่นกัน

3. รูปที่ 2.7(c) แสดงขั้นสิ้นสุดปฏิกิริยา (termination) โดยฟรีเอดีคัลในระบบถูกทำให้หมดไปด้วยกระบวนการสิ้นสุดการขยายขนาดของสายโซ่พอลิเมอร์

Leong และ Candau [15] ได้รายงานการเกิดพอลิเมอร์ของอะคริลามิด (acrylamide) ในโทลูอินด้วยเทคนิคไมโครอะมิลชัน ซึ่งทำให้ได้อุณหภูมิที่มีขนาดเล็กและน้ำหนักโมเลกุลสูงมาก แต่ต้องใช้อัตราส่วนของสารลดแรงตึงผิวที่สูงกว่าระบบอะมิลชันทั่วไป เนื่องจากในระบบมีไมเซลล์ เป็นจำนวนมากจึงจำเป็นต้องใช้สารลดแรงตึงผิวบิริมาณมากกว่า สารลดแรงตึงผิวเหล่านี้นอกจากมีราคาแพงแล้ว ยังมีผลต่อสมบัติของพอลิเมอร์ที่สั้นเค面向ที่ได้ อีกทั้งการกำจัดสารลดแรงตึงผิวออกจากระบบภายหลังการเกิดพอลิเมอร์สิ้นสุดลงทำได้ยาก และต้องใช้ค่าใช้จ่ายสูงอีกด้วย นอกจากนี้ ร้อยละของพอลิเมอร์ที่สั้นเค面向ที่ได้ยังมีปริมาณน้อยกว่าร้อยละ 10 โดยน้ำหนัก

โดยทั่วไปแล้ว การเกิดพอลิเมอร์แบบไมโครอิมัลชันต่างจากการเกิดพอลิเมอร์แบบอิมัลชัน เพราะระบบประกอบด้วยหยดไมโครอิมัลชันขนาดระดับนาโนเมตรที่มีเสถียรภาพทางเทอร์โมไดนามิกส์ และหยดเล็กๆ เหล่านี้มีอนุภาคของพอลิเมอร์ (เส้นผ่าศูนย์กลาง 10-50 นาโนเมตร) บรรจุอยู่ โดยแต่ละอนุภาคของพอลิเมอร์ประกอบด้วยสายโซ่ไมเลกุลของพอลิเมอร์เพียง 2-3 ไมเลกุลเท่านั้น นอกจากนี้ พอลิเมอร์ที่เตรียมได้ยังมีน้ำหนักไมเลกุลสูงมาก (10^6 - 10^7) อีกด้วย

ข้อดีของกระบวนการเกิดพอลิเมอร์แบบไมโครอิมัลชัน คือ

1. ขนาดอนุภาคของพอลิเมอร์มีขนาดเล็ก (น้อยกว่า 50 นาโนเมตร)
2. ได้พอลิเมอร์ที่มีน้ำหนักไมเลกุลสูง

ข้อเสียของกระบวนการเกิดพอลิเมอร์แบบไมโครอิมัลชัน คือ

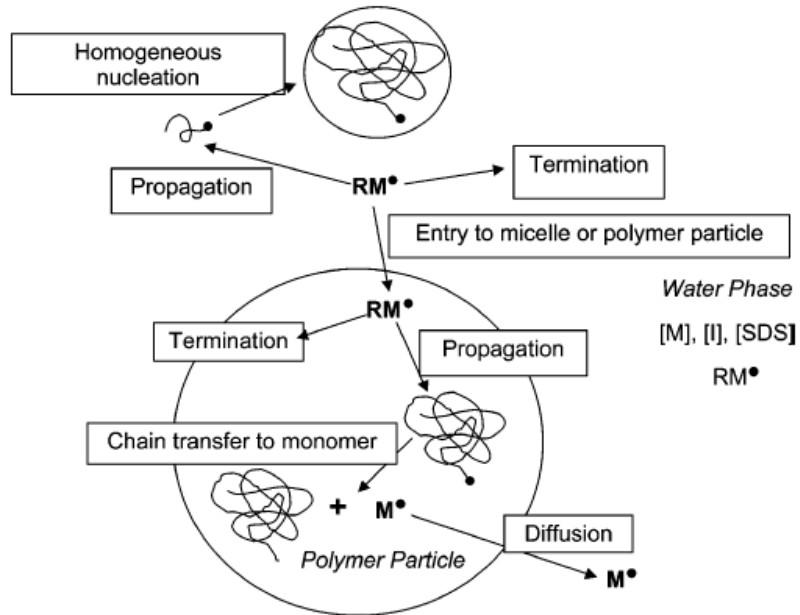
1. อัตราส่วนระหว่างมอนโอมอร์ต่อสารลดแรงตึงผิวต่ำ (น้อยกว่า 1)
2. บริมาณการเกิดพอลิเมอร์ต่ำ (น้อยกว่าร้อยละ 10 โดยน้ำหนัก)

2.3.3 กระบวนการเกิดพอลิเมอร์แบบดิฟเฟอร์เรนเชียลไมโครอิมัลชัน

(Differential microemulsion polymerization) [16-19]

การเกิดพอลิเมอร์แบบดิฟเฟอร์เรนเชียลไมโครอิมัลชันเป็นการปรับปรุงกระบวนการเกิดพอลิเมอร์ให้ใช้สารลดแรงตึงผิวลดลง โดยยังสามารถสังเคราะห์พอลิเมอร์ที่มีอนุภาคขนาดนาโน เมตรและควบคุมขนาดอนุภาคของพอลิเมอร์ได้อีกด้วย อีกทั้งร้อยละผลได้ของพอลิเมอร์มากกว่า ร้อยละผลได้ของพอลิเมอร์จากการกระบวนการเกิดพอลิเมอร์แบบไมโครอิมัลชัน ซึ่งหลักการของเทคนิคนี้คือการเกิดพอลิเมอร์แบบไมโครอิมัลชัน กล่าวคือ ในระบบแรกเริ่มประกอบด้วยน้ำ สารลดแรงตึงผิว และสารเริ่มปฏิกิริยาที่ละลายน้ำ (เช่น แอกโนเนี่ยมเบอร์ชัลเฟต) ผสมอยู่ในเครื่องปฏิกิริย์ เมื่อให้ความร้อนแก่ระบบจนถึงที่อุณหภูมิที่กำหนด จึงเริ่มง่ายดมอนโอมอร์ลงไปในระบบที่ละหมาด ไมเซลล์ของสารลดแรงตึงผิวจะแบ่งกันดึงมอนโอมอร์เข้าไปอยู่ในไมเซลล์ได้ง่าย กว่าเทคนิคการเกิดพอลิเมอร์แบบไมโครอิมัลชัน จึงทำให้เทคนิคนี้สามารถความเข้มข้นของสารลดแรงตึงผิวที่จำเป็นต้องใช้ให้มีค่าต่ำกว่าค่าความเข้มข้นไมเซลล์วิกฤติได้ นอกจากนี้ ยังสามารถควบคุมขนาดอนุภาคของพอลิเมอร์ได้อีกด้วย

รูปที่ 2.8 แสดงกลไกการเกิดพอลิเมอร์ด้วยกระบวนการเกิดพอลิเมอร์แบบดิฟเฟอเรนเชียลไมโครมัลชันที่นำเสนอโดย He และคณะ [18] ซึ่งภายในระบบก่อนเกิดปฏิกิริยาประกอบด้วยสารเริ่มปฏิกิริยา สารลดแรงตึงผิว และสารลดแรงตึงผิวร่วม (co-surfactant)



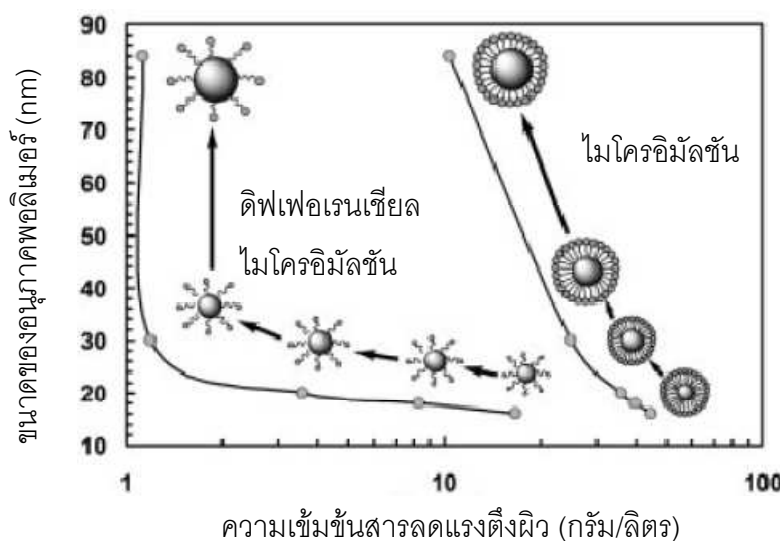
รูปที่ 2.8 กลไกการเกิดอนุภาคพอลิเมอร์ด้วยกระบวนการเกิดแบบดิฟเฟอเรนเชียลไมโครมัลชัน

สารเริ่มปฏิกิริยาแตกตัวในเฟสน้ำกล้ายเป็นแรดิคัลปฐมภูมิ ซึ่งแบ่งส่วนเข้าทำปฏิกิริยากับมอนомнอมอร์ที่ถูกป้อนเข้าสู่ระบบด้วยการหยดอย่างต่อเนื่องเกิดเป็นมอนомнอมอร์แรดิคัล (RM^{\bullet}) และขยายเป็นพอลิเมอร์แรดิคัล ซึ่งพอลิเมอร์แรดิคัลเหล่านี้จะขยายขนาดในเฟสน้ำจนได้ความยาวสายโซ่วิกฤติ (critical chain length) และเคลื่อนเข้าไปอยู่ในไมเซลล์เกิดเป็นอนุภาคพอลิเมอร์กลไกนี้ เรียกว่า การเกิดอนุภาคแบบ homogeneous nucleation นอกจากนี้ RM^{\bullet} ยังเคลื่อนเข้าทำปฏิกิริยากับมอนомнอมอร์ในไมเซลล์ที่บวมตัวด้วยมอนомнอมอร์เกิดเป็นอนุภาคพอลิเมอร์ กลไกนี้เรียกว่า การเกิดอนุภาคแบบ heterogeneous nucleation ซึ่งอนุภาคพอลิเมอร์พิริแรดิคัลเหล่านี้จะขยายขนาดต่อไป และสิ้นสุดการขยายขนาดภายหลังการเกิด chain transfer ไปยังมอนомнอมอร์และมอนомнอมอร์แรดิคัลที่เกิดจาก chain transfer (M^{\bullet}) สามารถเริ่มต้นเกิดพอลิเมอร์ต่อไปได้ หรือแพร่ออกสู่เฟสน้ำ เนื่องจากมีขนาดที่เล็กมาก

He และ Pan [17] ได้ทำการสังเคราะห์พอลิสไตรีนที่มีอนุภาคขนาดนาโนเมตรด้วยกระบวนการเกิดพอลิเมอร์แบบดิฟเฟอเรนเชียลไมโครมัลชัน โดยใช้เคมโมเนียมเปอร์ซัลเฟตเป็น

สารเริ่มปฏิกิริยา และโซเดียมไดเดซิลซัลเฟตเป็นสารลดแรงตึงผิว จากผลการทดลองของ พบว่า การสังเคราะห์พอลิสไตรีนด้วยกระบวนการการเกิดพอลิเมอร์แบบดิฟเพอเรนเชียลไมโครอิมัลชัน นอกจากได้พอลิสไตรีนที่มีขนาดอนุภาคต่ำกว่า 50 นาโนเมตร (ประมาณ 20 นาโนเมตร) ยังใช้สารลดแรงตึงผิวปริมาณน้อยกว่าวิธีการเกิดพอลิเมอร์แบบปั่นไมโครอิมัลชันมาก

Norakankorn และคณะ [20] ได้สังเคราะห์พอลิเมทิลเมทาคริเลตผ่านกระบวนการเกิดพอลิเมอร์แบบดิฟเพอเรนเชียลไมโครอิมัลชัน โดยใช้ AIBN เป็นสารเริ่มปฏิกิริยาที่ละลายในน้ำมัน (oil-soluble initiator) และใช้โซเดียมไดเดซิลซัลเฟตเป็นสารลดแรงตึงผิว พอลิเมอร์ที่สังเคราะห์ได้มีน้ำหนักโมเลกุลสูงประมาณ 1-3 ล้าน และมีขนาดอนุภาคประมาณ 20-30 นาโนเมตร นอกจาจนี้ยังได้เดเทกซ์ของพอลิเมทิล-เมทาคริเลต ที่มีปริมาณของแข็งสูงถึงร้อยละ 15 โดยน้ำหนัก และเมื่อเพิ่มปริมาณสารลดแรงตึงผิวจะทำให้การเปลี่ยนเป็นพอลิเมอร์ (%conversion) สูงขึ้น ในขณะที่อัตราส่วนของมอนโอมอร์ต่อน้ำมันยังคงเดิม ต่อ %conversion ในงานวิจัยนี้สามารถลดปริมาณการใช้สารลดแรงตึงผิวให้ต่ำลงได้ถึง 1/130 ของปริมาณมอนโอมอร์โดยน้ำหนัก และอัตราส่วนของสารลดแรงตึงผิวต่อน้ำหนักลดลงอยู่ที่ 1/600 ความสัมพันธ์ระหว่างขนาดอนุภาคของ PMMA และปริมาณสารลดแรงตึงผิวได้แสดงไว้ในรูปที่ 2.9 นอกจากนี้ยังแสดงการปรับเปลี่ยน ขนาดอนุภาคที่ได้จากการกระบวนการเกิดพอลิเมอร์แบบดิฟเพอเรนเชียลไมโครอิมัลชัน และไมโครอิมัลชันอีกด้วย



รูป 2.9 ความสัมพันธ์ระหว่างปริมาณสารลดแรงตึงผิวกับขนาดอนุภาค PMMA

จากการภาพแสดงให้เห็นว่า ที่ขนาดอนุภาคของพอลิเมอร์เท่ากัน กระบวนการเกิดพอลิเมอร์แบบดิฟเฟอเรนเชียลไม่ครอมัลชันใช้ปีริมาณสารลดแรงตึงผิวน้อยกว่าแบบบ้านี้ไม่ครอมัลชันมาก

2.4 สารตัวเติม (Filler) [21-22]

สารตัวเติม หมายถึง สารที่ถูกเติมลงในเรซินเพื่อลดต้นทุน หรือปรับปรุงสมบัติของวัสดุให้ดีขึ้น โดยปกติสารเหล่านี้จะเข้าไปอยู่ในเนื้อของพลาสติกโดยทางกายภาพ และจะไม่เปลี่ยนโครงสร้างสำคัญ ของพอลิเมอร์

สารตัวเติมสามารถแบ่งได้เป็น 4 ชนิด ดังนี้

1. สารตัวเติมที่มีลักษณะเป็นเม็ด (particulated fillers)

- สารเสริมแรง (reinforce fillers) เป็นสารตัวเติมที่ช่วยให้พลาสติกมีสมบัติทางกายภาพดีขึ้น คือ มีความทนแรงดึง ความต้านทานต่อการสึก蝕 และความทนการฉีกขาดสูง เป็นต้น สารตัวเติมประเภทนี้ส่วนใหญ่มีอนุภาคขนาดเล็กประมาณ $180-600 \text{ \AA}$ เป็นผลิตภัณฑ์ที่ได้จากเข็ม่า เช่น เข็ม่าดำ และซิลิกา เป็นต้น

- สารกึ่งเสริมความแข็งแรง (semireinforcing fillers) เป็นสารตัวเติมที่ช่วยเสริมความแข็งแรงของพลาสติกได้บ้าง สารตัวเติมเหล่านี้มีขนาดอนุภาคปานกลาง เช่น อะลูมิเนียมซิลิกา แคลเซียมซิลิกา และคาโอลิน เป็นต้น

- สารช่วยลดต้นทุนการผลิต (diluent fillers) สารตัวเติมประเภทนี้ไม่เสริมประสิทธิภาพความแข็งแรงให้กับพลาสติก มีราคาถูก มีอนุภาคขนาดใหญ่ตั้งแต่ 100 \AA ขึ้นไป เช่น แคลเซียมคาร์บอเนต แบงทัลคัม และแบเรียมชัลเฟต เป็นต้น สารตัวเติมประเภทนี้จะทำให้สมบัติทางกายภาพบางอย่างลดลง เช่น ความทนแรงดึง ความทนการฉีกขาด และความต้านทานการสึก蝕 และปรับปรุงสมบัติบางอย่างให้ดีขึ้น เช่น ทำให้ความแข็ง และมอดูลัสดีขึ้น ทำให้กระบวนการแปรรูปง่าย และช่วยลดต้นทุนการผลิต เพราะมีราคาถูก

นอกจากนี้ สารตัวเติมที่มีลักษณะเป็นเม็ด ยังแบ่งเป็นชนิดที่มีสีดำและชนิดที่ไม่ใช้สีดำ ซึ่งเข็ม่าดำเป็นสารตัวเติมชนิดที่มีสีดำที่นิยมใช้กันมาก ส่วนสารตัวเติมชนิดที่ไม่เป็นสีดำที่นิยมใช้กันมากที่สุด คือ ซิลิกา

2. สารตัวเติมที่มีลักษณะเป็นเส้นใย (fibrous fillers)

- แอกซเบสทอส (asbestos) เป็นเส้นใยที่ได้จากธรรมชาติ ช่วยเพิ่มสมบัติในด้านความทนทานต่อเปลวไฟ หรือความร้อน

- ผงเยื่อไม้ (wood flour) ได้จากการบดไม้ให้มีขนาดเล็ก

3. สารตัวเติมที่มีลักษณะเป็นเรชิน (resinous fillers)

เรชินที่ใสเข้าไปในพอลิเมอร์จะทำให้พอลิเมอร์มีความแข็งเพิ่มขึ้น ซึ่งโดยทั่วไปแล้วการทำให้พลาสติกแข็งขึ้น มักใช้สารตัวเติมที่เป็นผง เช่น เขมาดำ และซิลิกา แต่สารเคมีที่เป็นผงนี้สามารถสมเข้าไปในพลาสติกได้ในปริมาณจำกัด ถ้ามากเกินไปจะทำให้สมได้ยาก สารตัวเติมที่มีลักษณะเป็นเรชิน ได้แก่ สไตรีนเรชิน และฟีโนลิกเรชิน เป็นต้น

4. สารตัวเติมที่มีลักษณะเป็นยาง (Rubbery filler)

สารตัวเติมที่มีลักษณะเป็นยางถูกใส่ในพอลิเมอร์เพื่อเพิ่มความยืดหยุ่น เช่น การใส่ยางเอสบีอาร์ (SBR) หรือยางบิว tha ไดเอ็น (butadiene rubber) ในพอลิสไตรีน และการใส่ยางอีพีอาร์ (ethylene-propylene rubber) ในพอลิโพรพิลีน เป็นต้น

2.5 ซิลิกา (Silica) [23-24]

ซิลิกาเป็นสารตัวเติมที่สามารถเสริมแรงได้ดีที่สุดเมื่อเทียบกับสารตัวเติมสีไม่ดำ (non-black) อื่นๆ โดยเฉพาะซิลิกาที่มีขนาดเล็ก ซิลิกาเป็นสารตัวเติมที่ได้จากแหล่งธรรมชาติและการสังเคราะห์ สมบัติของซิลิกาจะขึ้นกับหลายปัจจัย ได้แก่

- ขนาดอนุภาค และพื้นที่ผิว
- ปริมาณน้ำในโครงสร้าง (extent of hydration)
- สมบัติทางกายภาพ เช่น ค่าความเป็นกรด-ด่าง (pH) องค์ประกอบทางเคมี การดูดซับน้ำมัน (oil absorption) เป็นต้น

ซิลิกามีชื่อทางเคมีว่า ซิลิกอนไดออกไซด์ (silicon dioxide, SiO_2) ประกอบด้วยอะตอมของซิลิกอน (Si) และออกซิเจน (O) ซิลิกาสามารถแบ่งได้ 2 ประเภทดังนี้

2.5.1 ซิลิกาธรรมชาติหรือซิลิกาชนิดบด (Ground silica)

เป็นซิลิกาที่ได้จากการบดโดยการขุดจากเหมืองแล้วทำการบดให้มีขนาดเล็ก เป็นผลึกโดยธรรมชาติ ซิลิกาชนิดบดนิยมใช้ลดต้นทุน เนื่องจากราคาถูกและช่วยเพิ่มสมบัติการทนความร้อน (heat resistance) สามารถแบ่งย่อยได้ 3 ชนิดคือ

- ซิลิกาผลึก (crystalline silica) คือ ซิลิกอนออกไซด์ในรูปผลึกควอตซ์ (quartzite) ซึ่งเป็นสินแร่ที่พบมากที่สุดอันดับสอง ได้จากการขุดเหมืองแล้วนำมาล้าง บด และแยกขนาด (ด้วยตะแกรงร่อนหรือลมเป่า) ซิลิกาชนิดนี้มีสิ่งเจือปนสูง มีพื้นผิวที่เกิดจากการแตกหักชุกช่วง และมีอนุภาคแหลมคม ทำให้มีสมบัติความเสียดทานสูง

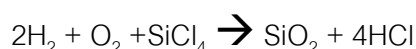
- ซิลิกาผลึกเล็ก (microcrystalline silica) บางครั้งอาจเรียกว่าควอตซ์หลินควอตซ์ (cryptocrystalline quartz) หรือซิลิกาอัมorphous (amorphous silica) สามารถผลิตได้ด้วยวิธีการบดเข่นเดียวกับซิลิกาผลึก แต่จะได้ออนุภาคที่มีผิวเรียบ มีขอบอนุภาคมนกลม ซิลิกาชนิดนี้ง่าย สามารถผลิตเป็นซิลิกาขนาดเล็กมาก (ultrafine silica)

- ซิลิกาไดอะตومเมเชียส (diatomaceous silica) จะผลิตได้จากไดอะตومไมเตอร์ (diatomite) ซึ่งเป็นหินอ่อนคล้ายชอล์กที่เกิดจากซากกระดูกฟอสซิล เรียกว่า ไดอะตอม (diatoms) ผลิตได้จากการบดหินและแยกขนาดด้วยลมหมุน (cyclone)

2.5.2. ซิลิกาชนิดสังเคราะห์ (Synthetic silica)

ซิลิกาชนิดสังเคราะห์มีลักษณะเป็นผงสีขาวขนาดเล็ก แบ่งย่อยได้เป็น 3 ชนิด คือ

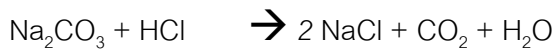
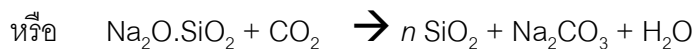
- ซิลิกาชนิดไอ (fumed silica) หรือไฟโรจิ尼克ซิลิกา (pyrogenic silica) เตรียมได้จากปฏิกิริยาเคมีในภาวะเป็นไออกซิณหรือมิสูง เกิดจากซิลิกอนเททระคลอไรต์ (silicon tetrachloride, SiCl₄) เกิดปฏิกิริยาไฟโรไลซิส (pyrolysis) ในตะเกียงเผาไฮดรเจนและออกซิเจน ควบหรือไออกซองผลิตภัณฑ์จะควบแน่นเป็นก้อนซิลิกาขนาดเล็กมาก (ประมาณ 20 nm) ติดที่ผิวลูกกลิ้งหมุน สรุปเป็นสมการเคมีได้ดังนี้



อนุภาคซิลิกาชนิดนี้จะเกิดการหลอมรวมกันเป็นกลุ่มก้อนขนาดเล็ก เรียกว่า 'aggregates' และอาจเกิดการรวมกลุ่มก้อนขนาดใหญ่ เรียกว่า 'agglomerates' ขนาดอนุภาคของซิลิกาชนิดนี้

สามารถควบคุมได้จากอัตราส่วนของสารตั้งต้นที่เข้าทำปฏิกิริยา จากนั้นเป็นขั้นตอนการแยกด้วยลมหมุน (cyclone) หรือตะแกรงร่อน กรณีไฮโดรคลอริกที่ตกค้างจากปฏิกิริยาอาจดูดซับติดที่ผิวของอนุภาค ซึ่งสามารถกำจัดได้ด้วยการผ่านอากาศร้อนชื้น ซิลิกาชนิดนี้มีความบริสุทธิ์หรือปริมาณซิลิกอนไดออกไซด์ (SiO_2) สูง ($> 99\%$) มีปริมาณความชื้นต่ำ (ประมาณ 1-2%) และมีขนาดอนุภาคเล็กมาก จึงมีประสิทธิภาพการเสริมแรงสูง

- ซิลิกาชนิดตะกอน (precipitated silica) สามารถเตรียมได้จากปฏิกิริยาในภาวะของเหลวซึ่งมีตันทุนการผลิตต่ำกว่าในภาวะที่เป็นไอ ซิลิกาชนิดนี้ได้จากการตกลงตะกอนสารละลายโซเดียมซิลิกะ (sodium silicate) ด้วยสารละลายกรดขั้ลฟิวเริก (sulfuric acid) หรือของผสมของกรดแร่กับคาร์บอนไดออกไซด์ (CO_2) ดังสมการ



สมบัติของซิลิกาชนิดนี้สามารถควบคุมได้จากหลายปัจจัย เช่น ความเข้มข้นของสารตั้งต้น อัตราการใส่สารตั้งต้น อุณหภูมิ ความเป็นกรด-ด่าง ฯลฯ ผลิตภัณฑ์ที่ได้จะถูกกรอง ล้างให้สะอาด ทำให้แห้ง และบดให้มีขนาดตามต้องการ ซิลิกาชนิดนี้จะมีปริมาณ SiO_2 น้อยกว่า (ประมาณ 94%) และมีปริมาณความชื้นสูง (3-9%)

- ซิลิกาชนิดเจล (gel silica) การตกลงตะกอนซิลิกาในภาวะกรดเป็นเวลานานๆ จะได้สารไฮโดรเจล (hydrogel) หรือเจลซิลิกา (silica gel) ที่เป็นโครงสร้างของอนุภาค colloidal ของซิลิกาต่อกันคล้ายร่างແ reshämmiti (3-dimensional network) จากนั้นจะทำการล้าง ทำให้แห้ง และบดให้มีขนาดเล็ก ขั้นตอนการทำให้แห้งมีความสำคัญ ถ้าทำให้แห้งอย่างรวดเร็วโดยไม่เกิดการยุบตัวของโครงสร้างจะได้ ‘แอโรเจล’ (aerogel) แต่ถ้าทำให้ไม่เลกูลของน้ำหลุดออกช้าๆ ทำให้เกิดการยุบตัวของโครงสร้างจะเรียกว่า ‘เซโรเจล’ (xerogel)

จากการเปรียบเทียบสมบัติของชิลิกาจากครมชาติและชิลิกาจากการสังเคราะห์จะเห็นว่า ชิลิกาจากการสังเคราะห์มีพื้นที่ผิวมากกว่า จึงมีประสิทธิภาพการเสริมแรงดีกว่า แต่จะดูดความชื้นจากบรรยายกาศมากกว่า

จากการวิจัยที่ผ่านมา พบว่า การใช้นาโนชิลิกาใส่เข้าไปในพอลิเมอร์เมทิกรีซต่างๆ จะช่วยให้ผลิตภัณฑ์มีสมรรถนะในการใช้งานสูงขึ้น โดย Zhang และคณะ [25] ได้เตรียมวัสดุไอบริดของพอลิสไตรีน/นาโนชิลิกา พบร่วมกัน 10% โดยน้ำหนัก สามารถปรับปรุงสมบัติเชิงกลของชิ้นงาน ขณะที่ปริมาณมากกว่านี้จะทำให้สมบัติเชิงกลลดลงอย่างเห็นได้ชัด ทั้งนี้ เนื่องจากอนุภาคนาโนชิลิกาเกาะกันเป็นกลุ่มก้อน

บทที่ 3

วิธีดำเนินการวิจัย

3.1 สารเคมีที่ใช้

- สไตรีนเมโกร์ [มีส่วนผสมของสารยับยั้ง (inhibitor) 10-15 ส่วนในล้านส่วน (part per million, ppm)] ได้รับความอนุเคราะห์จาก บริษัท สยามเคมีคอลอินดัสตรี จำกัด
- โซเดียมโดเดซิลซัลเฟต (sodium dodecyl sulfate, SDS) ชนิดเกรด C ที่มีความบริสุทธิ์ ร้อยละ 97 ได้รับความอนุเคราะห์จากบริษัทคอกนิส (ประเทศไทย)
- 2,2'-อะโซบิสไอโซบิวทิโนไนเตรล (2,2'-azobisisobutyronitrile, AIBN) ได้รับความอนุเคราะห์จากบริษัท สยามเคมีคอลอินดัสตรี จำกัด
- ซิลิกา ที่มีขนาดอนุภาค 10-20 นาโนเมตร ของบริษัท ซิกนา-อัลตริช จำกัด
- น้ำกลัน
- เมทานอล เกรดทั่วไป
- เอทิลีนไวนิลแอซีเทตโคพอลิเมอร์อิมัลชัน (ethylene vinyl acetate copolymer, EVA) (EVA DA-101) ได้รับความอนุเคราะห์จากบริษัท อีเทอนอลเรชิน จำกัด สมบูรณ์แสดงในตารางที่ 3.1

ตารางที่ 3.1 สมบูรณ์ของเอทิลีนไวนิลแอซีเทตโคพอลิเมอร์อิมัลชัน

| สมบูรณ์ | ผลการทดสอบ |
|---|--|
| Appearance | milky white homogeneous viscous liquid |
| Viscosity (cps, 25°C) | 2,100 |
| Non-volatile content (%) 160°C, 40 minutes | 55.3 |
| pH | 4.5 |

3.2 อุปกรณ์ที่ใช้ในการทดลอง

1. เครื่องปฏิกรณ์แก้วไเพเรกซ์ (Pyrex glass reactor) ขนาด 500 ml แบบมีฝาปิด-เปิด
2. อุปกรณ์ควบคุมแบบสองชั้น (double jacket condenser)
3. เครื่องให้ความร้อนและกวนสารแบบควบคุมด้วยระบบดิจิตอล (stirring/temperature controlled digital hot plate)
4. กรวยหยดสารแบบปิด (closed dropping funnel)
5. แท่งแม่เหล็ก (magnetic bar)
6. เครื่องกวนแบบเชิงกล (mechanical stirrer) ที่สามารถปรับความเร็วรอบได้
7. แม่พิมพ์ที่ทำจากแผ่นกระดาษขนาด $20 \times 20 \times 0.15$ เซนติเมตร
8. ตู้อบ

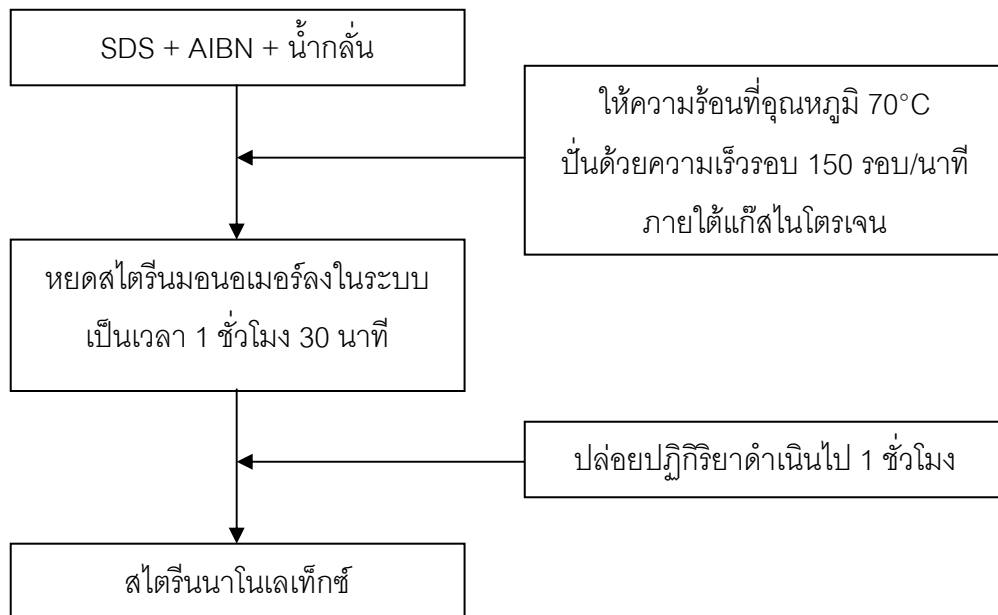
3.3 เครื่องมือที่ใช้ในการทดสอบ

1. เครื่องวิเคราะห์ขนาดอนุภาคด้วยเทคนิคการสะเจิงแสงแบบพลวัต (Dynamic Light Scattering Analyzer, DLS) รุ่น Nano-series ZX (ศูนย์เทคโนโลยีโลหะและวัสดุแห่งชาติ)
2. กล้องจุลทรรศน์อิเล็กtronแบบส่องผ่าน (Transmission Electron Microscope, TEM) รุ่น JEOL JEM-1230 (ภาควิชาพยาธิวิทยา คณะแพทยศาสตร์ ศิริราชพยาบาล)
3. กล้องจุลทรรศน์อิเล็กtronแบบส่องกราด (Scanning Electron Microscope, SEM) รุ่น JEOL JSM-5410LV (คณะวิทยาศาสตร์ จุฬาลงกรณ์มหาวิทยาลัย)
4. เครื่องทดสอบความหนาแน่น (Tensile Testing Machine) รุ่น LR 100K (ภาควิชาวัสดุศาสตร์ จุฬาลงกรณ์มหาวิทยาลัย)]
5. เครื่องเทอร์โมแกรวิเมทริกแอนาไลเซอร์ (Thermogravimetric Analyzer, TGA) รุ่น METTLER TOLEDO TGA/SDTA 851° (ภาควิชาวัสดุศาสตร์ จุฬาลงกรณ์มหาวิทยาลัย)
6. เครื่องวิเคราะห์สมบัติเชิงกลพลวัต (Dynamic Mechanical Analyzer, DMA) รุ่น METTLER TOLEDO 861° (ภาควิชาวัสดุศาสตร์ จุฬาลงกรณ์มหาวิทยาลัย)

3.4 วิธีการทดลอง

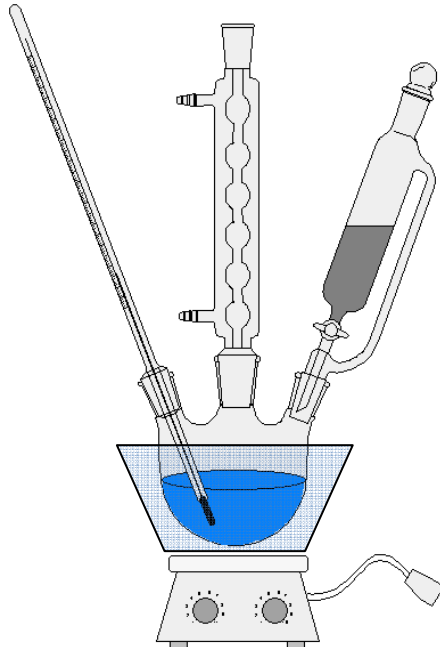
3.4.1 การสังเคราะห์พอลิสไตรีนนาโนเลเท็กซ์

ขั้นตอนการสังเคราะห์สไตรีนนาโนเลเท็กซ์ด้วยกระบวนการเกิดพอลิเมอร์แบบดิฟเฟอเรนเชียลไมโครมัลติสเต็ปแสดงไว้ในรูปที่ 3.1



รูปที่ 3.1 ขั้นตอนการเตรียมสไตรีนนาโนเลเท็กซ์

การเตรียมนาโนเลเท็กซ์ของพอลิสไตรีนเริ่มจากนำสารลดแรงตึงผิว (SDS) 8 กรัม สารเริ่มปฏิกิริยา (AIBN) 0.12 กรัม และน้ำกลั่น 60 มิลลิลิตร [26] ใส่ลงใน glass reactor ที่มีการต่อ double jacket condenser และควบคุมอุณหภูมิด้วย hot plate (ดังแสดงในรูปที่ 3.2) และให้ความร้อนภายใต้การกวนอย่างต่อเนื่องและสม่ำเสมอที่อัตราเร็วในการหมุนของแท่งแม่เหล็ก 150 รอบ/นาที ภายใต้บخارยากาศของแก๊สไนโตรเจนโดยทำการจ่ายแก๊สไนโตรเจนผ่านหลอดนำแก๊สเข้าสู่เครื่องปฏิกิริยาน้ำที่ระดับกึ่งกลางความสูงของสารละลายทั้งหมดในเครื่อง เมื่ออุณหภูมิสูงถึง 70 องศาเซลเซียส จึงเริ่มหยดสไตรีนมอนомерที่ละหยดเด็กๆ อย่างสม่ำเสมอโดยใช้ dropping funnel เป็นเวลา 1 ชั่วโมง 30 นาที จนหมด (22.5 มิลลิลิตร) จากนั้นให้คงปฏิกิริยาที่อุณหภูมิ 70 องศาเซลเซียส พร้อมการกวนต่ออีก 1 ชั่วโมง เพื่อให้สไตรีนมอนomer เกิดปฏิกิริยาเป็นพอลิสไตรีน อย่างสมบูรณ์ แล้วตั้งทิ้งไว้ให้เย็นลงมาที่อุณหภูมิห้อง



รูปที่ 3.2 การติดตั้งอุปกรณ์ที่ใช้สังเคราะห์สไตรีนจากน้ำในแล็ทิกซ์

3.4.2 การแยกพอลิสไตรีนออกจากน้ำในแล็ทิกซ์

นำสไตรีนจากน้ำในแล็ทิกซ์ที่สังเคราะห์ได้จากข้อ 3.2.1 ซึ่งบรรจุอยู่ใน glass reactor ไปทำให้ตกลาดกอนโดยใช้เมทานอลปริมาณมากเกินพอ ตั้งทิ้งไว้ให้ตกลาดกอนประมาณ 5-10 นาที แล้วกรองด้วยเครื่องกรองระบบสุญญาการ และล้างสารลดแรงตึงผิวและโอลิกอเมอร์ด้วยน้ำกลันและเมทานอล นำตกลาดกอนของพอลิสไตรีนที่แยกได้ไปอบที่อุณหภูมิ 60 องศาเซลเซียส เป็นเวลา 12 ชั่วโมง แล้วเก็บไว้เพื่อใช้ในการวิเคราะห์ต่อไป



รูปที่ 3.3 การแยกพอลิสไตรีนออกจากน้ำในแล็ทิกซ์

3.4.3 การวิเคราะห์ nano เท็กซ์

3.4.3.1 ร้อยละผลได้ (% yield) ของพอลิสไตรีนใน nano เท็กซ์

ร้อยละผลได้ของพอลิสไตรีนใน nano เท็กซ์ที่สังเคราะห์ได้จากข้อ 3.3.1 คำนวณได้จากสมการที่ 3.1

$$\text{ร้อยละผลได้ (% yield)} = \frac{\text{ร้อยละของแข็ง}}{\text{เปอร์เซ็นต์ของมอนอเมอร์}} \times 100 \quad (3.1)$$

โดยเปอร์เซ็นต์ของแข็งหาได้จากสมการที่ 3.2

$$\text{ร้อยละของแข็ง (% solid)} = \frac{\text{น้ำหนักของพอลิสไตรีนใน nano เท็กซ์}}{\text{น้ำหนักของ nano เท็กซ์ (g)}} \times 100 \quad (3.2)$$

และเปอร์เซ็นต์ของมอนอเมอร์หาได้จากสมการที่ 3.3

$$\text{ร้อยละของมอนอเมอร์} = \frac{\text{น้ำหนักของมอนอเมอร์ (g)}}{\text{น้ำหนักของของผสม (g)}} \times 100 \quad (3.3)$$

หมายเหตุ :

1. น้ำหนักของพอลิสไตรีนใน nano เท็กซ์ หาได้จากการตกละกอนานาโน่เลเท็กซ์ในข้อ 3.2.2
2. น้ำหนักของมอนอเมอร์หาได้จากความหนาแน่นของสไตรีน ($0.904 \times \text{ปริมาตรของสไตรีน}$)
3. น้ำหนักของของผสม ได้จากน้ำหนักของสไตรีนมอนอเมอร์ + SDS + AIBN + น้ำกลั่น

3.4.3.2 ขนาดอนุภาคและการกระจายขนาดอนุภาค

ขนาด nano เท็กซ์ที่เตรียมได้จากข้อ 3.2.1 ไปวิเคราะห์หา number-average diameter (D_n) และ intensity-average diameter (D_z) ด้วยเครื่อง Dynamic Light Scattering (DLS) Analyzer รุ่น Nano-series ZX (รูปที่ 3.4) ซึ่งวิเคราะห์ขนาดและการกระจายขนาดอนุภาคระดับนาโนได้ในช่วง 0.6-6000 นาโนเมตร



รูปที่ 3.4 เครื่อง Dynamic Light Scattering (DLS) Analyzer รุ่น Nano-series ZX

3.4.3.3 สัณฐานวิทยาของพอลลิสไตรีนที่มีอนุภาคขนาดนาโนเมตร

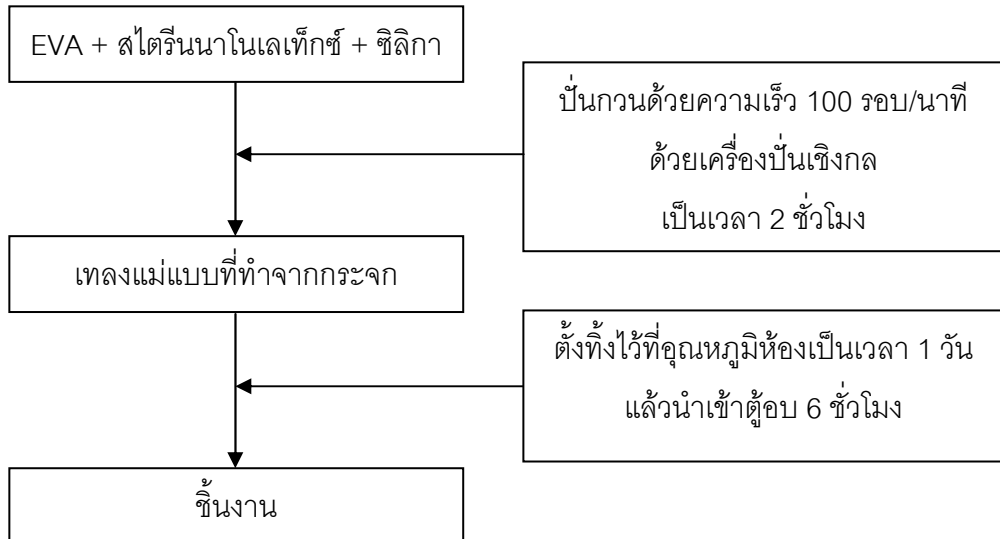
วิเคราะห์สัณฐานวิทยาของพอลลิสไตรีนที่มีอนุภาคขนาดนาโนเมตรด้วยกล้องจุลทรรศน์อิเล็กtronแบบส่องผ่าน (Transmission Electron Microscope (TEM) รุ่น JEOL JEM-1230) (รูปที่ 3.5) ซึ่งดำเนินการที่ 80 kV โดยทำการเจือจางนาโนเดเท็กซ์ด้วยน้ำกลั่นจนมีความเข้มข้นประมาณ 0.1-0.5 wt% ก่อนวางตัวอย่างลงบนคوبเปอร์กริด และจึงแต้มด้วยมูรานิลแอซีเตต (uranyl acetate) ทับลงไป เพื่อทำให้พอลลิเมอร์สามารถเกิดปฏิกิริยากับแสงอิเล็กtronได้



รูปที่ 3.5 เครื่องTransmission Electron Microscope (TEM) รุ่น JEOL JEM-1230

3.4.4 การเตรียมวัสดุไอบริดของอีวีเอ/พอลิสไตรีนขนาดนาโน/นาโนซิลิกา

ขั้นตอนการเตรียมวัสดุไอบริดของอีวีเอ/พอลิสไตรีนขนาดนาโน/นาโนซิลิกาแสดงไว้ในรูปที่ 3.6 โดยปริมาณของสารที่ใช้แสดงไว้ในตารางที่ 3.2



รูปที่ 3.6 ขั้นตอนการเตรียมวัสดุไอบริดของอีวีเอ/พอลิสไตรีนขนาดนาโน/นาโนซิลิกา

ตารางที่ 3.2 ปริมาณสารที่ใช้เตรียมวัสดุไอบริดของอีวีเอ/พอลิสไตรีนขนาดนาโน/นาโนซิลิกา

| สูตร | ปริมาณอีวีเอ เล็กซ์(กรัม) | ปริมาณ พอลิสไตรีน นาโนเล็กซ์(กรัม) | ปริมาณนาโนซิลิกา (กรัม) |
|----------------------|------------------------------|--|----------------------------|
| EVA100 | 100 | - | - |
| EVA100/0.1silica | 100 | - | 0.1 |
| EVA100/0.5silica | 100 | - | 0.5 |
| 90EVA/10PS | 78 | 22 | - |
| 90EVA/10PS/0.1silica | 78 | 22 | 0.1 |
| 90EVA/10PS/0.5silica | 78 | 22 | 0.5 |
| 80EVA/20PS | 62 | 38 | - |
| 80EVA/20PS/0.1silica | 62 | 38 | 0.1 |
| 80EVA/20PS/0.5silica | 62 | 38 | 0.5 |

ตารางที่ 3.2(ต่อ)

| สูตร | ปริมาณ อีวีเอ เลเท็กซ์(กรัม) | ปริมาณ พอลิสไตรีน นาโนเลเท็กซ์(กรัม) | ปริมาณนาโนชิลิกา (กรัม) |
|----------------------|---------------------------------|--|----------------------------|
| 70EVA/30PS | 48 | 52 | - |
| 70EVA/30PS/0.1silica | 48 | 52 | 0.1 |
| 70EVA/30PS/0.5silica | 48 | 52 | 0.5 |
| 60EVA/40PS | 37.5 | 62.5 | - |
| 60EVA/40PS/0.1silica | 37.5 | 62.5 | 0.1 |
| 60EVA/40PS/0.5silica | 37.5 | 62.5 | 0.5 |

การเตรียมชิ้นงานของวัสดุไอบริดของอีวีเอ/พอลิสไตรีนขนาดนาโน/นาโนชิลิกา ทำโดยนำนาโนเลเท็กซ์ของสไตรีนมาผสานกับอิมัลชันของอีวีเอ (solid content 55 wt%) ตามอัตราส่วนในตารางที่ 3.2 โดยการให้เข้ากันด้วยเครื่องปั่นเชิงกลที่ความเร็ว 100 รอบต่อนาทีเป็นเวลา 2 ชั่วโมง จากนั้นเหลงในแม่แบบขนาด $20 \times 20 \times 0.15$ เซนติเมตร ดังรูปที่ 3.7 ตั้งทิ้งไว้ที่อุณหภูมิห้องเป็นเวลา 24 ชั่วโมง แล้วทำการอบที่อุณหภูมิ 60 องศาเซลเซียส เป็นเวลา 6 ชั่วโมง จะได้ชิ้นงานเพื่อทดสอบต่อไป



รูปที่ 3.7 แม่พิมพ์กระดาษขนาด $20 \times 20 \times 0.15$ เซนติเมตร

3.4.5 การวิเคราะห์และทดสอบวัสดุไออกบอเด็กซ์/พอลิสไตรีนขนาดนาโน/นาโนซิลิกา

3.4.5.1 สมบัติด้านความทันแรงดึง (Tensile properties)

ทดสอบสมบัติด้านความทันแรงดึงของวัสดุวัสดุไออกบอเด็กซ์/พอลิสไตรีนขนาดนาโน/นาโนซิลิกา เครื่อง Universal Testing Machine รุ่น LLOYD LR 100K ตั้งแสดงในรูปที่ 3.8 โดยใช้ระยะดึง (gauge length) 65 มิลลิเมตร Load cell 100 N และความเร็วในการดึงเท่ากับ 50 มิลลิเมตร/นาที



รูปที่ 3.8 เครื่อง Universal Testing Machine รุ่น LLOYD LR 100K

3.4.5.2 สัณฐานวิทยา (Morphology)

ตรวจสอบสัณฐานวิทยาของวัสดุไออกบอเด็กซ์ด้วยกล้องจุลทรรศน์อิเล็กtronแบบส่องผ่าน (Scanning Electron Microscope (SEM) รุ่น JEOL JSM-5410LV) (รูปที่ 3.9) ซึ่งดำเนินการที่ 80 kV โดยเตรียมชิ้นงานให้มีขนาด 1×2 เซนติเมตร จุ่มในโตเจนเหลว หลังจากนั้นหักครึ่งชิ้นงาน แล้วทำการเคลือบชิ้นงานด้วยทองก่อนทำการตรวจสอบ



รูปที่ 3.9 เครื่อง Scanning Electron Microscope รุ่น JEOL JSM-5410LV

3.4.5.3 วิเคราะห์เสถียรภาพทางความร้อน (Thermal stability)

วิเคราะห์เสถียรภาพทางความร้อนของวัสดุโดยวิธีด้วยเครื่อง Thermogravimetric Analyzer (TGA) รุ่น METTLER TOLEDO TGA/SDTA 851^e (รูปที่ 3.10) โดยนำชิ้นงานที่มีน้ำหนักประมาณ 8 มิลลิกรัม ใส่ถาดอะลูминิ婇 โดยใช้ภาวะทดลองเริ่มจากอุณหภูมิ 50 องศาเซลเซียส ถึง 1000 องศาเซลเซียส อัตราการเพิ่มความร้อน 20 องศาเซลเซียส/นาที ทำการทดสอบภายใต้ภาวะของแก๊สไนโตรเจน



รูปที่ 3.10 เครื่อง Thermogravimetric Analyzer รุ่น METTLER TOLEDO TGA/SDTA 851^e

3.3.5.4 วิเคราะห์สมบัติเชิงกลพลวัต (Dynamic mechanical analysis)

วิเคราะห์สมบัติเชิงกลพลวัตของวัสดุไบบริดด้วยเครื่อง Dynamic Mechanical Analysis (DMA) รุ่น METTLER TOLEDO TGA/SDTA 851[°] (รูปที่ 3.11) โดยใช้ compress mode เตรียมชิ้นงานขนาด 1×1 เซนติเมตร ใช้ภาวะทดสอบเริ่มจากอุณหภูมิ -60 องศาเซลเซียส ถึง 140 องศาเซลเซียส อัตราการเพิ่มความร้อน 3 องศาเซลเซียส/นาที ที่ความถี่ 1 Hz



รูปที่ 3.11 เครื่อง Dynamic Mechanical Analysis รุ่น METTLER TOLEDO DMA/SDTA 861[°]

บทที่ 4

ผลการทดลองและวิจารณ์ผลการทดลอง

4.1 ลักษณะของพอลิสไตรีนนาโนเล็กซ์

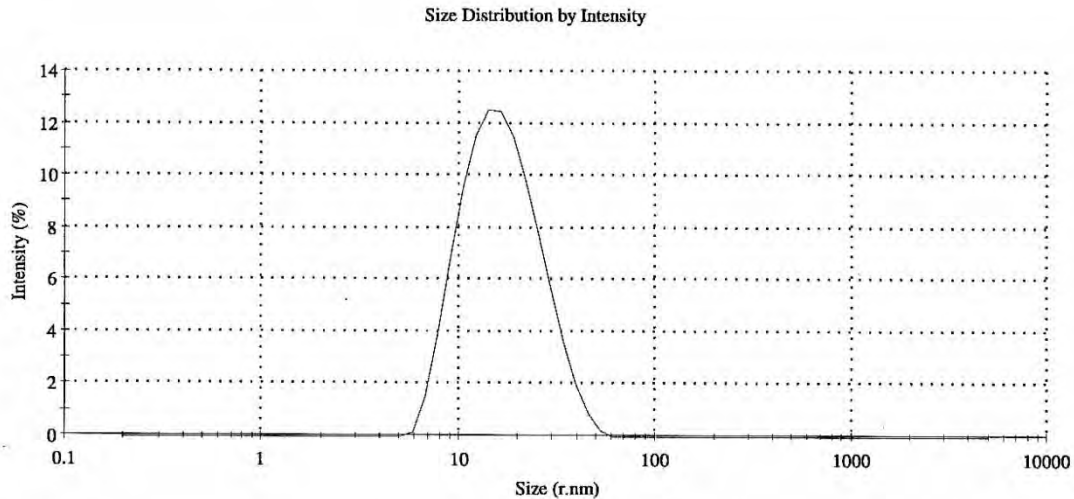
พอลิสไตรีนนาโนเล็กซ์ที่สังเคราะห์ได้จากการบวนการดิฟเฟอเรนเชียลไมโครอิมัลชัน พอลิเมอไรเซ็น มีลักษณะเป็นของเหลวสีขาวขุ่น ดังแสดงในรูปที่ 4.1



รูปที่ 4.1 นาโนเล็กซ์ของพอลิสไตรีน

4.2 ร้อยละผลได้ (% yield) ร้อยละของแข็ง (%solid) และขนาดอนุภาคของพอลิสไตรีน

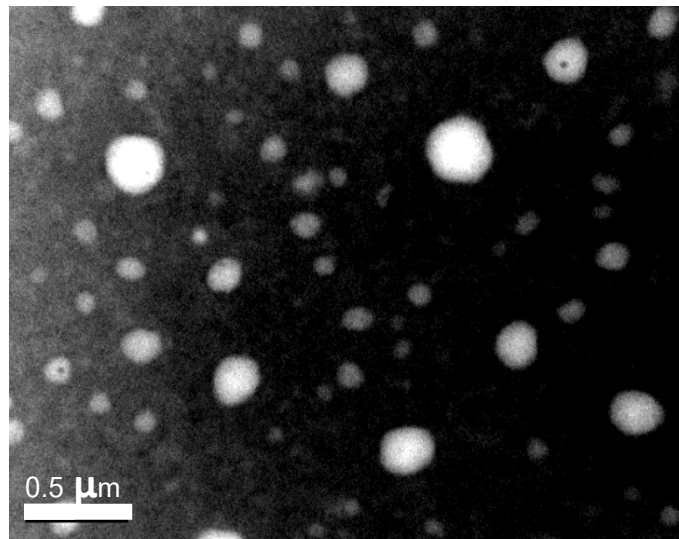
ร้อยละผลได้ และร้อยละของแข็งของพอลิสไตรีนนาโนเล็กซ์ที่เตรียมได้จากกระบวนการเกิดพอลิเมอร์แบบดิฟเฟอเรนเชียลไมโครอิมัลชันที่ใช้ SDS 8 กวัม AIBN 0.12 กวัม และสไตรีนมอนومอร์ 22.5 มิลลิลิตร มีค่าเท่ากับ 95.6 และ 22 ตามลำดับ โดยพอลิสไตรีนที่สังเคราะห์ได้มีขนาดอนุภาคเฉลี่ยประมาณ 15.06 นาโนเมตร และการกระจายขนาดอนุภาคที่วิเคราะห์ด้วยเครื่องวิเคราะห์การกระจัดเจิงแบบพลวัต (Dynamic Light Scattering Analyzer, DLS) รุ่น Nano-series ZX แสดงไว้ในรูปที่ 4.2



รูปที่ 4.2 การกระจายขนาดของพอลิสไตรีนที่มีอนุภาคขนาดนาโนเมตรที่สั่งเคราะห์
จากกระบวนการเกิดพอลิเมอร์แบบดิฟเฟอเรนเชียลไมโครอิมัลชัน

4.3 สัณฐานวิทยาของพอลิสไตรีนที่มีขนาดอนุภาคขนาดนาโนเมตร

สัณฐานวิทยาของพอลิสไตรีนที่มีอนุภาคขนาดนาโนเมตรจากการตรวจสอบด้วยกล้องจุลทรรศน์อิเล็กตรอนแบบส่องผ่าน (TEM) แสดงไว้ในรูปที่ 4.2 พบว่า พอลิสไตรีนที่สั่งเคราะห์ได้มีลักษณะเป็นอนุภาคทรงกลม

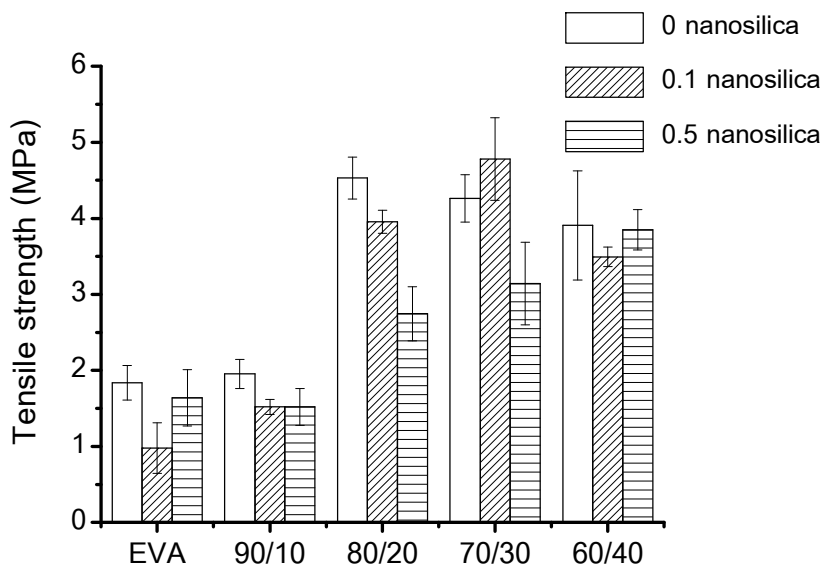


รูปที่ 4.2 สัณฐานวิทยาของพอลิสไตรีนที่มีอนุภาคขนาดนาโนเมตรที่กำลังขยาย 3000 เท่า

4.4 สมบัติเชิงกลของวัสดุไอบริดของอีวีเอ/พอลิสไตรีนขนาดนาโน/นาโนซิลิกา

4.4.1 ความทนแรงดึง (Tensile strength)

ค่าความทนแรงดึงของอีวีเอบริสุทธิ์ พอลิเมอร์พสม (อีวีเอ/พอลิสไตรีนขนาดนาโน) และวัสดุไอบริด (อีวีเอ/พอลิสไตรีนขนาดนาโน/นาโนซิลิกา) ที่ขึ้นรูปโดยวิธีการหล่อเป็นแผ่นในแม่แบบที่ทำจากกระเจก แล้วนำมารัดเป็นชิ้นทดสอบรูปดัมเบลล์ได้แสดงไว้ในรูปที่ 4.3



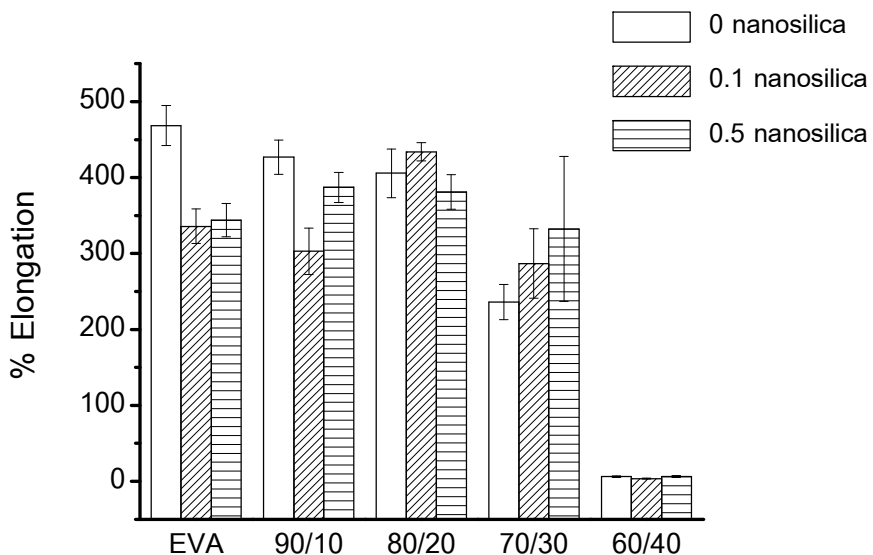
รูปที่ 4.3 ความทนแรงดึงของอีวีเอบริสุทธิ์ พอลิเมอร์พสม (อีวีเอ/พอลิสไตรีนขนาดนาโน) และวัสดุไอบริด (อีวีเอ/พอลิสไตรีนขนาดนาโน/นาโนซิลิกา)

จากรูปจะเห็นได้ว่า เมื่อพสมพอลิสไตรีนที่มีอนุภาคขนาดนาโนเมตรกับอีวีเอ ค่าความทนแรงดึงของพอลิเมอร์พสมสูงกว่าของอีวีเอบริสุทธิ์ และมีแนวโน้มสูงขึ้นตามปริมาณของพอลิสไตรีนที่เพิ่มขึ้น จนกระทั่งมีค่าสูงสุดที่อัตราส่วนของอีวีเอ/พอลิสไตรีนขนาดนาโน เท่ากับ 80/20 การที่ขึ้นงานมีความทนแรงดึงเพิ่มขึ้น แสดงว่าพอลิสไตรีนที่มีอนุภาคขนาดนาโนเมตรได้เสริมแรงให้กับอีวีเอและสามารถกระจายตัวได้ดีในเมทริกซ์ของอีวีเอ แต่เมื่อใส่พอลิสไตรีนอนุภาคขนาดนาโนเพิ่มขึ้น (70EVA/30PS และ 60EVA/40PS) พบว่า ความทนแรงดึงมีค่าค่อนข้างลดลง อาจเนื่องจาก การเกาะกันเป็นกลุ่มก้อน (aggregation) ของพอลิสไตรีนที่มีอนุภาคขนาดนาโนเมตรนอกจากนี้ยังพบว่าการใส่นาโนซิลิกาในอีวีเอบริสุทธิ์ และในพอลิเมอร์พสมปริมาณ 0.1 และ 0.5 phr ไม่ได้มี

ผลในการ測試แรงให้กับอีวีเอและพอลิเมอร์ผสมแต่ละอัตราส่วน และยังทำให้ความหนาแรงดึงลดลง อีกด้วย การที่ความหนาแรงดึงลดลงอาจเนื่องจากอนุภาคนาโนซิลิกากระจายตัวได้ไม่ดีในพอลิเมอร์เมทริกซ์ เพราะพื้นผิวของนาโนซิลิกามีหมุนซีลานอล (Si-OH) เป็นจำนวนมาก และอนุภาคมีพื้นที่ผิวสูงมาก จึงทำให้จับตัวเป็นกลุ่มก้อนได้ง่าย และยิ่งใส่จำนวนมากยิ่งมีแนวโน้มที่จะเกะกันเป็นกลุ่มก้อนมากขึ้น ส่งผลให้สมบติความหนาแรงดึงลดลง อย่างไรก็ตาม ความหนาแรงดึงอาจได้รับการปรับปรุงบ้างเล็กน้อยจากการใส่อนุภาคนาโนซิลิกาในพอลิเมอร์ผสม 70EVA/30PS ปริมาณ 0.1phr ซึ่งถ้าใส่ปริมาณมากก็ให้ผลเช่นเดียวกัน คือ ความหนาแรงดึงกลับลดลง

4.4.2 เปอร์เซ็นต์การยืดตัว ณ จุดขาด (% Elongation at break)

ค่าเปอร์เซ็นต์การยืดตัว ณ จุดขาด ของอีวีเอบริสุทธิ์ พอลิเมอร์ผสม (อีวีเอ/พอลิสไตรีนขนาดนาโน) และวัสดุไอบริด (อีวีเอ/พอลิสไตรีนขนาดนาโน/นาโนซิลิกา) แสดงไว้ในรูปที่ 4.4



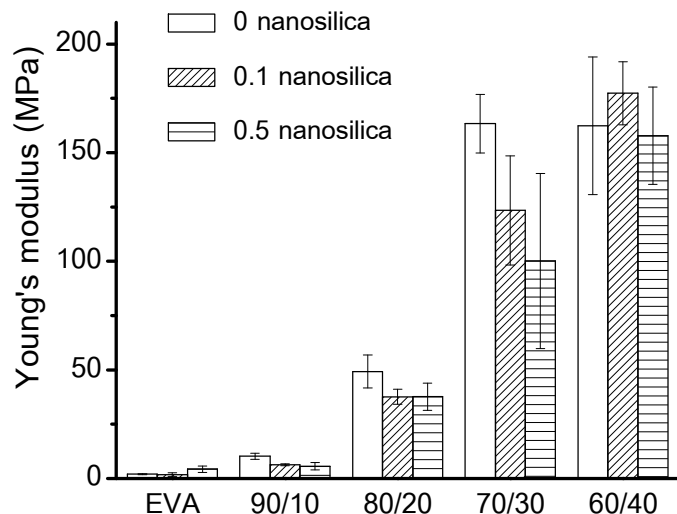
รูปที่ 4.4 เปอร์เซ็นต์การยืดตัว ณ จุดขาด ของอีวีเอบริสุทธิ์ พอลิเมอร์ผสม (อีวีเอ/พอลิสไตรีนขนาดนาโน) และวัสดุไอบริด (อีวีเอ/พอลิสไตรีนขนาดนาโน/นาโนซิลิกา)

จากรูปที่ 4.4 พบร่วมกันว่า การเติมพอลิสไตรีนอนุภาคขนาดนาโนเมตรลงในอีวีเอ มีผลทำให้ชั้นงานที่เต็รีมได้มีเปอร์เซ็นต์การยืดตัว ณ จุดขาด ค่อยๆ ลดลงตามปริมาณของพอลิสไตรีนที่เพิ่มขึ้น และลดลงอย่างเห็นได้ชัดในพอลิเมอร์ผสม 70EVA/30PS และ 60EVA/40PS ทั้งนี้เนื่อง

จากอนุภาคของพอลิสไตรีนขัดขวางการเคลื่อนที่ของโมเลกุลของอีวีเอ และยิ่งใส่ในปริมาณมากจะเพิ่มการจับตัวเป็นกลุ่มก้อนของพอลิสไตรีน ก็ยิ่งมีผลขัดขวางการเคลื่อนที่ของโมเลกุลของอีวีเอ นอกจากนี้ ยังเป็นผลมาจากการที่พอลิสไตรีนเป็นพอลิเมอร์ที่มีความเปราะและสามารถยืดตัวได้很多มาก นอกจากนี้ การใส่นาโนซิลิกาในอีวีเอบริสท์ และในพอลิเมอร์ผสมปริมาณ 0.1 และ 0.5 phr ไม่ได้มีผลทำให้เปอร์เซ็นต์การยืดตัว ณ จุดขาด ของพอลิเมอร์ผสมเพิ่มขึ้น ยกเว้นในสูตรของพอลิเมอร์ผสม 80EVA/20PS และ 70EVA/30PS ที่อาจมีการปรับปรุงเปอร์เซ็นต์การยืดตัว ณ จุดขาด ได้บ้าง ทั้งนี้อาจเป็นเพราะมีช่องว่างระหว่างกลุ่มก้อนของพอลิสไตรีนและนาโนซิลิกาที่ไม่มีขันตัวกันและกัน จึงทำให้มีปริมาตรเสรี (free volume) ในพอลิเมอร์เมทริกซ์เพิ่มขึ้น มีผลทำให้โมเลกุลของอีวีเอสามารถเคลื่อนไหวได้ง่ายขึ้น เปอร์เซ็นต์การยืดตัว ณ จุดขาดของชิ้นงานจึงเพิ่มขึ้น

4.4.3 ยั่งสมอดุลัส (Young's modulus)

ค่า-yังสมอดุลัสของอีวีเอบริสท์ พอลิเมอร์ผสม (อีวีเอ/พอลิสไตรีนขนาดนาโน) และวัสดุไฮบริด (อีวีเอ/พอลิสไตรีนขนาดนาโน/นาโนซิลิกา) แสดงไว้ในรูปที่ 4.5



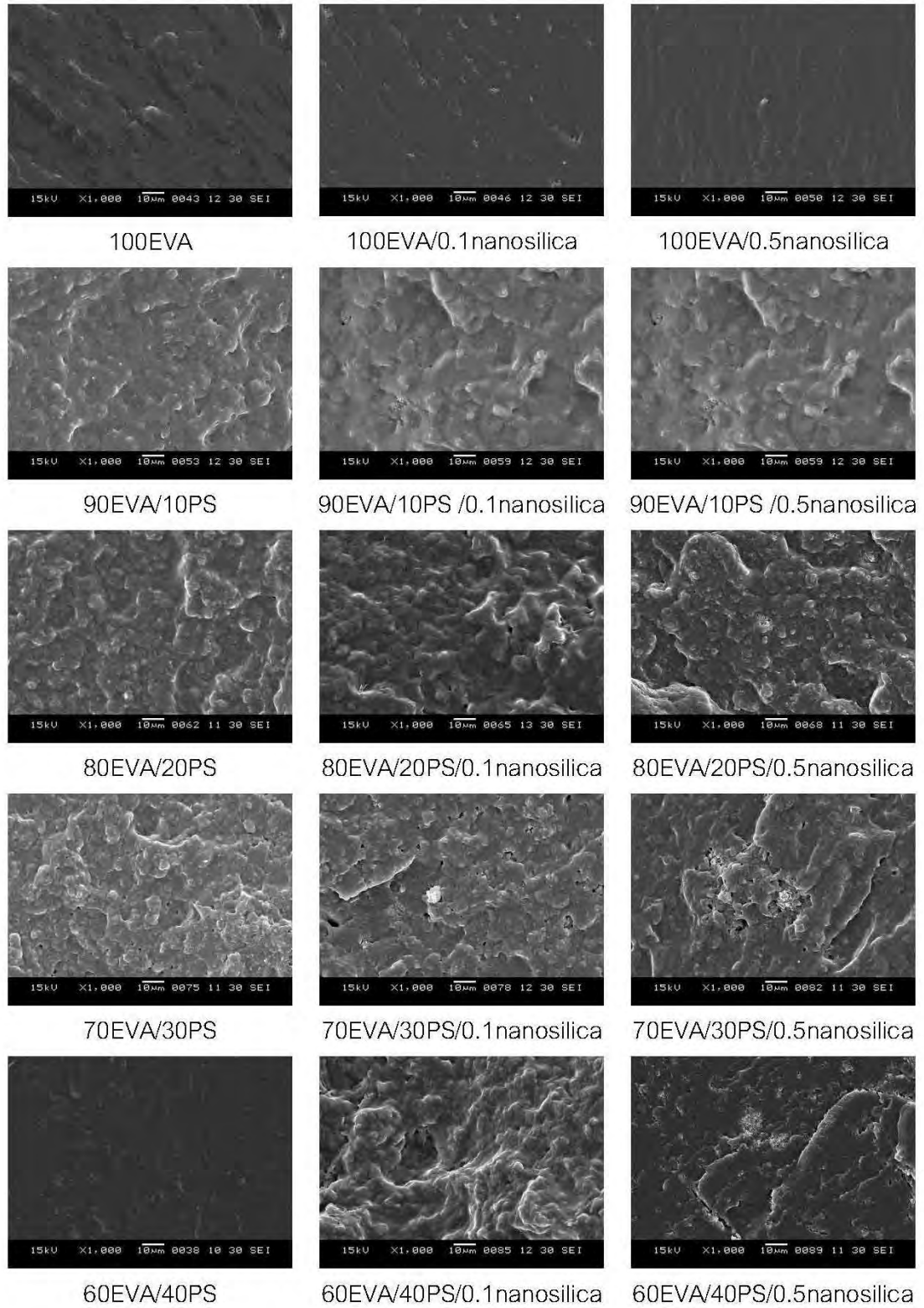
รูปที่ 4.5 ยั่งสมอดุลัสของอีวีเอบริสท์ พอลิเมอร์ผสม (อีวีเอ/พอลิสไตรีนขนาดนาโน) และวัสดุไฮบริด (อีวีเอ/พอลิสไตรีนขนาดนาโน/นาโนซิลิกา)

จากรูปที่ 4.5 แสดงให้เห็นว่าการเติมพอลิสไตรีนนุภาคขนาดนาโนเมตรลงในอีวีเอมีผลทำให้ชั้นงานมีค่ายังสมอดุลสสูงขึ้นตามปริมาณพอลิสไตรีนที่เพิ่มขึ้นอย่างเห็นได้ชัด ทั้งนี้เนื่องจากอนุภาคของพอลิสไตรีนมีความแข็งตึง (stiffness) มากกว่าอีวีเอ จึงชัดข่าวางการเคลื่อนที่ของโมเลกุลของอีวีเอ ดังนั้น การใส่พอลิสไตรีนอนุภาคขนาดนาโนเมตรสามารถป้องกันค่ายังสมอดุลสของชั้นงานให้สูงขึ้น และมีความคงทนมากขึ้น อย่างไรก็ตาม การใส่นาโนซิลิกาในพอลิเมอร์ผสมกลับมีผลทำให้ยังสมอดุลสมค่าลดลง ทั้งนี้อาจเนื่องจากการมีปริมาตรเสริมเพิ่มขึ้น ดังที่ได้กล่าวมาแล้ว ที่ทำให้โมเลกุลของอีวีเอเคลื่อนไหวได้จำกัดขึ้น

4.5 สัณฐานวิทยา (Morphology)

สัณฐานวิทยาของอีวีเอบริสุทธิ์ พอลิเมอร์ผสม (อีวีเอ/พอลิสไตรีนขนาดนาโน) และวัสดุไฮบริด (อีวีเอ/พอลิสไตรีนขนาดนาโน/นาโนซิลิกา) ที่ตรวจสอบด้วยกล้องจุลทรรศน์อิเล็กtron แบบส่องกราด (SEM) แสดงไว้ในรูปที่ 4.6

จากรูปแสดงให้เห็นว่าอีวีเอบริสุทธิ์ และอีวีเอที่เติมนากอนซิลิกาแสดงสัณฐานวิทยาของรอยแตกหักของวัสดุที่มีความหนึ่งเดียว กล่าวคือ มีสันเตี้ยๆ คล้ายคลื่น ส่วนสัณฐานวิทยาของพอลิเมอร์ผสม พบว่า เมื่อใส่พอลิสไตรีนอนุภาคขนาดนาโนเมตรในอีวีเอทำให้เห็นความหยาบของรอยแตกหัก และโดเมน (domain) ที่ใหญ่ขึ้น รวมทั้งมีรูพรุนเล็กกระจาบอยู่ทั่วไปเกิดจากการหลุดออกของพอลิสไตรีนเมื่อทำการหักชั้นงานภายใต้ในต่อเจนเหลว และเมื่อปริมาณพอลิสไตรีนเพิ่มเป็น 40 ส่วน ในพอลิเมอร์ผสม 60EVA/40PS พบว่า สัณฐานวิทยาของรอยแตกค่อนข้างเรียบชี้แสดงถึงการมีรอยแตกของวัสดุที่มีความเปลวะ และภายในห้องจากเติมนากอนซิลิกาเข้าไปในพอลิเมอร์ผสม พบว่า มีการเกะกะลุ่มของนาโนซิลิกาและการแยกเฟส แต่ยังมีรอยแตกหักของวัสดุที่มีความหนึ่งเดียว ยกเว้นวัสดุไฮบริด 60EVA/40PS/0.5nanosilica ที่มีพื้นผิวที่เรียบและมีรอยแตก (crack) ให้เห็นได้ชัด ซึ่งแสดงรอยแตกหักของวัสดุที่มีความเปลวะ



รูปที่ 4.6 สัณฐานวิทยาของอีวีเออบริสุทธิ์ พอลิเมอร์ผสม (อีวีเอ/พอลิสไตรีนขนาดนาโน)

และวัสดุไอบริด (อีวีเอ/พอลิสไตรีนขนาดนาโน/นาโนซิลิค้า)

4.6 เสถียรภาพทางความร้อนของวัสดุไบบริด

เสถียรภาพทางความร้อนของอีวีเอบริสุทธิ์ พอลิเมอร์ผสม (อีวีเอ/พอลิสไตรีนขนาดนาโน) และวัสดุไบบริด (อีวีเอ/พอลิสไตรีนขนาดนาโน/นาโนซิลิกา) ที่ตรวจสอบด้วยเทคนิค TGA แสดงไว้ในตารางที่ 4.1

ตารางที่ 4.1 อุณหภูมิการสลายตัวของอีวีเอบริสุทธิ์ พอลิเมอร์ผสม และวัสดุไบบริด

| Blend system | Onset degradation temperature(°C) | | 50% Decomposition temperature (°C) |
|--------------------------|-----------------------------------|---------|------------------------------------|
| | Onset 1 | Onset 2 | |
| EVA | 318 | 444 | 374 |
| EVA/0.1nanosilica | 314 | 437 | 372 |
| EVA/0.5nanosilica | 312 | 437 | 370 |
| 90EVA/10PS | 316 | 435 | 385 |
| 90EVA/10PS/0.1nanosilica | 316 | 432 | 394 |
| 90EVA/10PS/0.5nanosilica | 317 | 434 | 400 |
| 80EVA/20PS | 318 | 436 | 395 |
| 80EVA/20PS/0.1nanosilica | 314 | 433 | 400 |
| 80EVA/20PS/0.5nanosilica | 314 | 432 | 404 |
| 70EVA/30PS | 319 | 432 | 434 |
| 70EVA/30PS/0.1nanosilica | 316 | 430 | 440 |
| 70EVA/30PS/0.5nanosilica | 318 | 430 | 441 |
| 60EVA/40PS | 318 | 432 | 445 |
| 60EVA/40PS/0.1nanosilica | 327 | 431 | 447 |
| 60EVA/40PS/0.5nanosilica | 331 | 431 | 448 |
| PS | 413 | | 432 |

จากตารางที่ 4.1 เมื่อพิจารณาอุณหภูมิของการสลายตัวของอีวีเอ พบว่ามีอุณหภูมิการสลายตัวเป็น 2 ช่วง ช่วงแรกเป็นการสลายตัวของหมู่แอนไซเทตที่อุณหภูมิประมาณ 318 °C ช่วงที่สองเป็นการสลายตัวของสายโซ่เชิงลีนที่อุณหภูมิประมาณ 444 °C และมีอุณหภูมิการสลายตัว

ที่ 50 เปอร์เซ็นต์ที่อุณหภูมิ 374°C พบร่วมกับการเติมนาโนซิลิกาลงไปในอีวีเอ มีผลทำให้อุณหภูมิการสลายตัวของอีวีเอต่ำลง เนื่องจากนาโนซิลิกาที่เติมลงไปมีการเกาะกันเป็นกลุ่มก้อนจึงทำให้กระจายตัวในอีวีเอเมทริกซ์ได้ไม่ดี เมื่อพิจารณาพอลิเมอร์ผสม อุณหภูมิการสลายตัวทั้งสองช่วงมีการเปลี่ยนแปลงไม่มากนัก แต่อุณหภูมิการสลายตัวที่ 50 เปอร์เซ็นต์สูงขึ้น แสดงว่าการเติมพอลิสไตรีนขนาดนาโนเป็นการเพิ่มเสถียรภาพทางความร้อนให้กับพอลิเมอร์ผสม และเมื่อเติมนาโนซิลิกา พบร่วมกับอุณหภูมิการสลายตัวที่ 50 เปอร์เซ็นต์ของวัสดุไอบริดมีค่าสูงขึ้น เนื่องจากพอลิสไตรีนเป็นพอลิเมอร์ที่มีอุณหภูมิการสลายตัวที่สูงกว่าอีวีเอ รวมทั้งนาโนซิลิกาเป็นสารอนินทรีย์ที่มีค่าการสลายตัวสูง จึงอาจถ้าได้ว่าทั้งพอลิสไตรีนอนุภาคขนาดนาโนและนาโนซิลิกาสามารถเพิ่มเสถียรภาพทางความร้อนให้กับอีวีเอได้

4.7 สมบัติเชิงกลพลวัต

สมบัติเชิงกลพลวัตของอีวีเอไอบริสุทธิ์ พอลิเมอร์ผสม (อีวีเอ/พอลิสไตรีนขนาดนาโน) และวัสดุไอบริด (อีวีเอ/พอลิสไตรีนขนาดนาโน/นาโนซิลิกา) ที่วิเคราะห์ด้วยเทคนิค DMA ชี้แจงนำเสนอค่าการสหานซีซันดังแสดงไว้ในตารางที่ 4.2

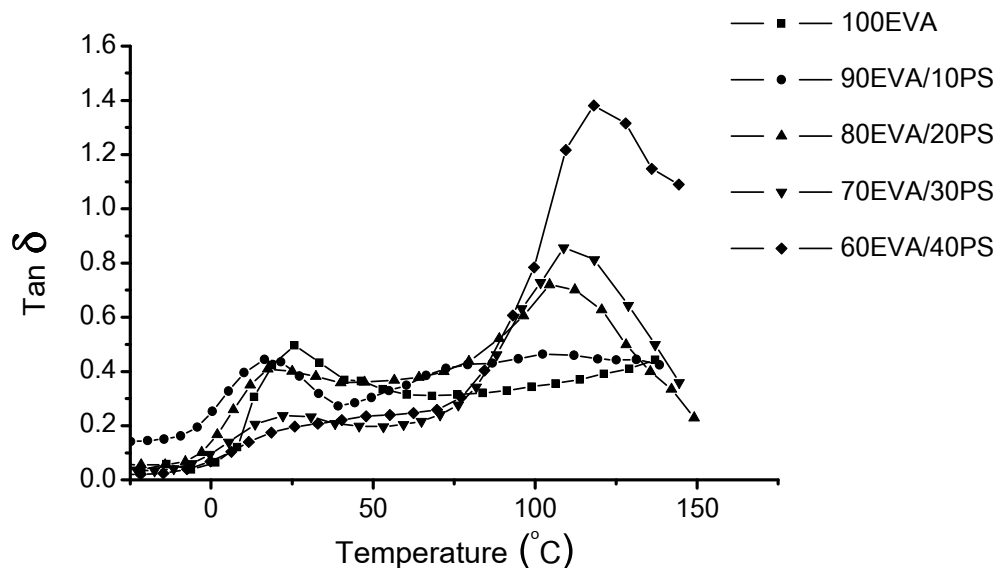
ตารางที่ 4.2 อุณหภูมิการสหานซีซันของอีวีเอไอบริสุทธิ์ พอลิเมอร์ผสม และวัสดุไอบริด

| Blend system | Glass Transition Temperature ($^{\circ}\text{C}$) of EVA | Glass Transition Temperature ($^{\circ}\text{C}$) of PS |
|--------------------------|--|---|
| EVA | 25 | - |
| EVA/0.1nanosilica | 31 | - |
| EVA/0.5nanosilica | 40 | - |
| 90EVA/10PS | 16 | 103 |
| 90EVA/10PS/0.1nanosilica | 17 | 110 |
| 90EVA/10PS/0.5nanosilica | 19 | 98 |
| 80EVA/20PS | 17 | 105 |
| 80EVA/20PS/0.1nanosilica | 18 | 110 |
| 80EVA/20PS/0.5nanosilica | 19 | 100 |

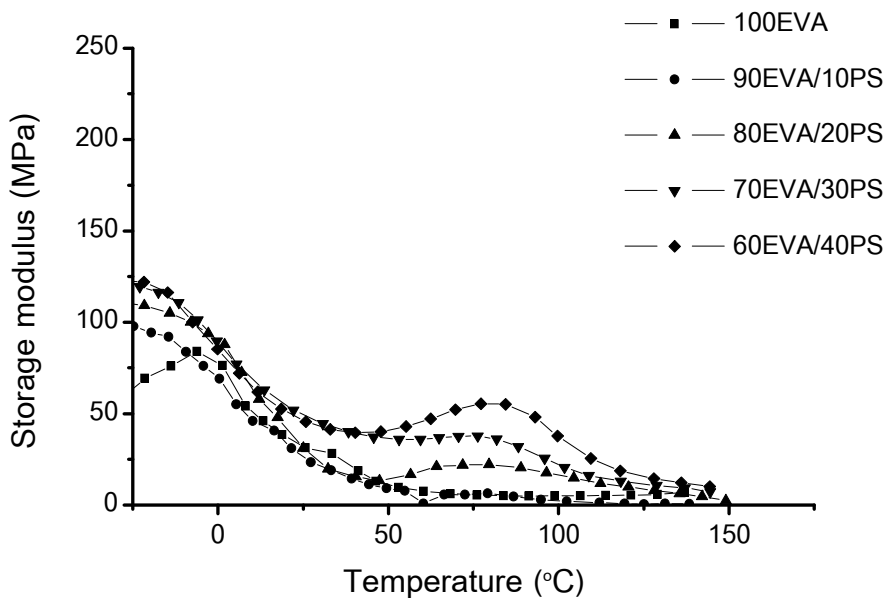
ตาราง 4.2(ต่อ)

| Blend system | Glass Transition Temperature (°C) of EVA | Glass Transition Temperature (°C) of PS |
|--------------------------|--|---|
| 70EVA/30PS | 27 | 109 |
| 70EVA/30PS/0.1nanosilica | 28 | 112 |
| 70EVA/30PS/0.5nanosilica | 28 | 114 |
| 60EVA/40PS | 38 | 119 |
| 60EVA/40PS/0.1nanosilica | 25 | 110 |
| 60EVA/40PS/0.5nanosilica | 25 | 115 |

เทอร์โมแกรมของค่ามอดูลัสสัม (storage modulus, E') และ loss tangent ($\tan\delta$) เป็นพังก์ชันกับอุณหภูมิได้นำเสนอไว้ในรูปที่ 4.7-4.18

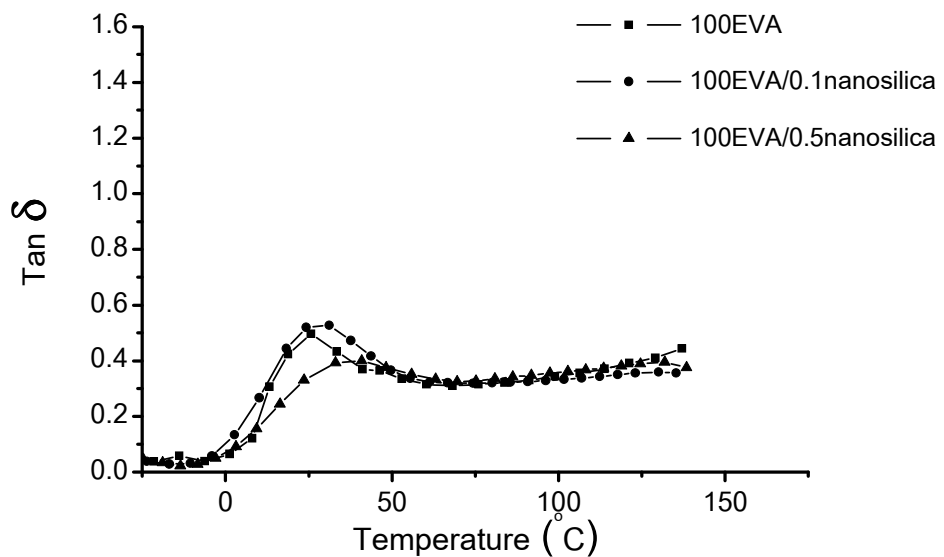


รูปที่ 4.7 Loss tangent ของอีวีเอและพอลิเมอร์ฟลัฟฟ์อีวีเอ/พอลิสไตรีนเป็นพังก์ชันกับอุณหภูมิ

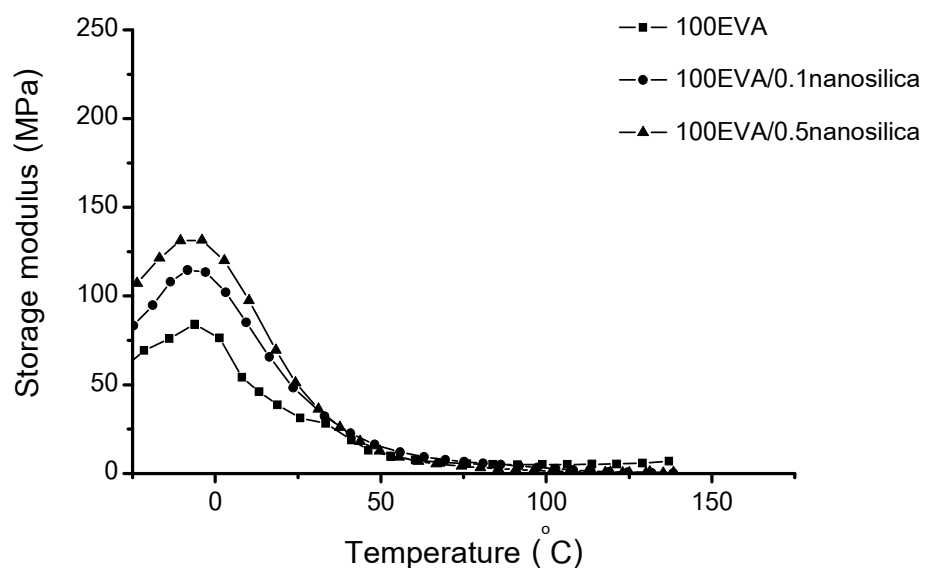


รูปที่ 4.8 มอดูลัสสัม狐ของอีวีเอและพอลิเมอร์ฟลูอิดีวีเอ/พอลิสไตรีนเป็นฟังก์ชันกับอุณหภูมิ

จากรูปที่ 4.7 แสดงให้เห็นว่าอีวีเอบริสุทธิ์มีอุณหภูมิกลางแทรกซึชัน (T_g) ประมาณ 25°C และเมื่อใส่พอลิสไตรีนที่มีอุณหภูมิกลางต่ำ (T_g) ประมาณ 10°C ไปในอีวีเอ พบว่า การใส่พอลิสไตรีนปริมาณ 10 และ 20% โดยน้ำหนัก มีผลทำให้ T_g ของอีวีเอลดลง เนื่องจากการกระจายตัวของพอลิสไตรีน ในเมทริกซ์ของอีวีเอได้ขัดขวางการจัดเรียงตัวของอีวีเอและทำให้มีปริมาตรเสรี (free volume) เพิ่มขึ้น จึงทำให้ไม่เลกุลของอีวีเอเคลื่อนไหวได้ง่ายขึ้น และเมื่อใส่พอลิสไตรีนปริมาณเพิ่มขึ้นเป็น 30 และ 40% มีผลทำให้ความเข้ากันได้และการกระจายตัวของพอลิสไตรีนในอีวีเอลดลง เนื่องจากอุณหภูมิกลางของพอลิสไตรีนเกาะกันเป็นกลุ่มก้อน (aggregate) ซึ่งขัดขวางการเคลื่อนไหว ของสายโซ่ไม่เลกุลของอีวีเอ จึงทำให้ T_g ของอีวีเอกลับเพิ่มขึ้นเล็กน้อย นอกจากนี้ ยังพบว่า T_g ของ พอลิสไตรีนในพอลิเมอร์ฟลูอิดีวีเอ มีค่าสูงขึ้นตามปริมาณของพอลิสไตรีนที่เพิ่มขึ้น และความเข้ากันได้ ของพอลิเมอร์ฟลูอิดีวีเอลดลงตามปริมาณพอลิสไตรีนที่เพิ่มขึ้น และรูปที่ 4.8 แสดงให้เห็นว่ามอดูลัส สัม狐ของชิ้นงานมีค่าเพิ่มขึ้นตามปริมาณของพอลิสไตรีนที่เพิ่มขึ้น เนื่องจากอุณหภูมิกลางของ พอลิสไตรีนมีความแข็งตึมมากกว่าอีวีเอนั้นเอง

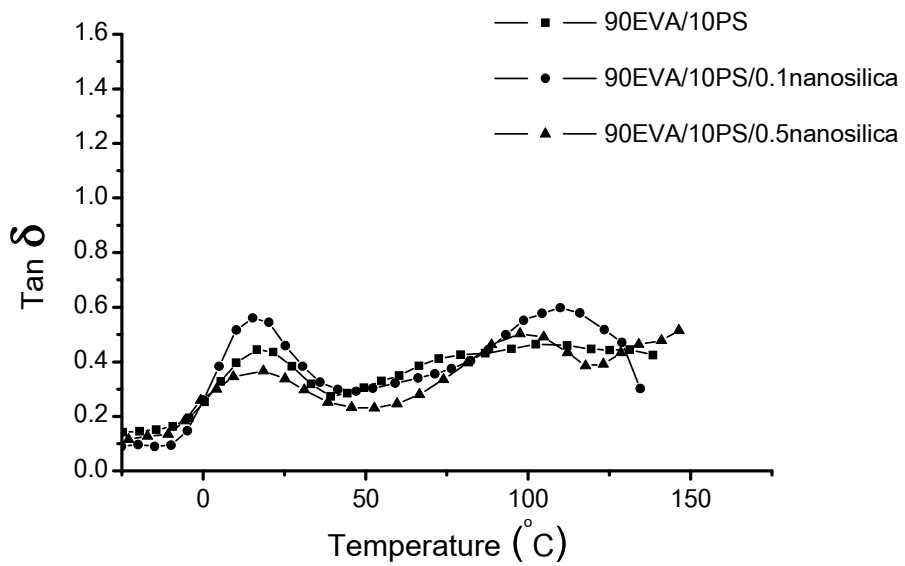


รูปที่ 4.9 Loss tangent ของอีวีเอและอีวีเอที่ใส่นาโนซิลิกา

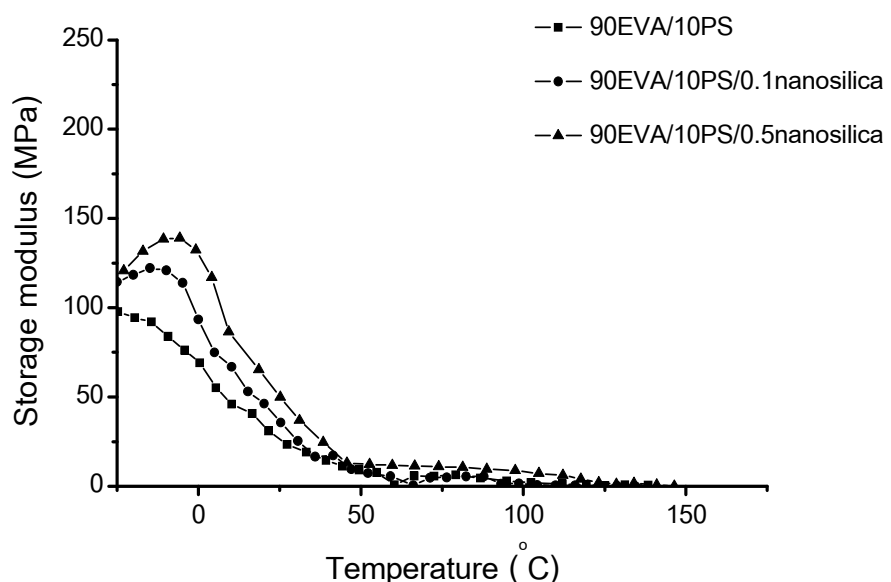


รูปที่ 4.10 มอดูลัสสัมมูลของอีวีเอและอีวีเอที่ใส่นาโนซิลิกา

รูปที่ 4.9 และ 4.10 แสดงผลของการใส่อนุภาคนาโนซิลิกาปริมาณ 0.1 และ 0.5 phr ในอีวีเอบิสุทธิ์ พบร่วมกับ T_g และมอดูลัสสัมมูลของอีวีเอในวัสดุไบบิดที่ใส่นาโนซิลิกามีค่าเพิ่มขึ้นเล็กน้อย ตามปริมาณนาโนซิลิกาที่เพิ่มขึ้น ทั้งนี้ เพราะอนุภาคนาโนซิลิกามีความแข็งตึงจึงขัดขวางการเคลื่อนไหวของสายโซ่ในเกล็ดของอีวีเอ

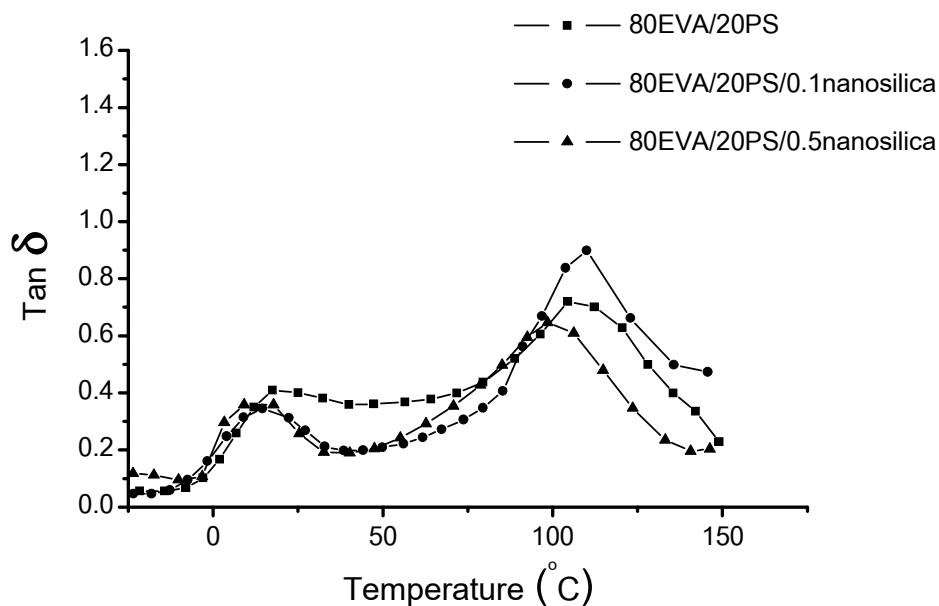


รูปที่ 4.11 Loss tangent ของพอลิเมอร์ฟัลส์อีวีเอ/พอลิสไตรีน (90/10)
และวัสดุไบบริดของอีวีเอ/พอลิสไตรีน/นาโนซิลิกา (90/10/x)



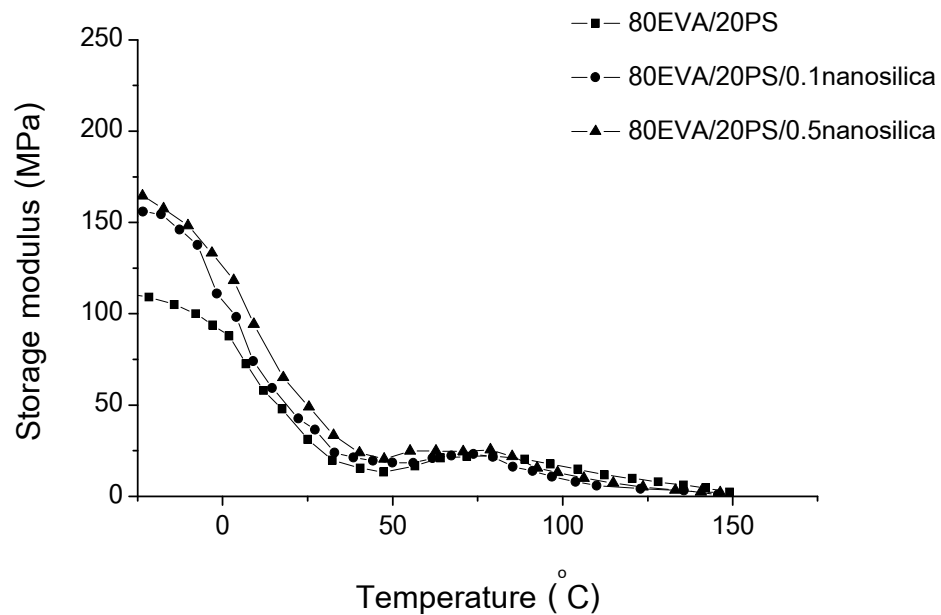
รูปที่ 4.12 มอดูลัสสั่งสมของพอลิเมอร์ฟัลส์อีวีเอ/พอลิสไตรีน (90/10)
และวัสดุไบบริดของอีวีเอ/พอลิสไตรีน/นาโนซิลิกา (90/10/x)

รูปที่ 4.11 และ 4.12 แสดงผลของการใส่อนุภาคนาโนซิลิกาปริมาณ 0.1 และ 0.5 phr ในพอลิเมอร์ฟสมอีวีเอ/พอลิสไตรีนที่มีอัตราส่วน 90/10 พบว่า T_g ของอีวีเอทั้งในพอลิเมอร์ฟสมและวัสดุไฮบริดมีค่าใกล้เคียงกัน แต่ T_g ของพอลิสไตรีนในวัสดุไฮบริดสูงกว่าในพอลิเมอร์ฟสมเล็กน้อย นอกจากนี้ มอคูลัสสะสมของอีวีเอในวัสดุไฮบริดมีค่าเพิ่มขึ้นเล็กน้อย แต่�มอคูลัสสะสมของพอลิสไตรีนแทบไม่สามารถตรวจพบได้ เพราะมีปริมาณน้อยมากเมื่อเทียบกับปริมาณของอีวีเอ



รูปที่ 4.13 Loss tangent ของพอลิเมอร์ฟสมอีวีเอ/พอลิสไตรีน (80/20)

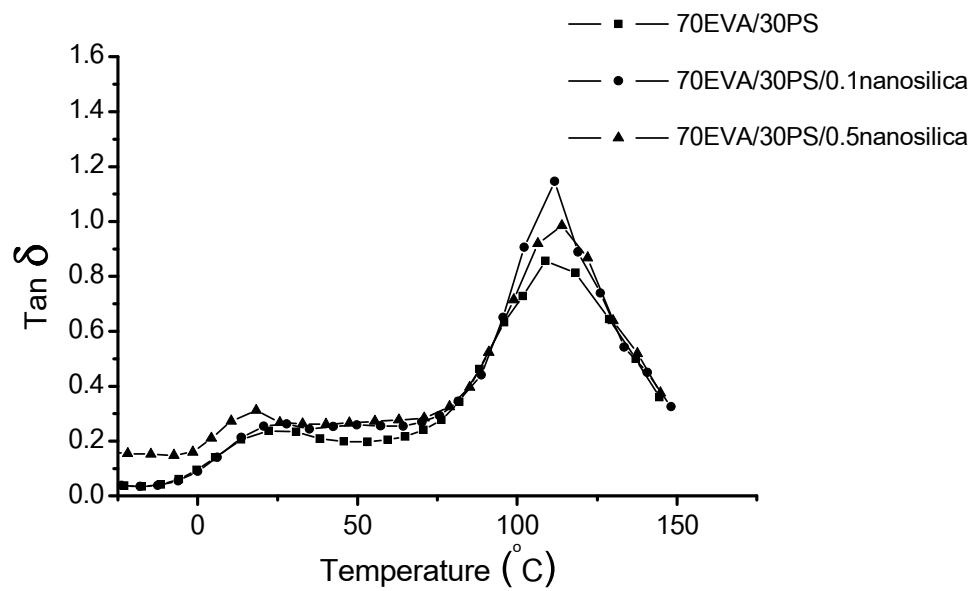
และวัสดุไฮบริดอีวีเอ/พอลิสไตรีน/นาโนซิลิกา (80/20/x)



รูปที่ 4.14 มอดูลัสสั่งสมของพอลิเมอร์ฟลูอีดีไทรีน (80/20)

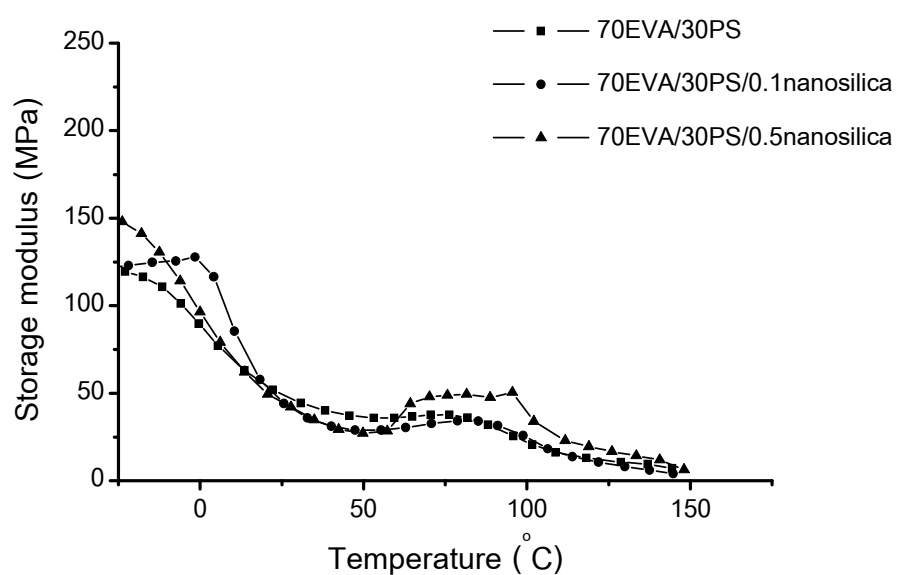
และวัสดุไบบริดของฟลูอีดีไทรีน/นาโนซิลิกา (80/20/x)

รูปที่ 4.13 และ 4.14 แสดงผลของการใส่อนุภาคนาโนซิลิกาปริมาณ 0.1 และ 0.5 phr ในพอลิเมอร์ฟลูอีดีไทรีนที่มีอัตราส่วน 80/20 พบว่า T_g ของฟลูอีดทั้งในพอลิเมอร์ฟลูอีดและวัสดุไบบริดมีค่าใกล้เคียงกัน แต่ T_g ของพอลิสไตรีนในวัสดุไบบริดสูงกว่าในพอลิเมอร์ฟลูอีดเล็กน้อย นอกจากนี้ มอดูลัสสั่งสมของฟลูอีดในวัสดุไบบริดมีค่าสูงขึ้นตามปริมาณนาโนซิลิกาที่เพิ่มขึ้นอย่างไรก็ตาม เมื่อปริมาณพอลิสไตรีนในพอลิเมอร์ฟลูอีดและวัสดุไบบริดเพิ่มขึ้น ค่ามอดูลัสสั่งสมของพอลิสไตรีนจะสามารถตรวจพบได้ แต่มีค่าไม่ต่างกันมากนัก



รูปที่ 4.15 Loss tangent ของพอลิเมอร์ผสมอีวีเอ/พอลิสไตรีน(70/30)

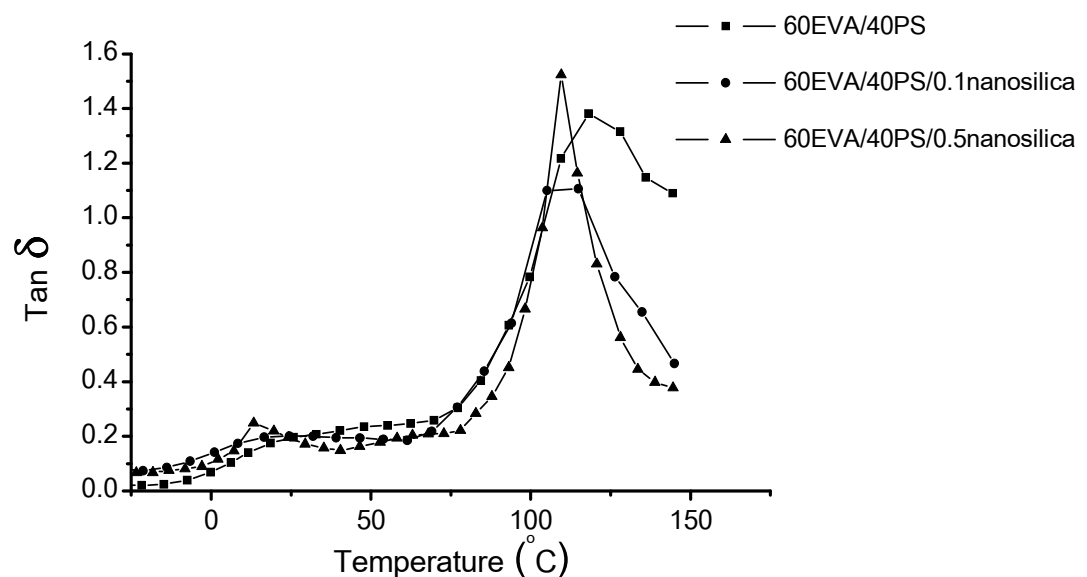
และวัสดุไอบริดของอีวีเอ/พอลิสไตรีน/นาโนซิลิกา (70/30/x)



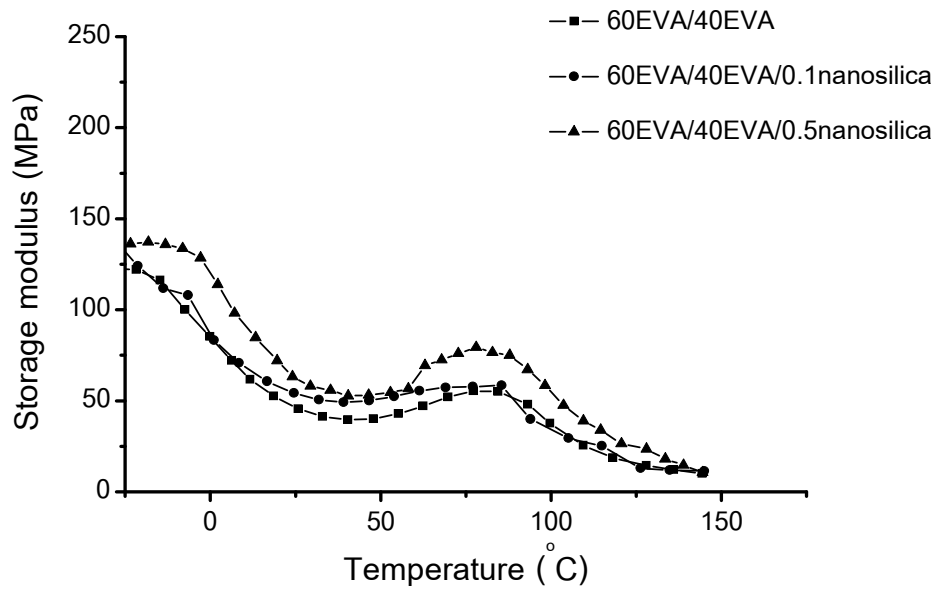
รูปที่ 4.16 modulus สะสม ของพอลิเมอร์ผสมอีวีเอ/พอลิสไตรีน(70/30)

และวัสดุไอบริดของอีวีเอ/พอลิสไตรีน/นาโนซิลิกา (70/30/x)

รูปที่ 4.15 และ 4.16 แสดงผลของการใส่อนุภาคนาโนซิลิกาปริมาณ 0.1 และ 0.5 phr ในพอลิเมอร์สมอีวีเอ/พอลิสไตรีนที่มีอัตราส่วน 70/30 พบว่า T_g ของทั้งอีวีเอและพอลิสไตรีนที่ปรากฏในพอลิเมอร์สมและวัสดุไฮบริดมีค่าใกล้เคียงกันมาก แสดงว่านาโนซิลิกาที่ใส่เข้าไปไม่มีผลต่อการเปลี่ยนแปลง T_g ของแต่ละพอลิเมอร์มากนัก หากแต่มีผลต่อมอดูลัสสะ爽ที่ทำให้มีค่าเพิ่มขึ้นเมื่อใส่นาโนซิลิกาปริมาณมากกว่า



รูปที่ 4.17 Loss tangent ของพอลิเมอร์สมอีวีเอ/พอลิสไตรีน (60/40) และวัสดุไฮบริดของอีวีเอ/พอลิสไตรีน/นาโนซิลิกา (60/40/x)



รูปที่ 4.18 มอดูลัสสระสมของพอลิเมอร์พสมอีวีเอ/พอลิสไตรีน (60/40)

และวัสดุไบบริดของอีวีเอ/พอลิสไตรีน/นาโนซิลิกา (60/40/x)

รูปที่ 4.17 และ 4.18 แสดงผลของการใส่อนุภาคนาโนซิลิกาปริมาณ 0.1 และ 0.5 phr ในพอลิเมอร์พสมอีวีเอ/พอลิสไตรีนที่มีอัตราส่วน 60/40 พบว่า T_g ของอีวีเอที่ปรากฏในพอลิเมอร์พสม และวัสดุไบบริดมีค่าใกล้เคียงกันนอกจานี้นาโนซิลิกาที่ใส่เข้าไปไม่มีผลไปเพิ่ม T_g ของพอลิสไตรีนเนื่องจากมพอลิสไตรีนมีปริมาณค่อนข้างมากเมื่อเทียบกับปริมาณนาโนซิลิกา ซึ่งนอกจากไม่เพิ่มแล้วยังอาจทำให้ T_g ของพอลิสไตรีนลดลงเล็กน้อย เพราะความสามารถในการเข้ากันได้และการกระจายตัวลดลง เนื่องจากการเกาะกลุ่มของนาโนซิลิกาในเพสของพอลิสไตรีน

บทที่ 5

สรุปผลการทดลองและข้อเสนอแนะ

5.1 สรุปผลการทดลอง

5.1.1 สามารถสังเคราะห์น้ำในเลเท็กซ์ของพอลิสไตรีนด้วยวิธีการดิฟเฟอเรนเชียลไมโคร อิมัลชันพอลิเมอร์ไวเซ็น โดยมีร้อยละผลได้ และร้อยละของแข็งเท่ากับ 95.6 และ 22 ตามลำดับ และพอลิสไตรีนมีขนาดอนุภาคเฉลี่ยเท่ากับ 15.06 นาโนเมตร

5.1.2 จากการศึกษาสัณฐานวิทยาของพอลิสไตรีนนาโนเลเท็กซ์ด้วยกล้องจุลทรรศน์ อิเล็กtronแบบส่องผ่าน (TEM) พบว่า พอลิสไตรีนมีสัณฐานวิทยาเป็นอนุภาคทรงกลม

5.1.3 เมื่อเติมพอลิสไตรีนอนุภาคขนาดนาโนเมตรลงในอีวีเอ พบร่วมกับพอลิเมอร์ผสมมีความหนาแนงดึงและยังสมดุลสูงกว่าอีวีเอบริสุทธิ์ แต่การใส่นาโนชิลิกาเข้าไปในพอลิเมอร์ผสมมีผลทำให้ความหนาแนงดึงและยังสมดุลสูงของพอลิเมอร์ผสมลดลง ยกเว้นใส่นาโนชิลิกาปริมาณ 0.1 phr ในยางผสม 70EVA/30PS ที่มีผลทำให้ความหนาแนงดึงได้รับการปรับปรุงให้เพิ่มขึ้น และการใส่นาโนชิลิกาปริมาณ 0.1 phr ในยางผสม 60EVA/40PS ที่มีผลทำให้มอดุลสูงเพิ่มขึ้น ส่วนการใส่พอลิสไตรีนอนุภาคขนาดนาโนเมตรและนาโนชิลิกามีผลทำให้เปอร์เซ็นต์การยึดตัว ณ จุดขาด มีค่าต่ำกว่าอีวีเอบริสุทธิ์

5.1.4 จากการตรวจสอบสมบัติเชิงกลพลวัตและเสถียรภาพทางความร้อน พบว่า การเติมพอลิสไตรีนขนาดนาโนและนาโนชิลิกาสามารถปรับปรุงทั้งสมบัติเชิงกลพลวัตและเสถียรภาพทางความร้อนของอีวีเอ

5.1.5 ผลการตรวจสอบสัณฐานวิทยาของพอลิเมอร์ผสม EVA/PS และวัสดุไอบริด EVA/PS/nanosilica ไม่พบว่ามีการแยกเฟสในเมทริกซ์ของพอลิเมอร์ หากแต่พบลักษณะรอยแตกของวัสดุที่มีความประ耒มีมีพอลิสไตรีนอนุภาคขนาดนาโนเมตรในพอลิเมอร์ผสมและวัสดุไอบริดปริมาณมาก

5.2 ข้อเสนอแนะ

5.2.1 ปรับปรุงวิธีที่จะทำให้ชิลิกาสามารถจ่ายตัวในเมทริกซ์ให้ดีขึ้น อาจทำได้โดยใช้เครื่องปั่นเชิงกลความเร็วสูงในการทดสอบ

5.2.2 ปรับปรุงกระบวนการทดสอบเป็นแบบของแข็งเพื่อเปรียบเทียบความสามารถในการทดสอบทั้งแบบอิมัลชันและกระบวนการหลอมเหลว

เอกสารอ้างอิง

- [1] Pramanik, M. 2001, Preparation and properties of ethylene vinyl acetate-clay Hybrids. Materials Science Letters 20: 1377-1380.
- [2] MTEC. Ethylene vinyl acetate [ออนไลน์]. แหล่งที่มา: <http://www.mtec.or.th> Pathumthani National Metal and Materials Technology Center, 2008 [19/03/2553]
- [3] SpecialChem. Ethylene copolymer [ออนไลน์]. 2009. แหล่งที่มา: <http://www.specialchem4adhesives.com/tc/ethylene-copolymers/> [20/03/2553]
- [4] รบก. 2545 การพัฒนาท่อโพลีเอทิลีน/เอทิลีนไวนิลอะซิเตตหดตัวได้ด้วยความร้อนโดยการฉายรังสีแกมมาจากโคบอดัต-60, วิทยานิพนธ์บัณฑิต, สาขาวิชา นิวเคลียร์เทคโนโลยี ภาควิชานิวเคลียร์เทคโนโลยี คณะวิศวกรรมศาสตร์ จุฬาลงกรณ์มหาวิทยาลัย.
- [5] Chemtrack.org. Chemtrack [ออนไลน์]. แหล่งที่มา: <http://www.chemtrack.org/News-Detail.asp?TID=4&ID=11> [30/03/2553]
- [6] Sanook.com .Guru [ออนไลน์]. แหล่งที่มา : <http://guru.sanook.com> [30/03/2553]
- [7] Chuayjuljit, S., Moolsin, S., and Potiyaraj, P. 2005. Use of Natural Rubber-g-Polystyrene as a Compatibilizer in Casting Natural Rubber/Polystyrene Blend Films. Journal of Applied Polymer Science 95: 826-831.
- [8] ชัยวัฒน์ เจนวนิชย์. 2527. เคมีพอลิเมอร์พื้นฐาน. สงขลา: ภาควิชาเคมี คณะวิทยาศาสตร์มหาวิทยาลัยสงขลานครินทร์.
- [9] Preston, W. 1948. Some Correlating Principles of Detergent Action. Journal of Physical Colloid Chemistry. 52: 84-97.
- [10] Capek, I. 1999. Radical Polymerization of Polar Unsaturated Monomers in Direct Microemulsion Systems. Advances in Colloid and Interface Science 80: 85-149.
- [11] Wikipedia Encyclopedia[ออนไลน์]. แหล่งที่มา : http://wikipedia.org/wiki/emulsion_Polymerization. [31/03/2553]
- [12] Elaissari, A. 2003. Colloidal Polymers, New York: Marcel Dekker.

- [13] Stoffer, J.O. and Bone, T., 1980. Polymerization in Water-in-Oil Microemulsion Systems. Journal of Polymer Science: Polymer Chemistry Edition 18: 2641-2648
- [14] Antonietti, M. 1995. Polymerization in Microemulsions-a New Approach to Ultrafine, Highly Functionalized Polymer Dispersions. Macromolecular Chemistry and Physics 196: 441-466.
- [15] Jayakrishnan, A. and Shah, D.O. 1984. Polymerization of Oil-in-Water Microemulsion: Polymerization of Styrene and Methyl Methacrylate. Journal of Polymer Science: Polymer Letters Edition 22: 31-38.
- [16] He, G., Pan, Q. and Rempel, G. L. 2003. Synthesis of Poly(methyl methacrylate) Nanosize Particles by Differential Microemulsion Polymerization. Macromolecular Rapid Communications 24: 585-588.
- [17] He, G., and Pan, Q. 2004. Synthesis of Polystyrene and Polystyrene/Poly(methyl methacrylate) Nanoparticles. Macromolecular Rapid Communications 25: 1545-1548
- [18] He, G., Pan, Q. and Rempel, G.L. 2007. Modeling of Differential Microemulsion Polymerization for Synthesizing Nanosized Poly(methyl methacrylate) Particles. Industrial Engineering and Chemistry Research 46: 1682-1689.
- [19] He, G., Pan, Q. and Rempel, G.L. 2007. Differential Microemulsion Polymerization of Styrene: A Mathematical Kinetic Model. Journal of Applied Polymer Science 105: 2129-2137.
- [20] Norakankorn, C., Pan, Q., Rempel, G.L. and Kiatkamjornwong, S. 2007. Synthesis of Poly(methyl methacrylate) Initiated by 2,2' Azobisisobutyronitrile via Differential Microemulsion Polymerization. Macromolecular Rapid Communications 28: 1029-1033.
- [21] Pioneer Chula [ออนไลน์]. แหล่งที่มา : <http://pioneer.netserv.chula.ac.th/~sanongn1/additives.pdf> [28/03/2553]
- [22] Gerard, K. 1965, Reinforcement of Elastomer : Interscience.
- [23] อิทธพล แจ้งชัด.2547, วิทยาศาสตร์และเทคโนโลยียาง. กรุงเทพมหานคร: ภาควิชาเคมี คณะวิทยาศาสตร์ สถาบันเทคโนโลยีพระจอมเกล้าเจ้าคุณทหารลาดกระบัง.
- [24] Ralph, K. 1997, The Chemistry of Silica : John Wiley&Sons

- [25] Wang-zhang, Y., Mao, P., Qiu-ming, Y., Ben-zhong, T. and Qiang, Z. 2006. Synthesis and Characterization of Polystyrene/Nanosilica Organic-Inorganic Hybrid. Chemical Research Chinese University 22: 797-802.
- [26] อัญญาพร บุญมหิธิสุทธิ์. 2550, การเตรียมและสมบัติของยางธรรมชาติผสมนาโนเล็กซ์ของพอ-ลิสไตรีนและซิลิกาห่อหุ้มด้วยพอลิสไตรีน, วิทยานิพนธ์ปริญญามหาบัณฑิต, วิทยาศาสตร์พอลิเมอร์ประยุกต์และเทคโนโลยีสิ่งทอ ภาควิชาวสัตุศาสตร์ คณะวิทยาศาสตร์ จุฬาลงกรณ์มหาวิทยาลัย

ภาคผนวก

ภาคผนวก ก

ตาราง ก-1 ขนาดอนุภาคของพอลิสไตรีนนาโนเล็กซ์

| ตัวอย่าง | จำนวนครั้งในการวิเคราะห์ | Z-Average diameter |
|-----------------------|--------------------------|--------------------|
| | 1 | 15.07 |
| | 2 | 15.05 |
| Polystyrene nanolatex | 3 | 15.06 |
| | ค่าเฉลี่ย | 15.06 |
| | ค่าเบี่ยงเบนมาตรฐาน | 0.01 |

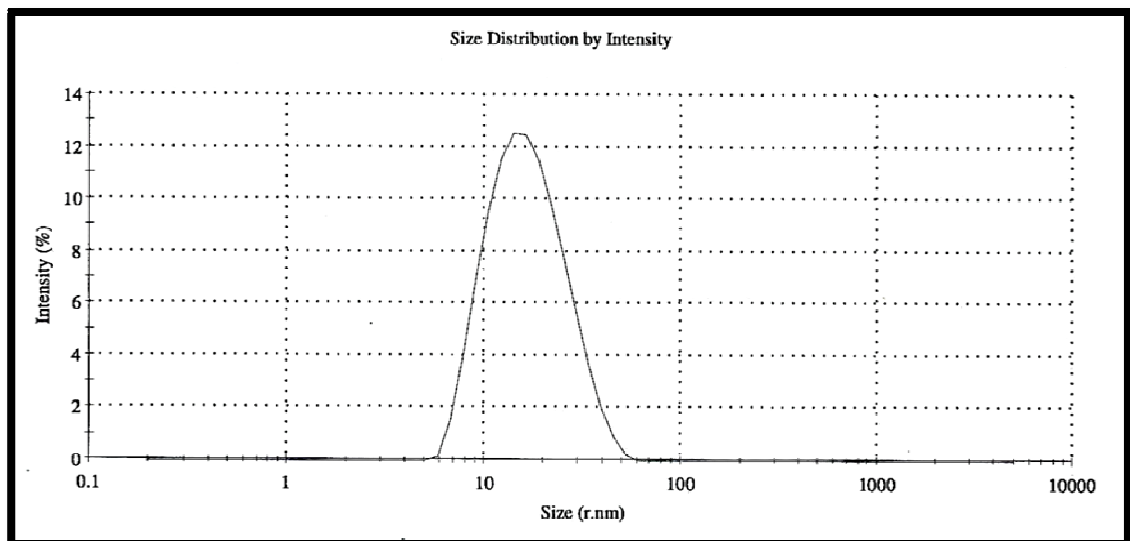
ตาราง ก-2 ปริมาณและขนาดอนุภาคของพอลิสไตรีนนาโนเล็กซ์ในการทดสอบ จำนวน 3 ครั้ง

| 1) | Size r.nm | Intensity % |
|----|--------------|----------------|--------------|----------------|--------------|----------------|--------------|----------------|--------------|----------------|
| | 0.2000 | 0.0 | 1.561 | 0.0 | 12.18 | 10.2 | 95.07 | 0.0 | 741.9 | 0.0 |
| | 0.2316 | 0.0 | 1.808 | 0.0 | 14.11 | 11.5 | 110.1 | 0.0 | 859.2 | 0.0 |
| | 0.2682 | 0.0 | 2.093 | 0.0 | 16.34 | 12.1 | 127.5 | 0.0 | 995.1 | 0.0 |
| | 0.3106 | 0.0 | 2.424 | 0.0 | 18.92 | 11.8 | 147.7 | 0.0 | 1152 | 0.0 |
| | 0.3597 | 0.0 | 2.807 | 0.0 | 21.91 | 10.6 | 171.0 | 0.0 | 1335 | 0.0 |
| | 0.4166 | 0.0 | 3.251 | 0.0 | 25.37 | 8.8 | 198.0 | 0.0 | 1545 | 0.0 |
| | 0.4825 | 0.0 | 3.765 | 0.0 | 29.39 | 6.6 | 229.3 | 0.0 | 1790 | 0.0 |
| | 0.5587 | 0.0 | 4.360 | 0.0 | 34.03 | 4.3 | 265.6 | 0.0 | 2073 | 0.0 |
| | 0.6470 | 0.0 | 5.050 | 0.1 | 39.41 | 2.3 | 307.6 | 0.0 | 2400 | 0.0 |
| | 0.7493 | 0.0 | 5.848 | 0.7 | 45.64 | 0.9 | 356.2 | 0.0 | 2780 | 0.0 |
| | 0.8678 | 0.0 | 6.772 | 2.0 | 52.85 | 0.2 | 412.5 | 0.0 | 3219 | 0.0 |
| | 1.005 | 0.0 | 7.843 | 3.8 | 61.21 | 0.0 | 477.7 | 0.0 | 3728 | 0.0 |
| | 1.164 | 0.0 | 9.083 | 5.9 | 70.89 | 0.0 | 553.2 | 0.0 | 4317 | 0.0 |
| | 1.348 | 0.0 | 10.52 | 8.2 | 82.09 | 0.0 | 640.7 | 0.0 | 5000 | 0.0 |

| 2) | Size r.nm | Intensity % |
|----|--------------|----------------|--------------|----------------|--------------|----------------|--------------|----------------|--------------|----------------|
| | 0.2000 | 0.0 | 1.561 | 0.0 | 12.18 | 11.1 | 95.07 | 0.0 | 741.9 | 0.0 |
| | 0.2316 | 0.0 | 1.808 | 0.0 | 14.11 | 12.0 | 110.1 | 0.0 | 859.2 | 0.0 |
| | 0.2682 | 0.0 | 2.093 | 0.0 | 16.34 | 12.1 | 127.5 | 0.0 | 995.1 | 0.0 |
| | 0.3106 | 0.0 | 2.424 | 0.0 | 18.92 | 11.3 | 147.7 | 0.0 | 1152 | 0.0 |
| | 0.3597 | 0.0 | 2.807 | 0.0 | 21.91 | 9.8 | 171.0 | 0.0 | 1335 | 0.0 |
| | 0.4166 | 0.0 | 3.251 | 0.0 | 25.37 | 7.9 | 198.0 | 0.0 | 1545 | 0.0 |
| | 0.4825 | 0.0 | 3.765 | 0.0 | 29.39 | 5.9 | 229.3 | 0.0 | 1790 | 0.0 |
| | 0.5587 | 0.0 | 4.360 | 0.0 | 34.03 | 3.9 | 265.6 | 0.0 | 2073 | 0.0 |
| | 0.6470 | 0.0 | 5.050 | 0.0 | 39.41 | 2.3 | 307.6 | 0.0 | 2400 | 0.0 |
| | 0.7493 | 0.0 | 5.848 | 0.4 | 45.64 | 1.1 | 356.2 | 0.0 | 2780 | 0.0 |
| | 0.8678 | 0.0 | 6.772 | 1.8 | 52.85 | 0.3 | 412.5 | 0.0 | 3219 | 0.0 |
| | 1.005 | 0.0 | 7.843 | 4.1 | 61.21 | 0.0 | 477.7 | 0.0 | 3728 | 0.0 |
| | 1.164 | 0.0 | 9.083 | 6.8 | 70.89 | 0.0 | 553.2 | 0.0 | 4317 | 0.0 |
| | 1.348 | 0.0 | 10.52 | 9.2 | 82.09 | 0.0 | 640.7 | 0.0 | 5000 | 0.0 |

3)

| Size r.nm | Intensity % |
|--------------|----------------|--------------|----------------|--------------|----------------|--------------|----------------|--------------|----------------|
| 0.2000 | 0.0 | 1.561 | 0.0 | 12.18 | 11.5 | 95.07 | 0.0 | 741.9 | 0.0 |
| 0.2316 | 0.0 | 1.808 | 0.0 | 14.11 | 12.5 | 110.1 | 0.0 | 859.2 | 0.0 |
| 0.2682 | 0.0 | 2.093 | 0.0 | 16.34 | 12.4 | 127.5 | 0.0 | 995.1 | 0.0 |
| 0.3106 | 0.0 | 2.424 | 0.0 | 18.92 | 11.5 | 147.7 | 0.0 | 1152 | 0.0 |
| 0.3597 | 0.0 | 2.807 | 0.0 | 21.91 | 9.8 | 171.0 | 0.0 | 1335 | 0.0 |
| 0.4166 | 0.0 | 3.251 | 0.0 | 25.37* | 7.8 | 198.0 | 0.0 | 1545 | 0.0 |
| 0.4825 | 0.0 | 3.765 | 0.0 | 29.39 | 5.6 | 229.3 | 0.0 | 1790 | 0.0 |
| 0.5587 | 0.0 | 4.360 | 0.0 | 34.03 | 3.6 | 265.6 | 0.0 | 2073 | 0.0 |
| 0.6470 | 0.0 | 5.050 | 0.0 | 39.41 | 2.0 | 307.6 | 0.0 | 2400 | 0.0 |
| 0.7493 | 0.0 | 5.848 | 0.2 | 45.64 | 0.9 | 356.2 | 0.0 | 2780 | 0.0 |
| 0.8678 | 0.0 | 6.772 | 1.5 | 52.85 | 0.2 | 412.5 | 0.0 | 3219 | 0.0 |
| 1.005 | 0.0 | 7.843 | 4.0 | 61.21 | 0.0 | 477.7 | 0.0 | 3728 | 0.0 |
| 1.164 | 0.0 | 9.083 | 6.9 | 70.89 | 0.0 | 553.2 | 0.0 | 4317 | 0.0 |
| 1.348 | 0.0 | 10.52 | 9.6 | 82.09 | 0.0 | 640.7 | 0.0 | 5000 | 0.0 |



รูป ก. กราฟการกระจายของขนาดอนุภาคพอลิสไตรีนนาโนเล็กซ์

ภาคผนวก ๖

ตาราง ๖-๑ ค่าความทันแรงดึงของวัสดุไบบริดของอีวีเอ/พอลิสไตรีนขนาด nano และ nano ชิลิกา

| ตัวอย่าง | ค่าความทันแรงดึง | | ค่าเฉลี่ย | ค่าเบี่ยงเบนมาตรฐาน |
|----------------------|------------------|---------|-----------|---------------------|
| | maximum | minimum | | |
| 100EVA | 2.04 | 1.45 | 1.84 | 0.23 |
| 100EVA/0.1Silica | 1.52 | 0.5 | 0.98 | 0.33 |
| 100EVA/0.5Silica | 2.15 | 1.11 | 1.64 | 0.37 |
| 90EVA/10PS | 2.15 | 1.63 | 1.95 | 0.19 |
| 90EVA/10PS/0.1Silica | 1.64 | 1.36 | 1.52 | 0.1 |
| 90EVA/10PS/0.5Silica | 1.97 | 1.2 | 1.52 | 0.24 |
| 80EVA/20PS | 5.11 | 4.31 | 4.53 | 0.28 |
| 80EVA/20PS/0.1Silica | 3.19 | 2.77 | 3.05 | 0.15 |
| 80EVA/20PS/0.5Silica | 3.35 | 2.32 | 2.74 | 0.35 |
| 70EVA/30PS | 4.78 | 3.85 | 4.26 | 0.31 |
| 70EVA/30PS/0.1Silica | 5.28 | 3.76 | 4.78 | 0.54 |
| 70EVA/30PS/0.5Silica | 3.95 | 2.38 | 3.14 | 0.54 |
| 60EVA/40PS | 4.92 | 3 | 3.91 | 0.72 |
| 60EVA/40PS/0.1Silica | 3.64 | 3.33 | 3.49 | 0.13 |
| 60EVA/40PS/0.5Silica | 4.28 | 3.52 | 3.85 | 0.26 |

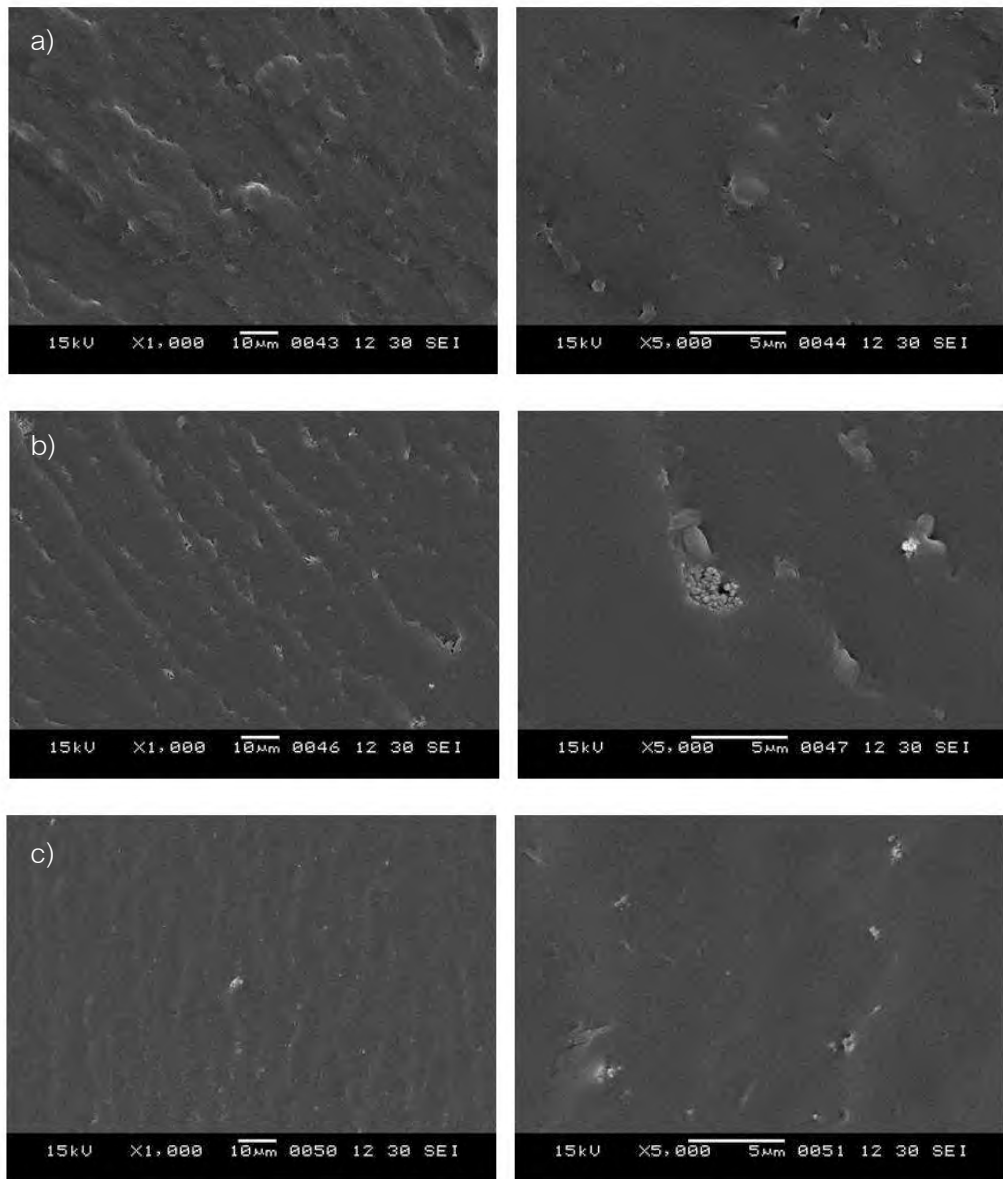
ตาราง ฯ-2 ค่าม่องดุลสูของยังคงของวัสดุไบบริดของอีวีเอ/พอลิสไตรีนขนาดนาโนและนาโนซิลิกา

| ตัวอย่าง | Young's modulus(MPa) | | ค่าเฉลี่ย | ค่าเบี่ยงเบนมาตรฐาน |
|----------------------|----------------------|---------|-----------|---------------------|
| | maximum | minimum | | |
| 100EVA | 2.3 | 1.75 | 2.04 | 0.23 |
| 100EVA/0.1Silica | 3.03 | 0.619 | 1.8 | 0.85 |
| 100EVA/0.5Silica | 6.15 | 2.46 | 4.31 | 1.48 |
| 90EVA/10PS | 12.22 | 8.49 | 10.21 | 1.42 |
| 90EVA/10PS/0.1Silica | 7.37 | 5.91 | 6.4 | 0.48 |
| 90EVA/10PS/0.5Silica | 8.69 | 3.38 | 5.68 | 1.69 |
| 80EVA/20PS | 59.33 | 41.32 | 49.26 | 7.57 |
| 80EVA/20PS/0.1Silica | 41.22 | 32.34 | 37.65 | 3.51 |
| 80EVA/20PS/0.5Silica | 48.16 | 30.71 | 37.67 | 6.32 |
| 70EVA/30PS | 181.07 | 137.97 | 163.37 | 13.54 |
| 70EVA/30PS/0.1Silica | 164.5 | 91.31 | 123.41 | 25.21 |
| 70EVA/30PS/0.5Silica | 169.89 | 44.087 | 100.18 | 40.23 |
| 60EVA/40PS | 193.15 | 109.25 | 162.38 | 31.74 |
| 60EVA/40PS/0.1Silica | 197.05 | 162.67 | 177.36 | 14.48 |
| 60EVA/40PS/0.5Silica | 189.9 | 123.64 | 157.76 | 22.35 |

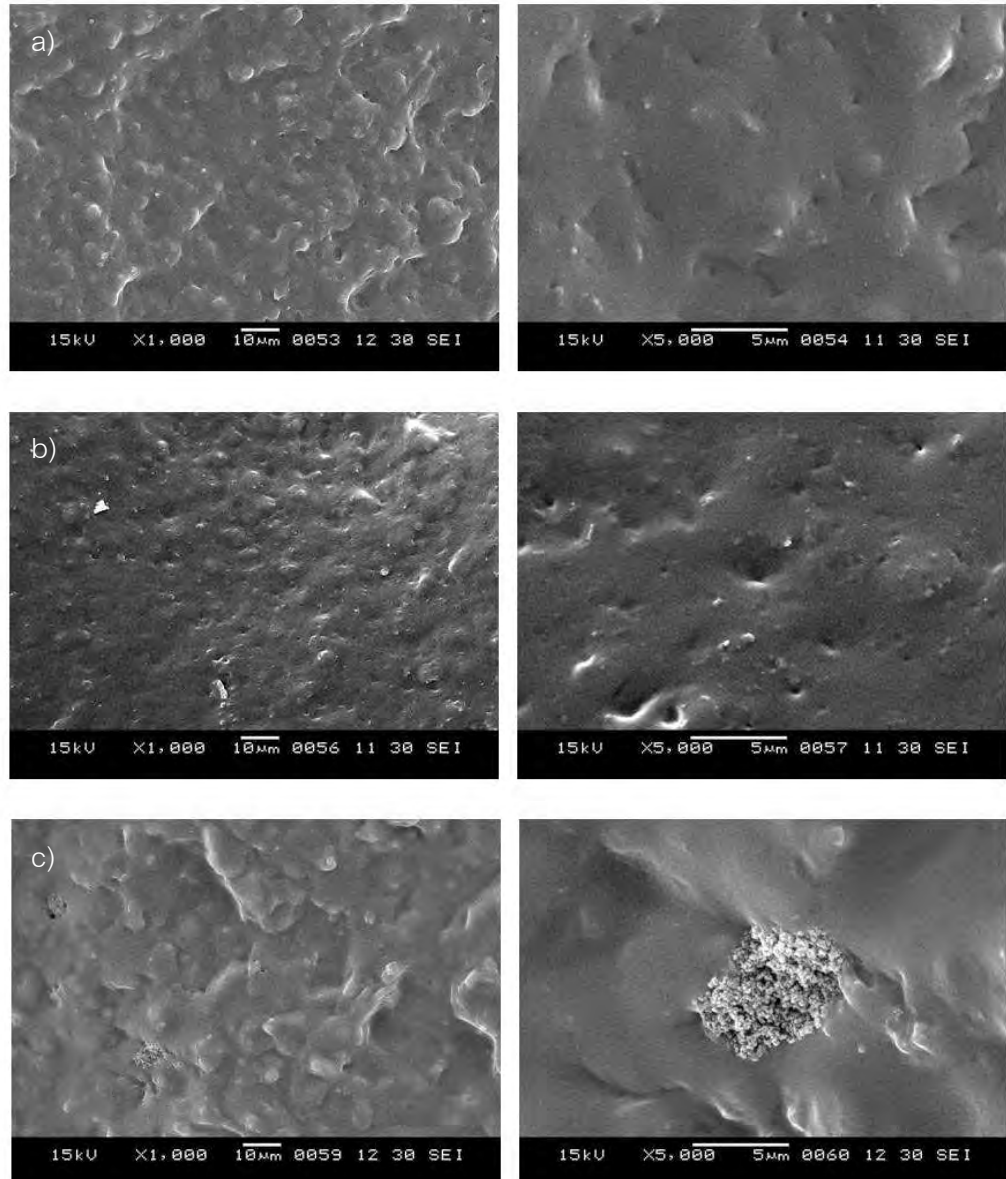
ตาราง ฯ-3 ค่าระยะยืดของวัสดุไบบริดของอีวีเอ/พอลิสไตรีนขนาดนาโนและนาโนซิลิกา

| ตัวอย่าง | %strain | | ค่าเฉลี่ย | ค่าเบี่ยงเบนมาตรฐาน |
|----------------------|---------|---------|-----------|---------------------|
| | maximum | minimum | | |
| 100EVA | 512.34 | 442.66 | 468.56 | 26.21 |
| 100EVA/0.1Silica | 365.96 | 294.32 | 335.86 | 22.82 |
| 100EVA/0.5Silica | 371.46 | 314.95 | 343.87 | 22.08 |
| 90EVA/10PS | 464.78 | 399.56 | 427.02 | 22.675 |
| 90EVA/10PS/0.1Silica | 359.4 | 271.79 | 302.99 | 30.46 |
| 90EVA/10PS/0.5Silica | 425.09 | 351.19 | 387.17 | 19.698 |
| 80EVA/20PS | 450.48 | 346.47 | 405.7 | 32.16 |
| 80EVA/20PS/0.1Silica | 450.07 | 415.88 | 433.83 | 11.98 |
| 80EVA/20PS/0.5Silica | 422 | 360 | 381.1 | 22.85 |
| 70EVA/30PS | 264.55 | 98.65 | 179.81 | 67.72 |
| 70EVA/30PS/0.1Silica | 336.31 | 201.57 | 286.81 | 45.88 |
| 70EVA/30PS/0.5Silica | 461.59 | 8.97 | 273.68 | 148.91 |
| 60EVA/40PS | 7.93 | 4.85 | 6.2 | 1.12 |
| 60EVA/40PS/0.1Silica | 4.54 | 2.87 | 3.66 | 0.68 |
| 60EVA/40PS/0.5Silica | 8.42 | 3.82 | 6.3 | 1.36 |

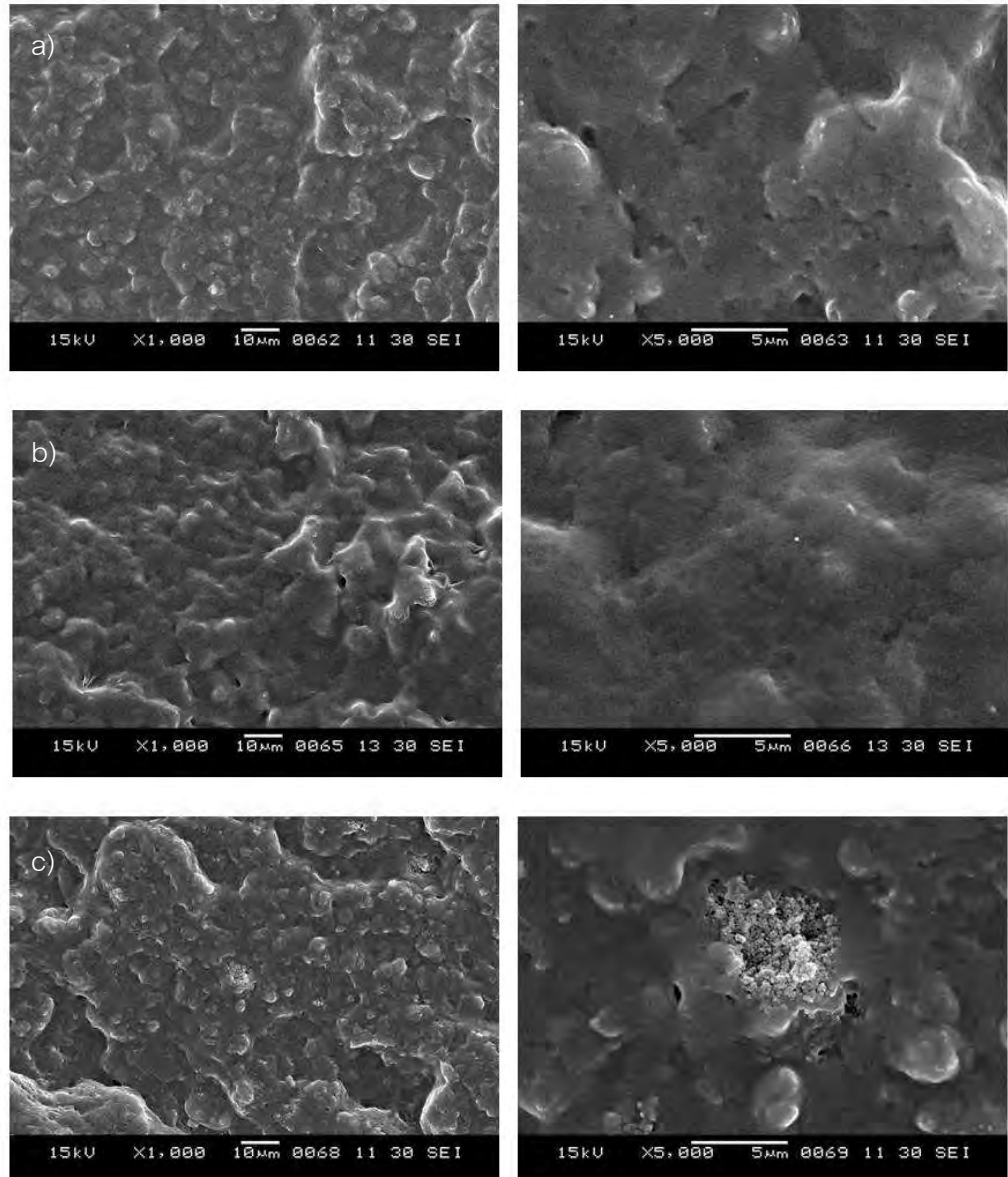
ภาคผนวก ค



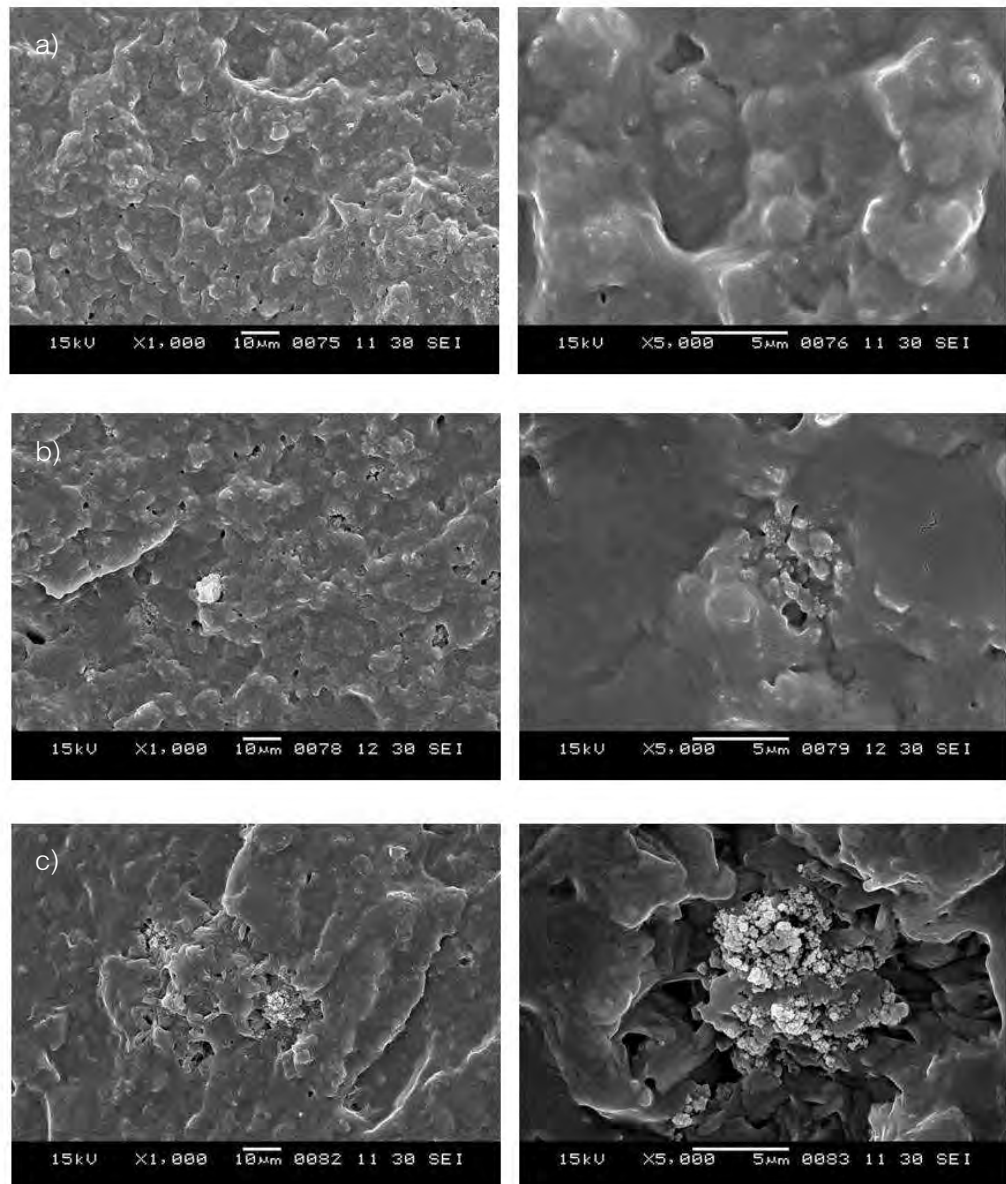
รูป ค-1 สัณฐานวิทยาของ a)100EVA b)100EVA/0.1nanosilica และ c)100EVA/0.5nanosilica ที่กำลังขยาย 1000X และ 5000X ตามลำดับ



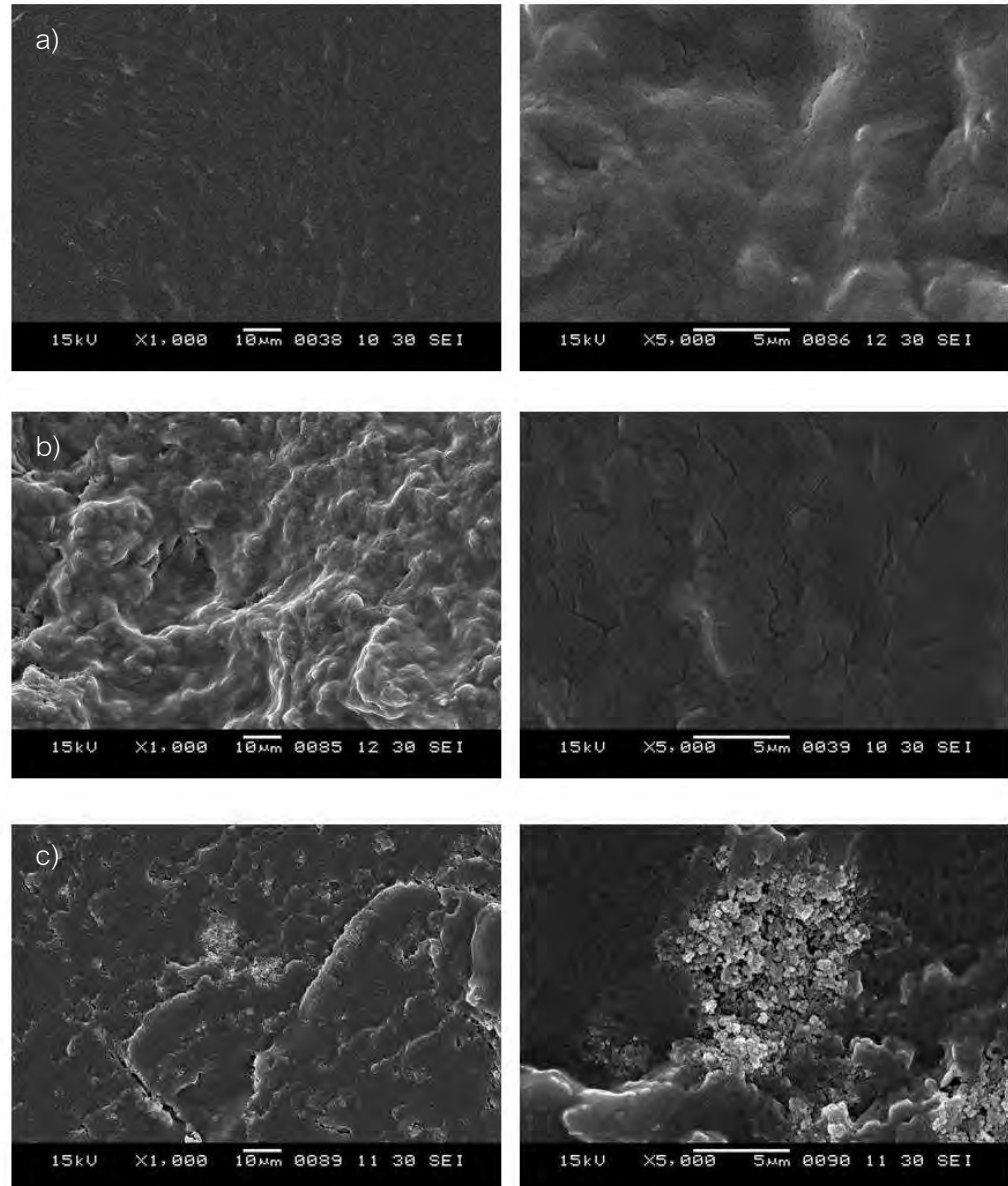
รูป ค-2 สำนักงานวิทยาของ a) 90EVA/10PS b) 90EVA/10PS/ 0.1nanosilica และ c) 90EVA/10PS/ 0.5nanosilica ที่กำลังขยาย 1000Xและ 5000X ตามลำดับ



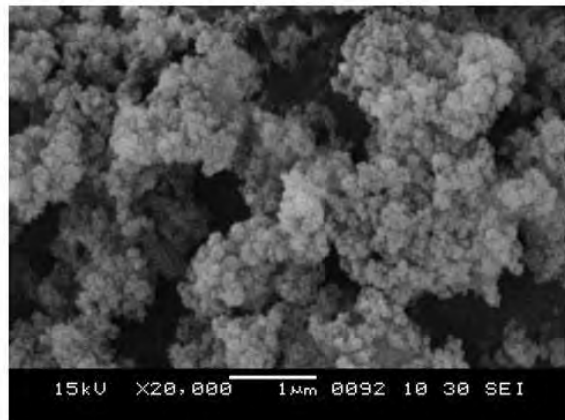
รูป ค-3 สัณฐานวิทยาของ a) 80EVA/20PS b) 80EVA/20PS/ 0.1nanosilica และ c) 80EVA/20PS/ 0.5nanosilica ที่กำลังขยาย 1000X และ 5000X ตามลำดับ



รูป ค-4 สัณฐานวิทยาของ a) 70EVA/30PS b) 70EVA/30PS/ 0.1nanosilica และ c) 70EVA/30PS/ 0.5nanosilica ที่กำลังขยาย 1000X และ 5000X ตามลำดับ

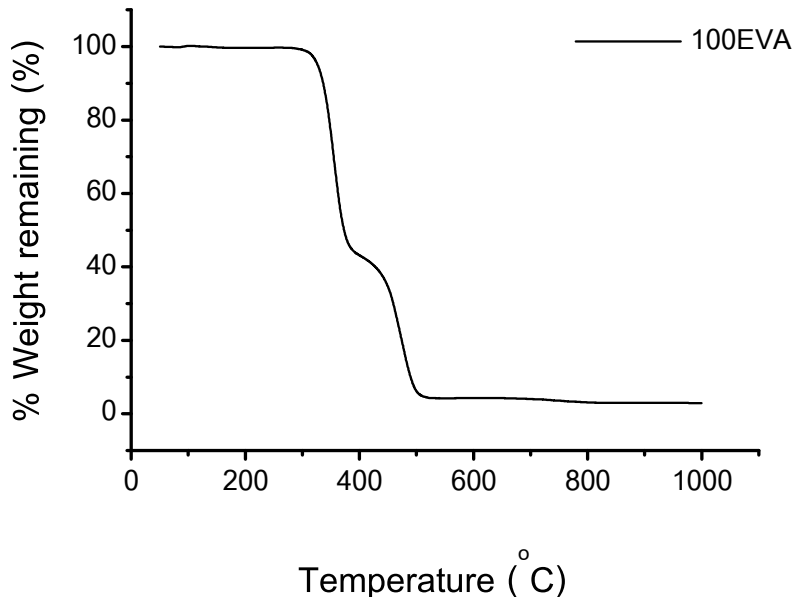


รูป ค-5 สำนักงานวิทยาของ a) 60EVA/40PS b) 60EVA/40PS/ 0.1nanosilica และ c) 60EVA/40PS/ 0.5nanosilica ที่กำลังขยาย 1000X และ 5000X ตามลำดับ

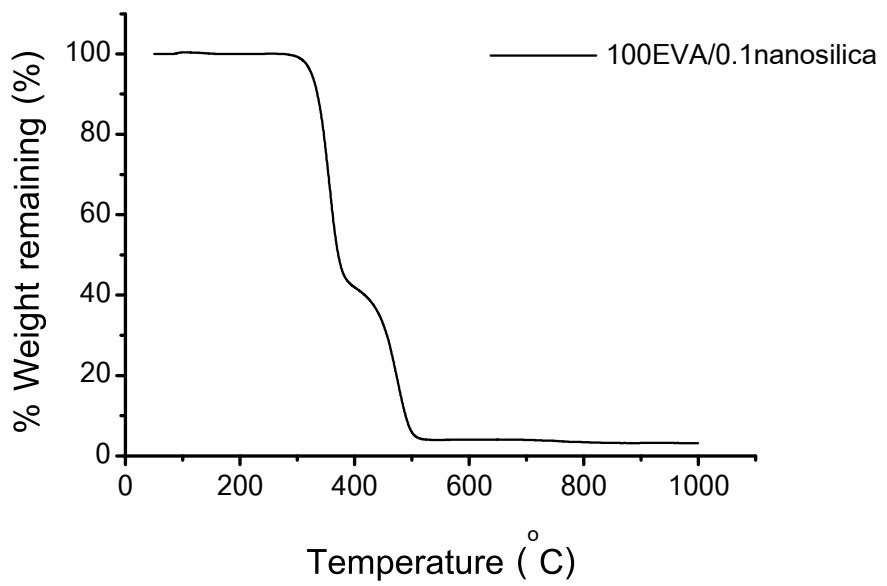


รูป ค-6 สำเนารูปวิทยาของนาโนซิลิกาที่กำลังขยาย 20,000X

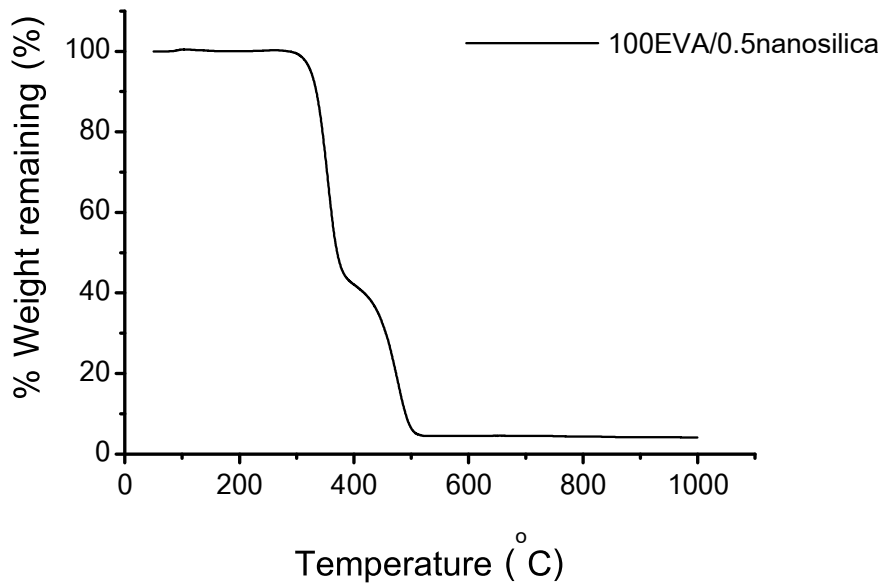
ກາຕົມວາກ ຈ



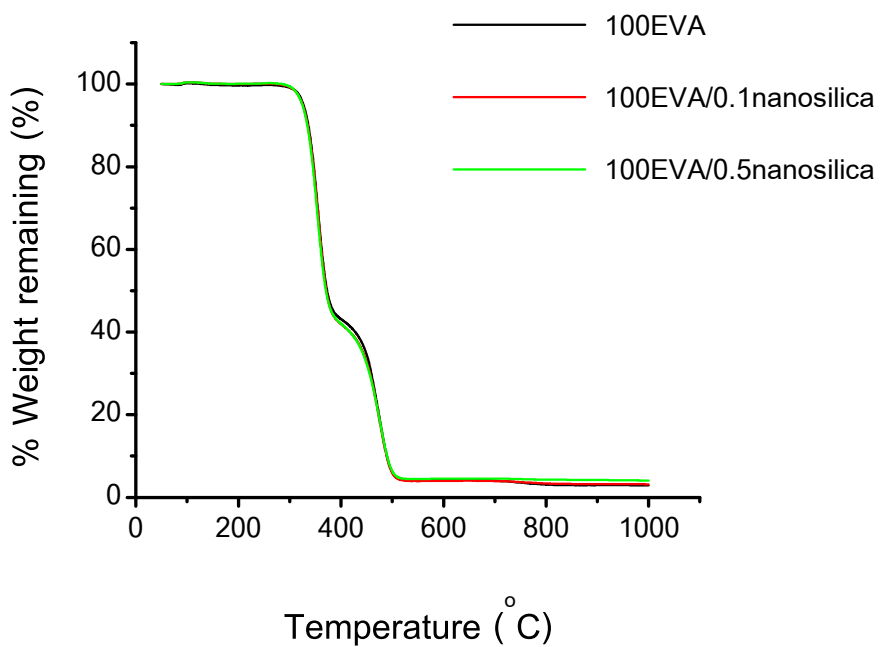
ຮູບ 4-1 TGA ເຫດວິນແກຣມຂອງ 100EVA



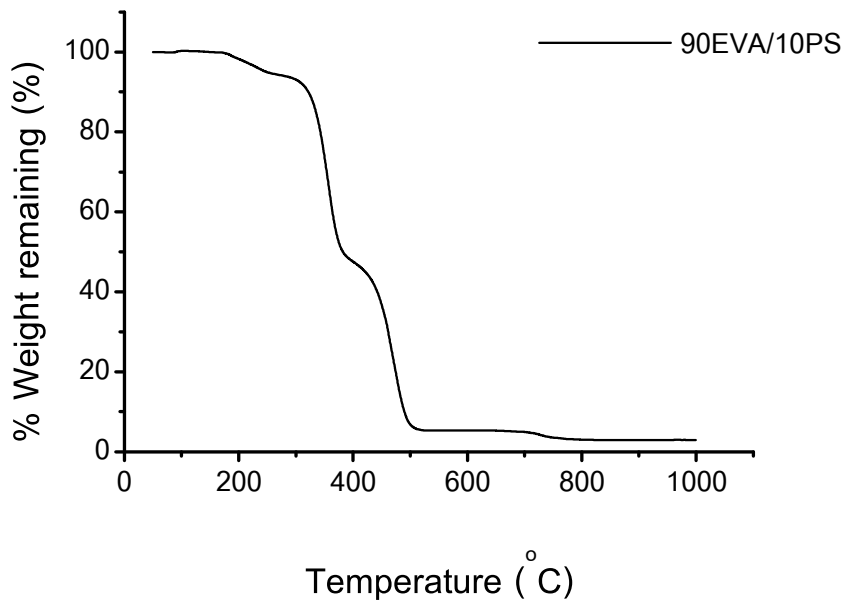
ຮູບ 4-2 TGA ເຫດວິນແກຣມຂອງ 100EVA/0.1nanosilica



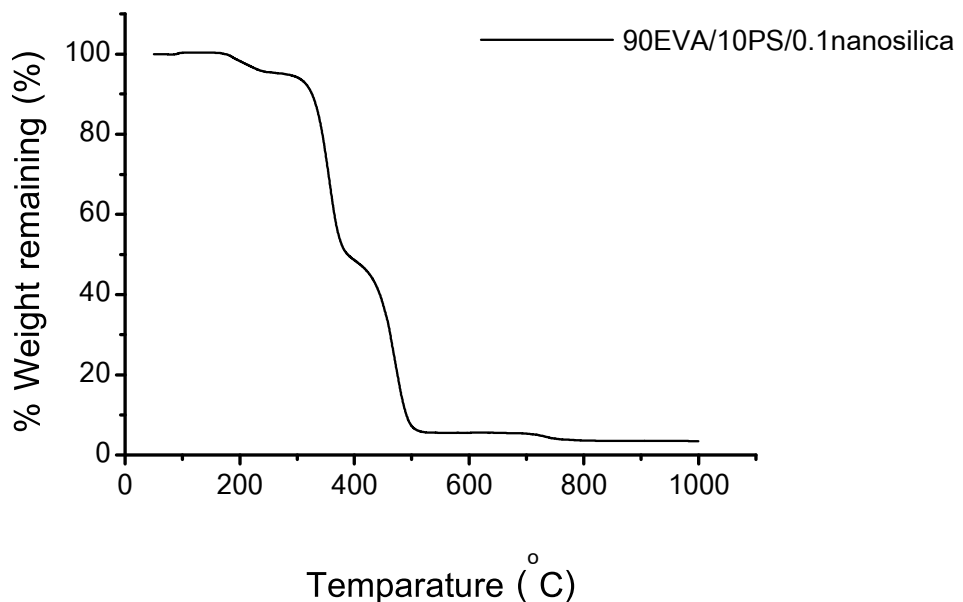
รูป ๔-3 TGA เทอร์โมแกรมของ 100EVA/0.1nanosilica



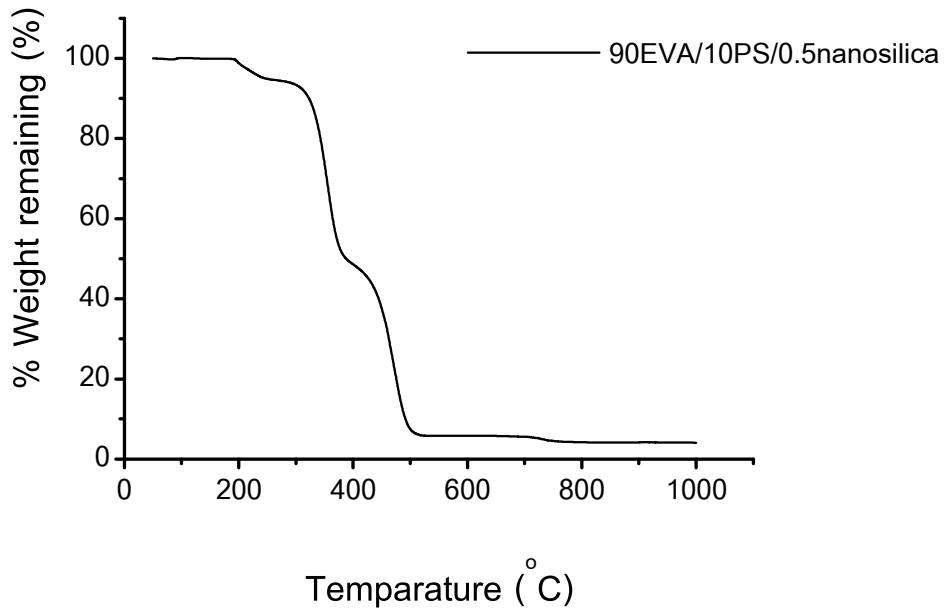
รูป ๔-4 TGA เทอร์โมแกรมของ 100EVA และ EVA ที่เติมนาโนซิลิกาที่ปริมาณ 0.1 และ 0.5 phr



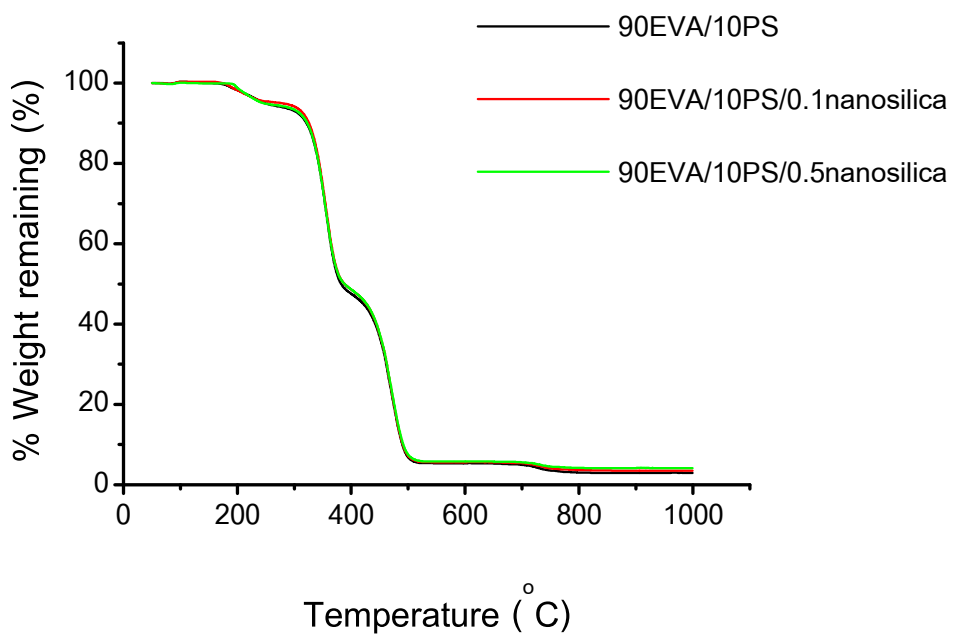
รูป ๔-5 TGA เทอร์โมแกรมของ 90EVA/10PS



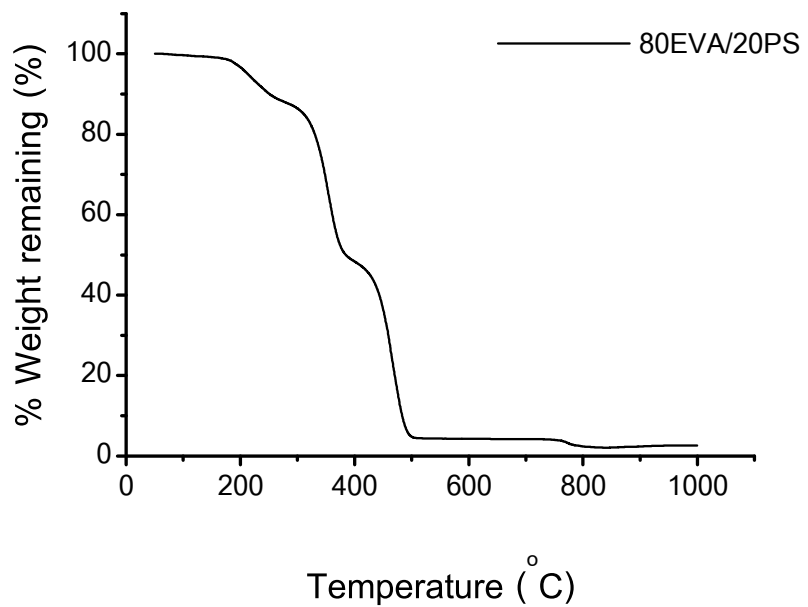
รูป ๔-6 TGA เทอร์โมแกรมของ 90EVA/10PS/0.1nanosilica



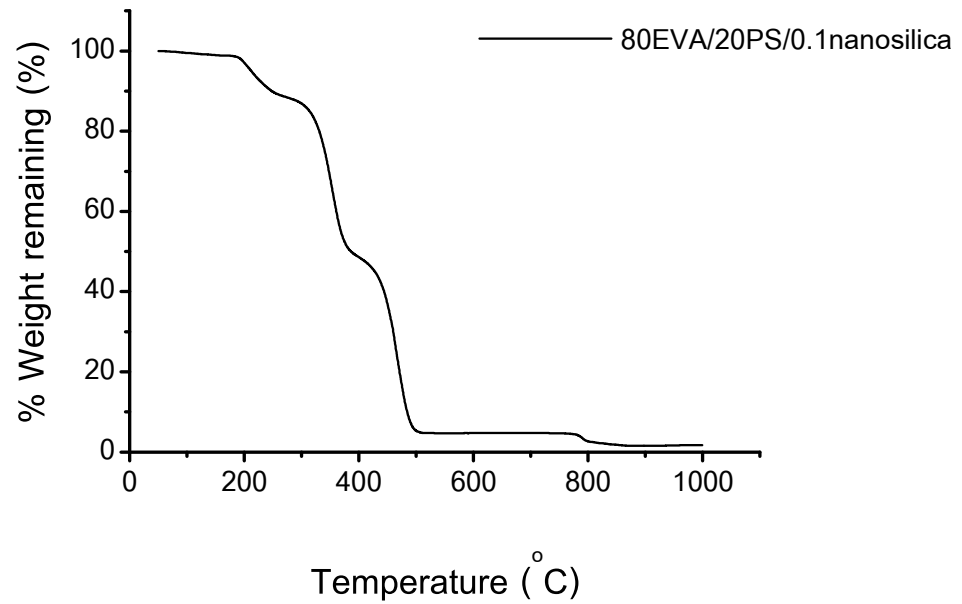
ຮູບ ၄-၇ TGA ເຫດວິນແກຣມຂອງ 90EVA/10PS/0.5nanosilica



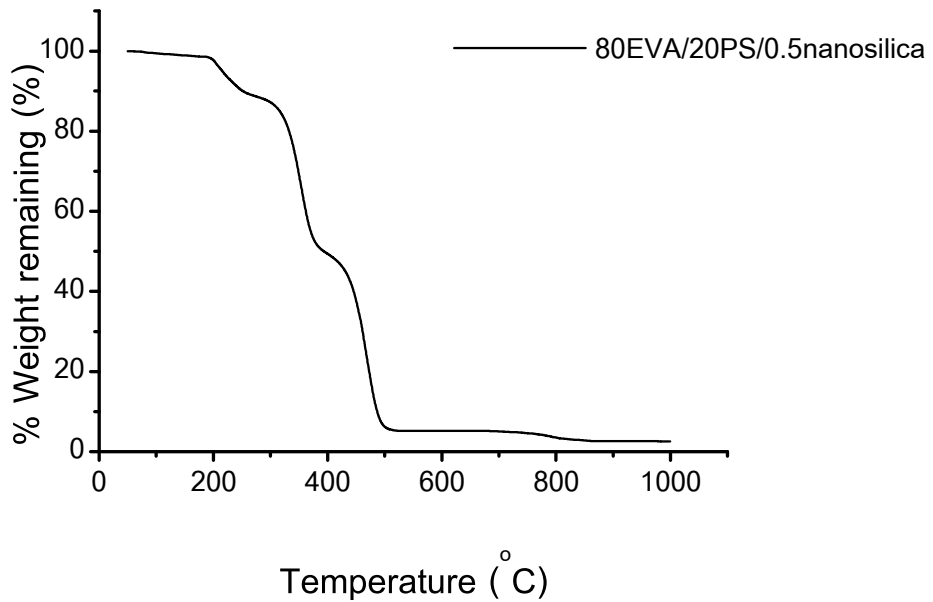
ຮູບ ၄-၈ TGA ເຫດວິນແກຣມຂອງ 90EVA/10PS ແລະ 90EVA/10PS ທີ່ເຕີມນາໃນຊືລິກາ
ທີ່ປັບປຸງ 0.1 ແລະ 0.5 phr



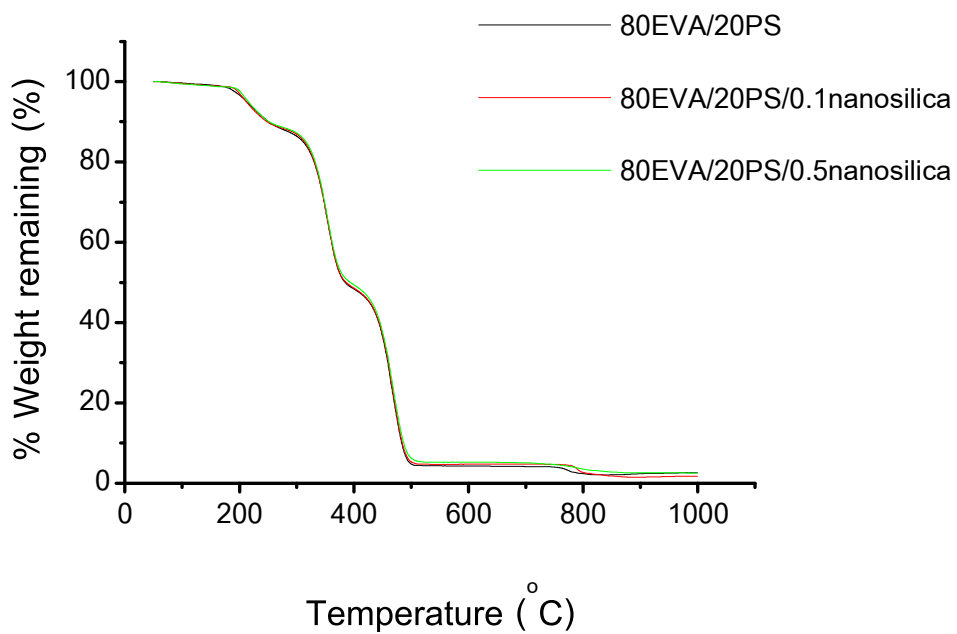
รูป ๔-9 TGA เทอร์โมแกรมของ 80EVA/20PS



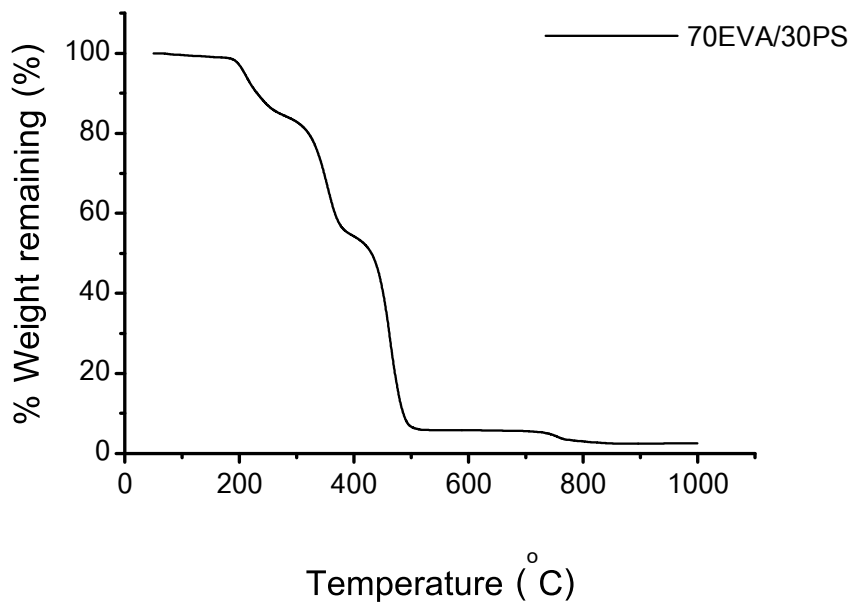
รูป ๔-10 TGA เทอร์โมแกรมของ 80EVA/20PS/0.1nanosilica



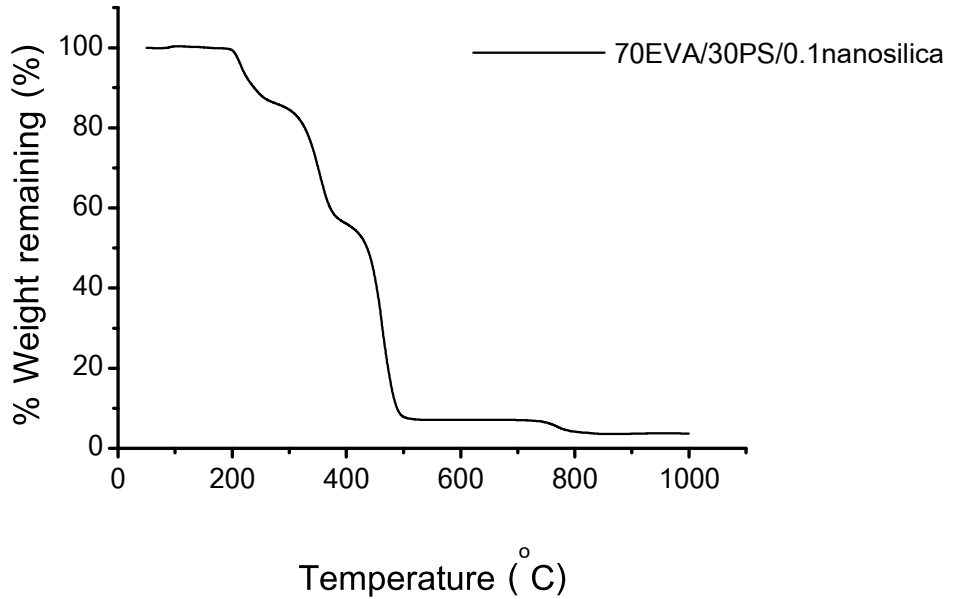
ຮັບ 4-11 TGA ເຫດວິນແກຣມຂອງ 80EVA/20PS/0.5nanosilica



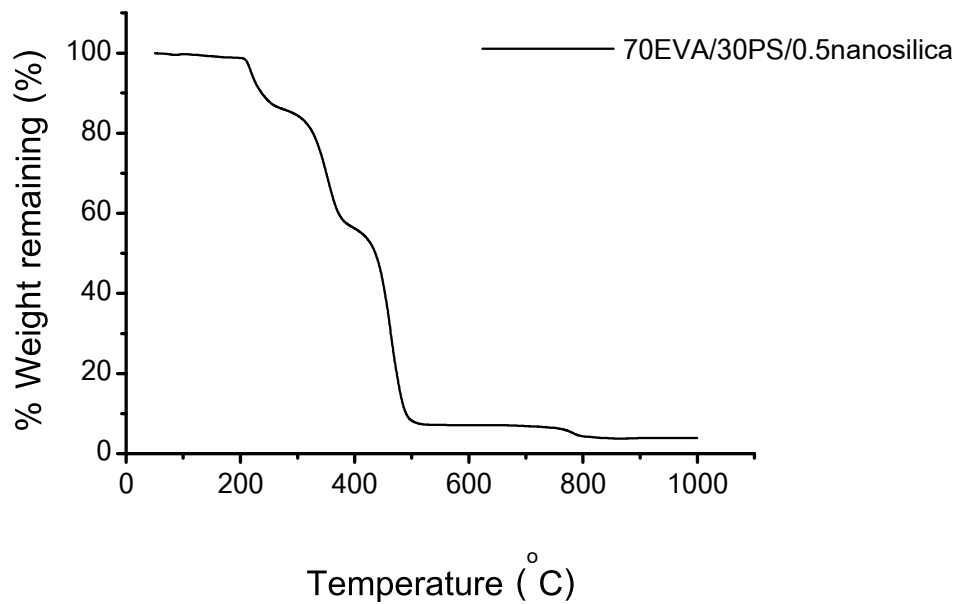
ຮັບ 4-12 TGA ເຫດວິນແກຣມຂອງ 80EVA/20PS ແລະ 80EVA/20PS ທີ່ເຕີມນາໃນຊືດິກາ
ທີ່ປ່ຽນມາດ 0.1 ແລະ 0.5 phr



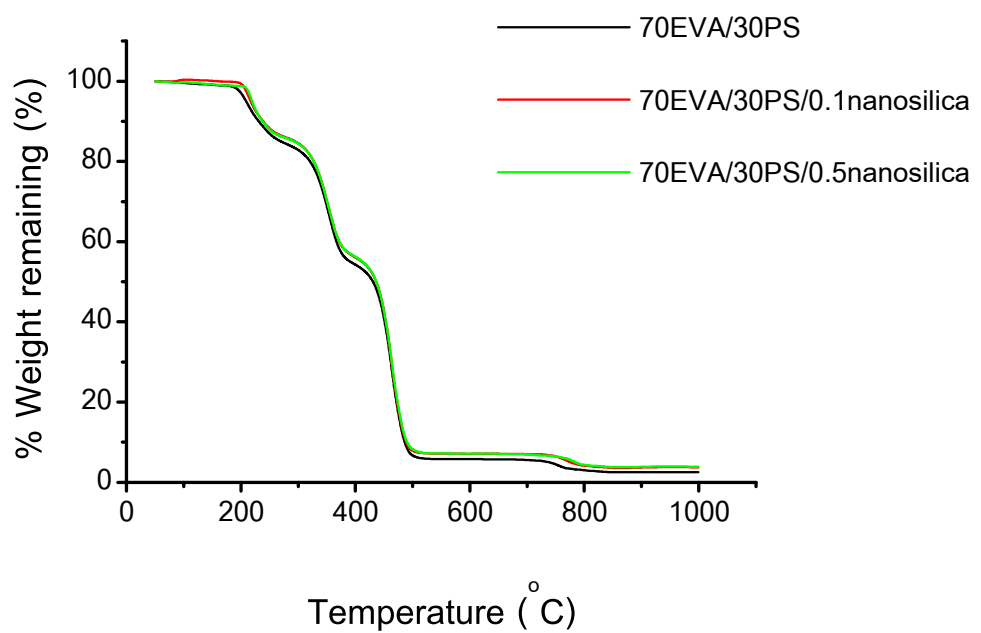
รูป ๔-13 TGA เทอร์โมแกรมของ 70EVA/30PS



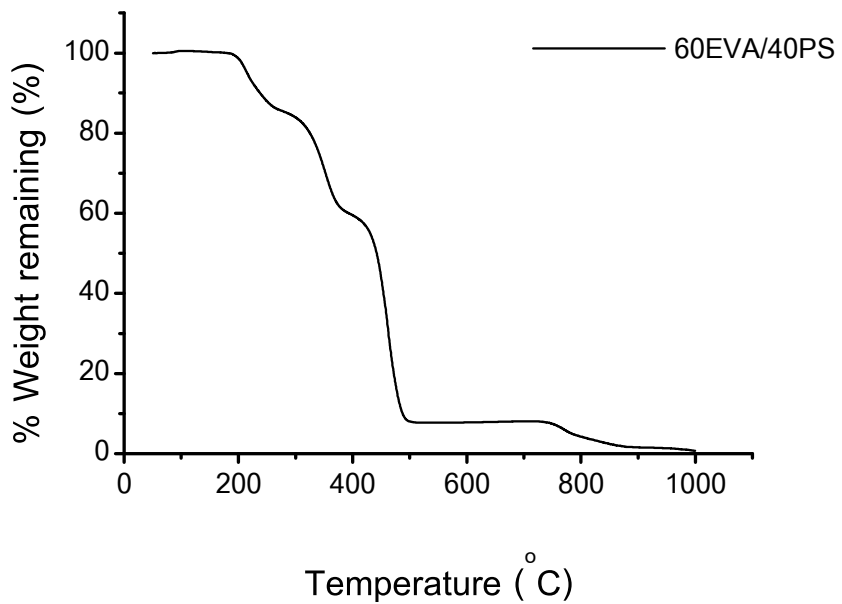
รูป ๔-14 TGA เทอร์โมแกรมของ 70EVA/30PS/0.1nanosilica



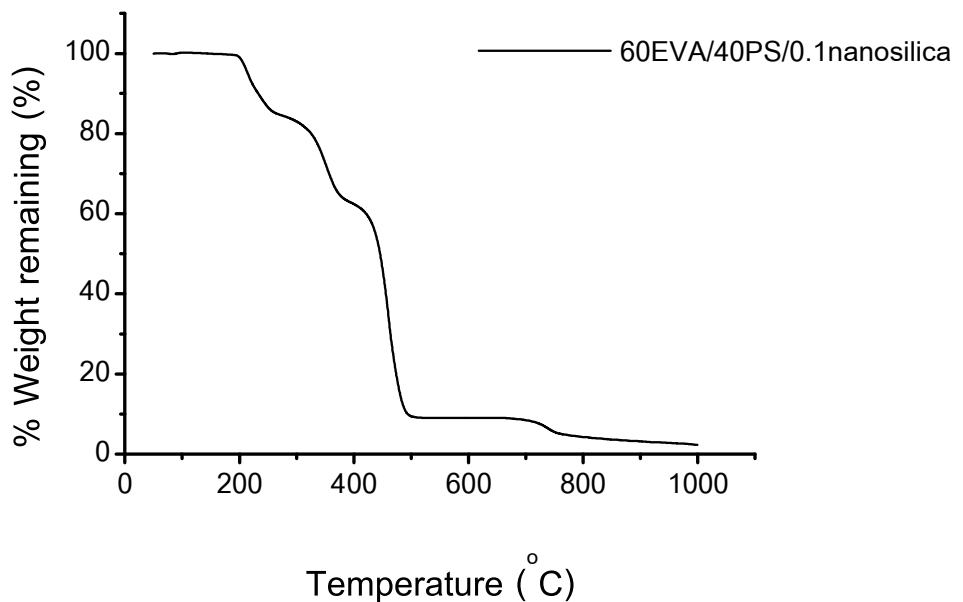
รูป ๔-15 TGA เทอร์โมแกรมของ 70EVA/30PS/0.5nanosilica



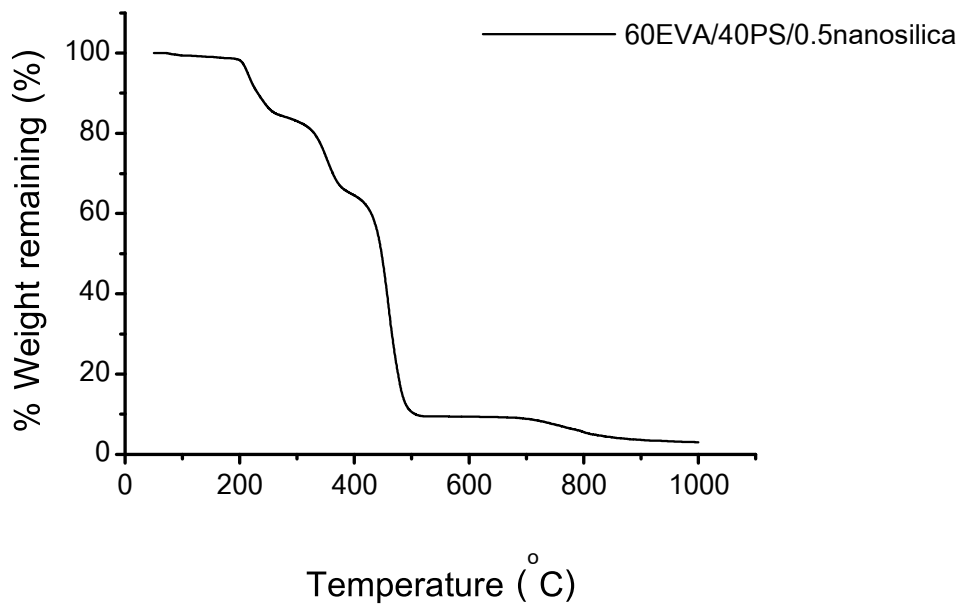
รูป ๔-16 TGA เทอร์โมแกรมของ 70EVA/30PS และ 70EVA/30PS ที่เติมนาโนซิลิกา
ที่ปริมาณ 0.1 และ 0.5 phr



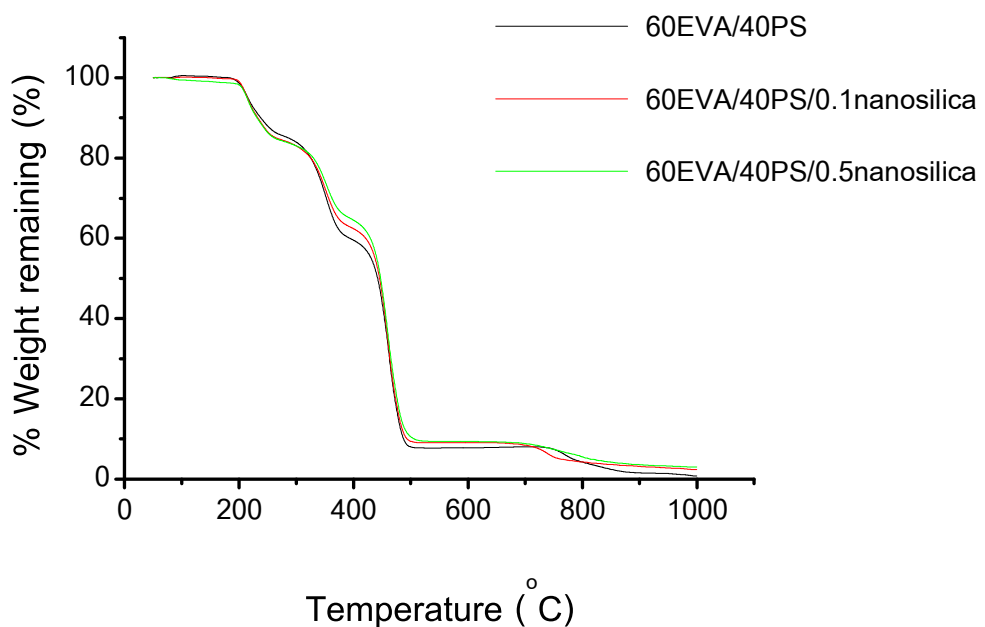
ຮັບ 4-17 TGA ເຫດວິໄນແກຣມຂອງ 60EVA/40PS



ຮັບ 4-18 TGA ເຫດວິໄນແກຣມຂອງ 60EVA/40PS/0.1nanosilica

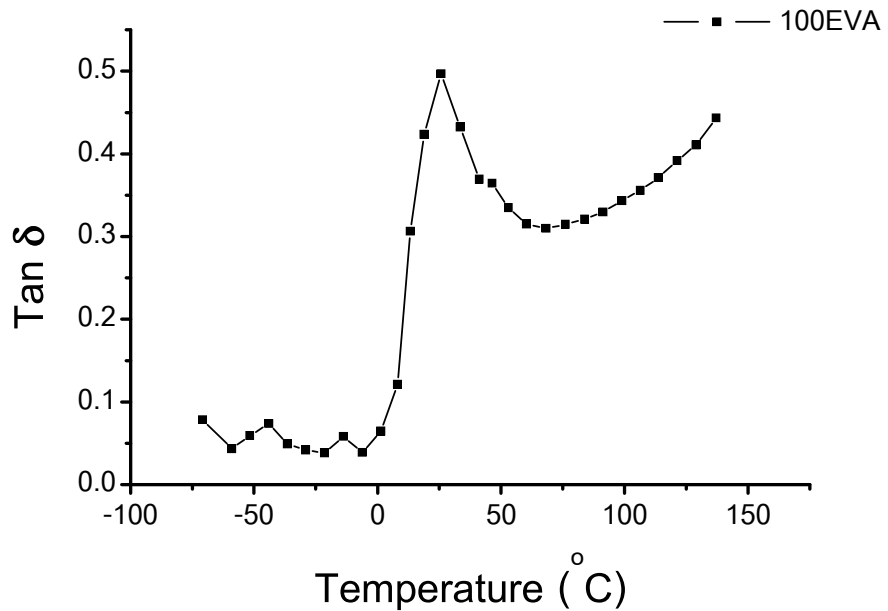


รูป ๔-19 TGA เทหอร์ไม้แก้วมของ 60EVA/40PS/0.5nanosilica

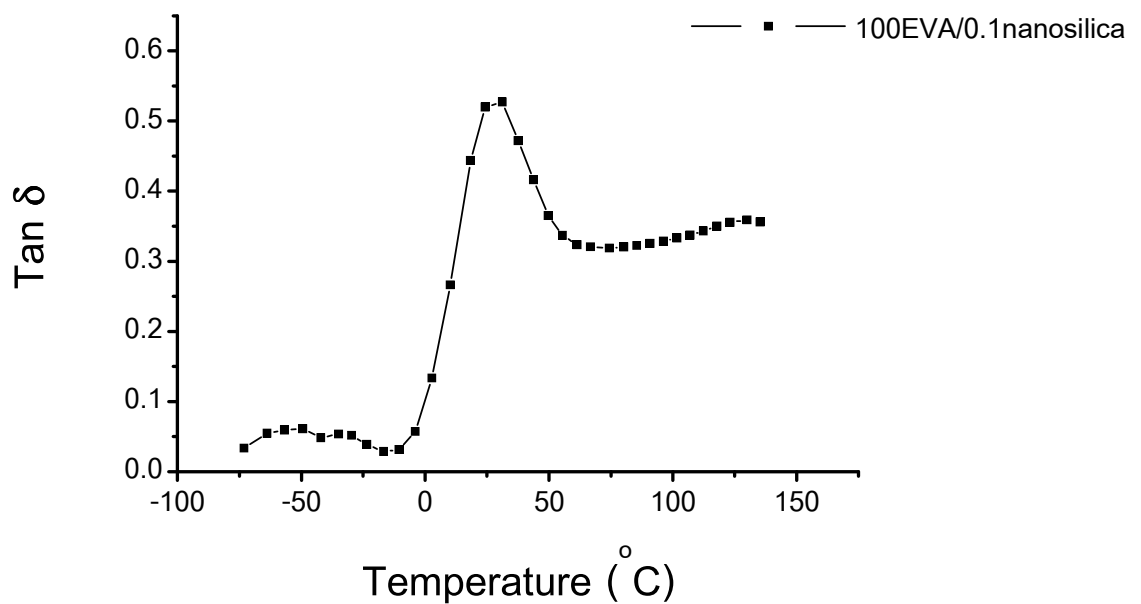


รูป ๔-16 TGA เทหอร์ไม้แก้วมของ 60EVA/40PS และ 60EVA/40PS ที่เติมน้ำในชิลิกา
ที่ปริมาณ 0.1 และ 0.5 phr

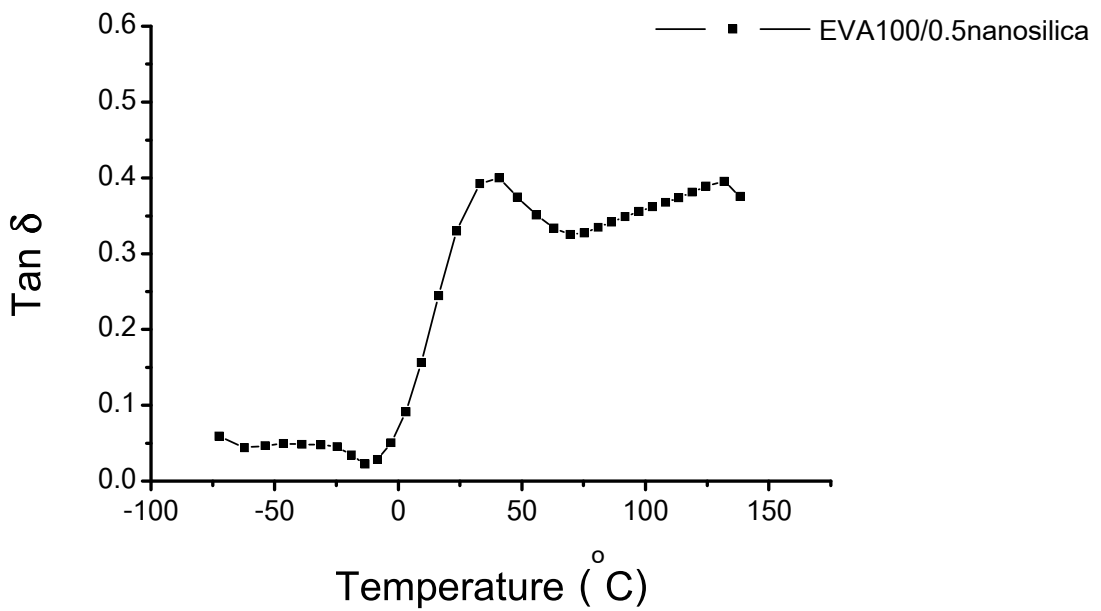
ภาคผนวก จ



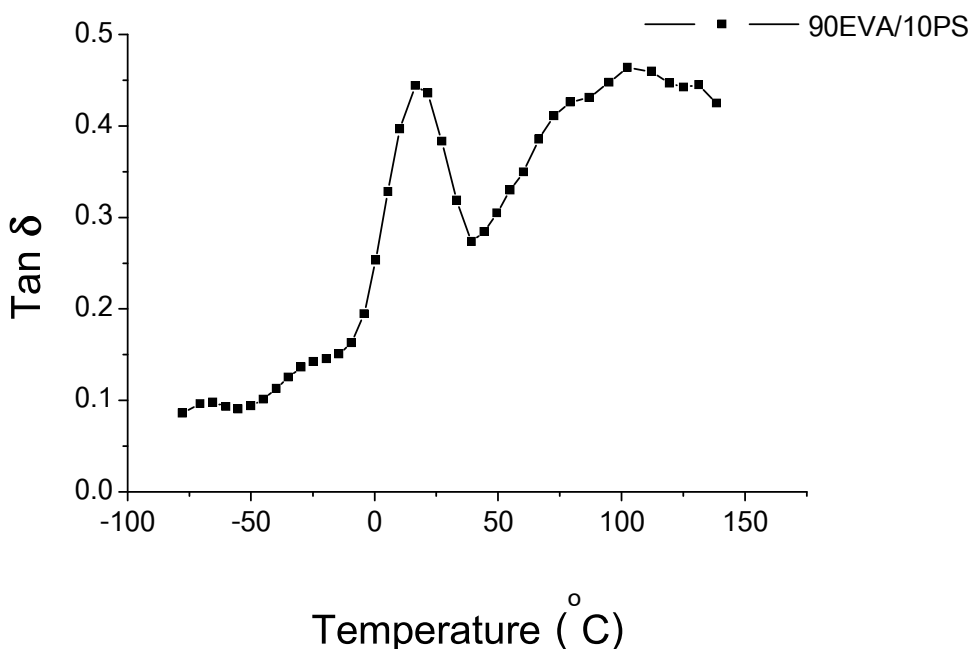
รูป จ-1 DMA เทอร์โมแกรมของ 100EVA



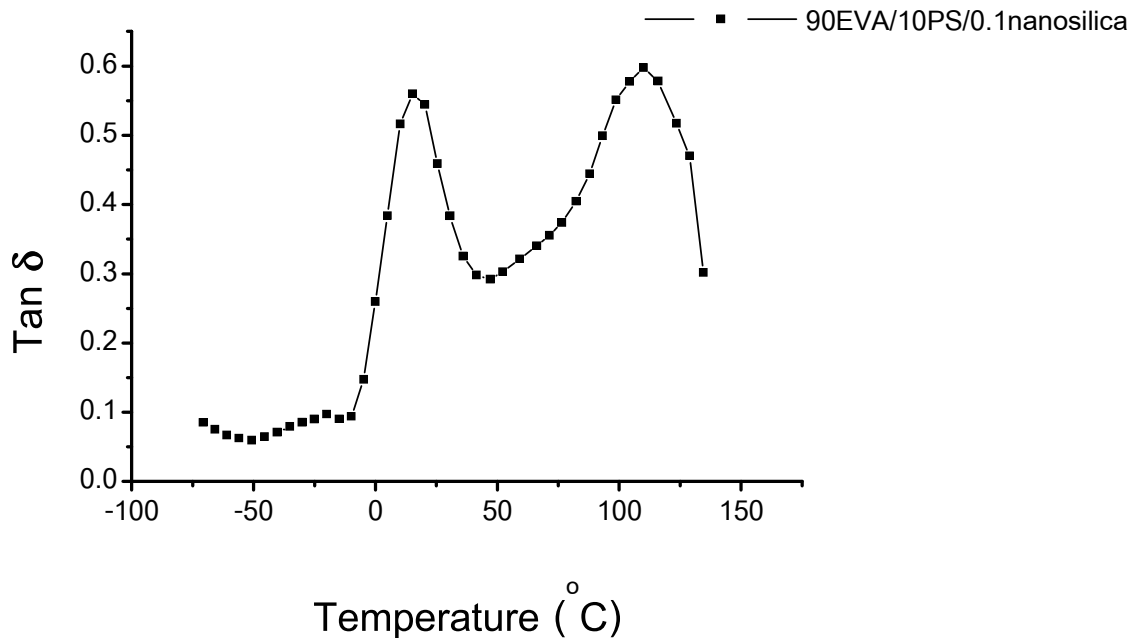
รูป จ-2 DMA เทอร์โมแกรมของ 100EVA/0.1nanosilica



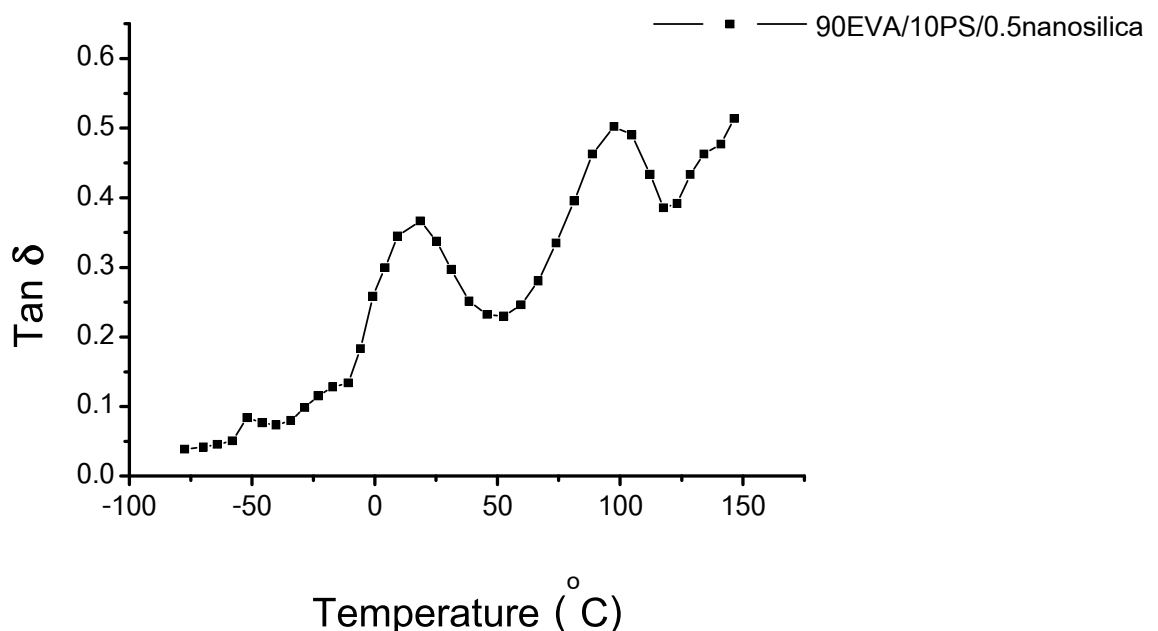
รูป จ-3 DMA เทอร์โมแกรมของ 100EVA/0.1nanosilica



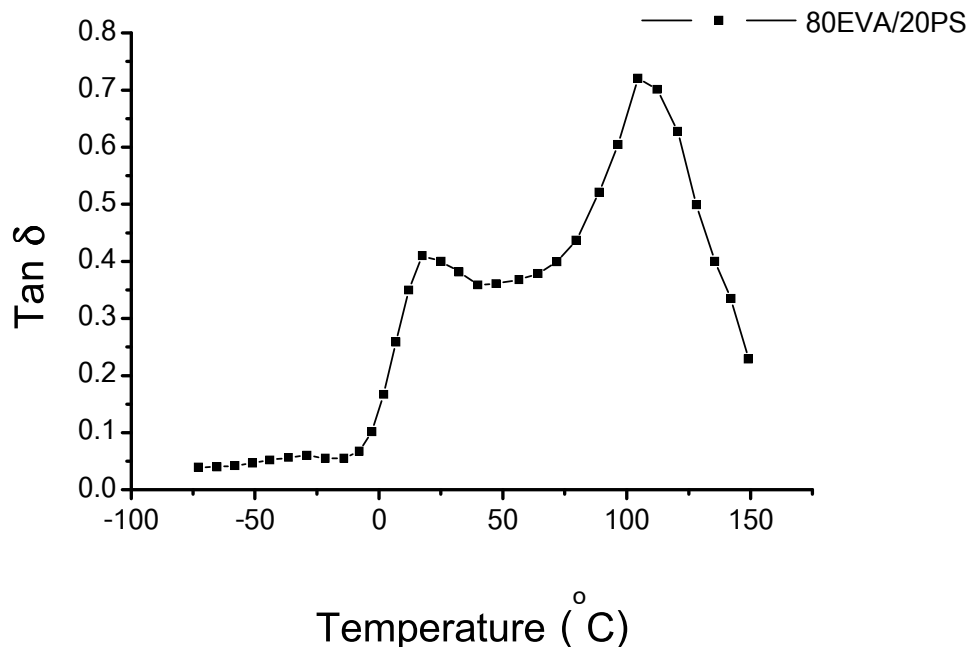
รูป จ-4 DMA เทอร์โมแกรมของ 90EVA/10PS



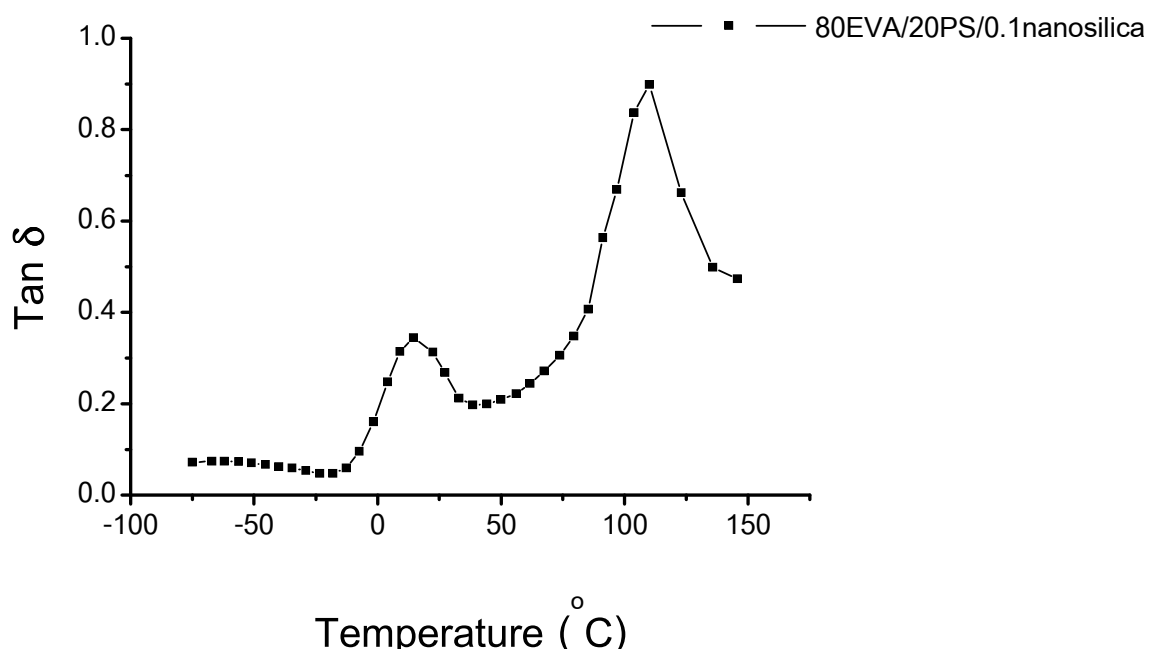
รูป ๔-๕ DMA เทอร์โมแกรมของ 90EVA/10PS/0.1nanosilica



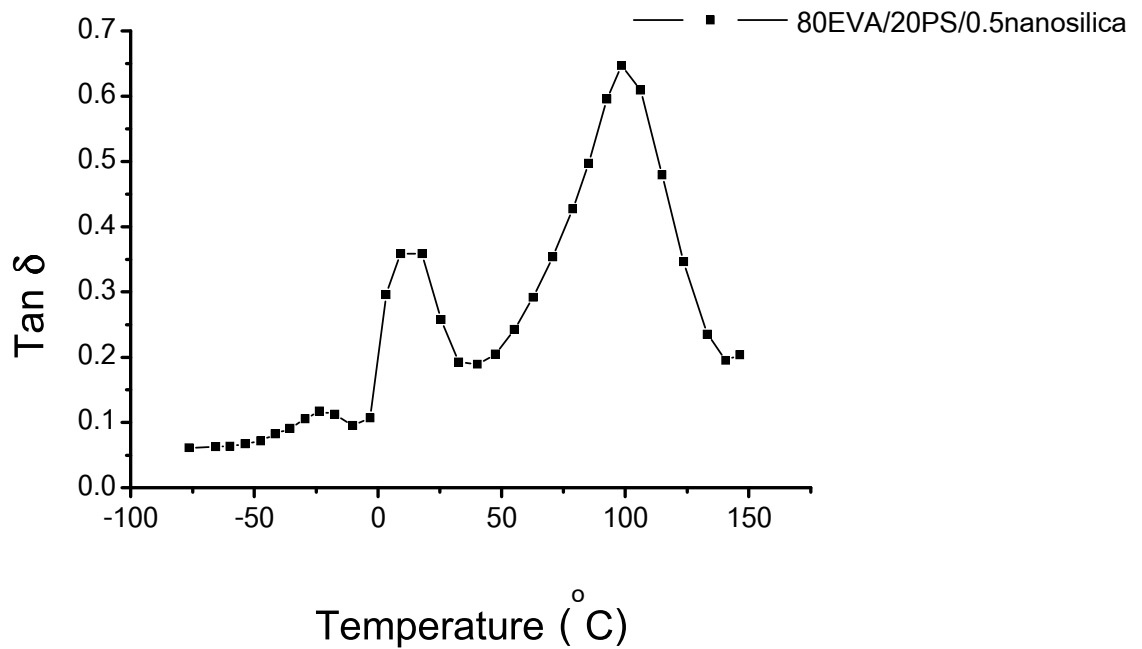
รูป ๔-๖ DMA เทอร์โมแกรมของ 90EVA/10PS/0.5nanosilica



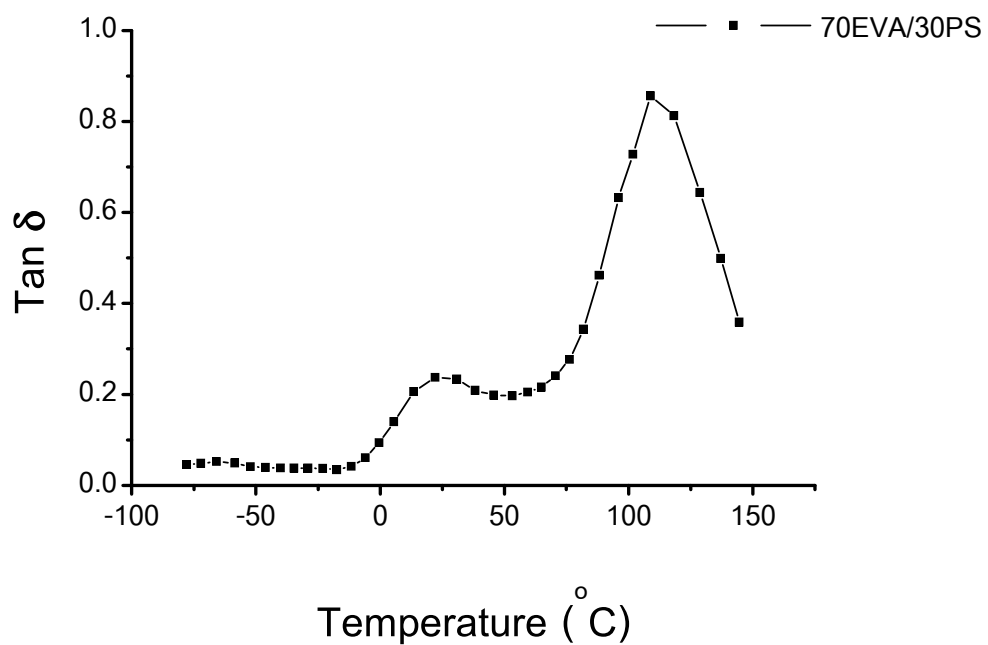
รูป ๔-7 DMA เทอร์โมแกรมของ 80EVA/20PS



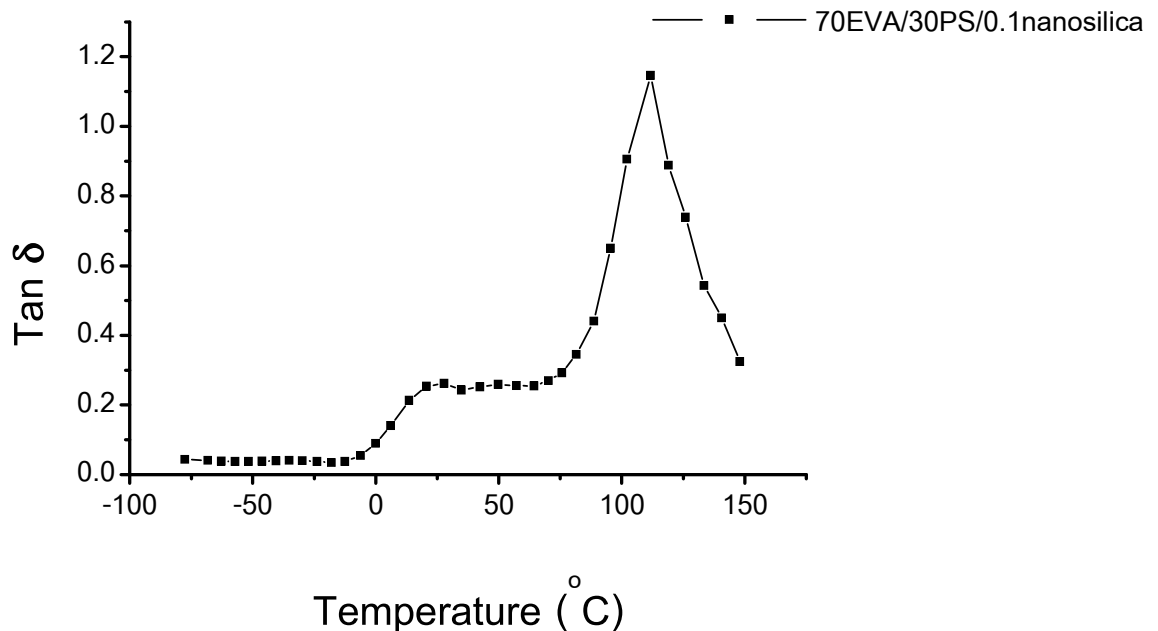
รูป ๔-8 DMA เทอร์โมแกรมของ 80EVA/20PS/0.1nanosilica



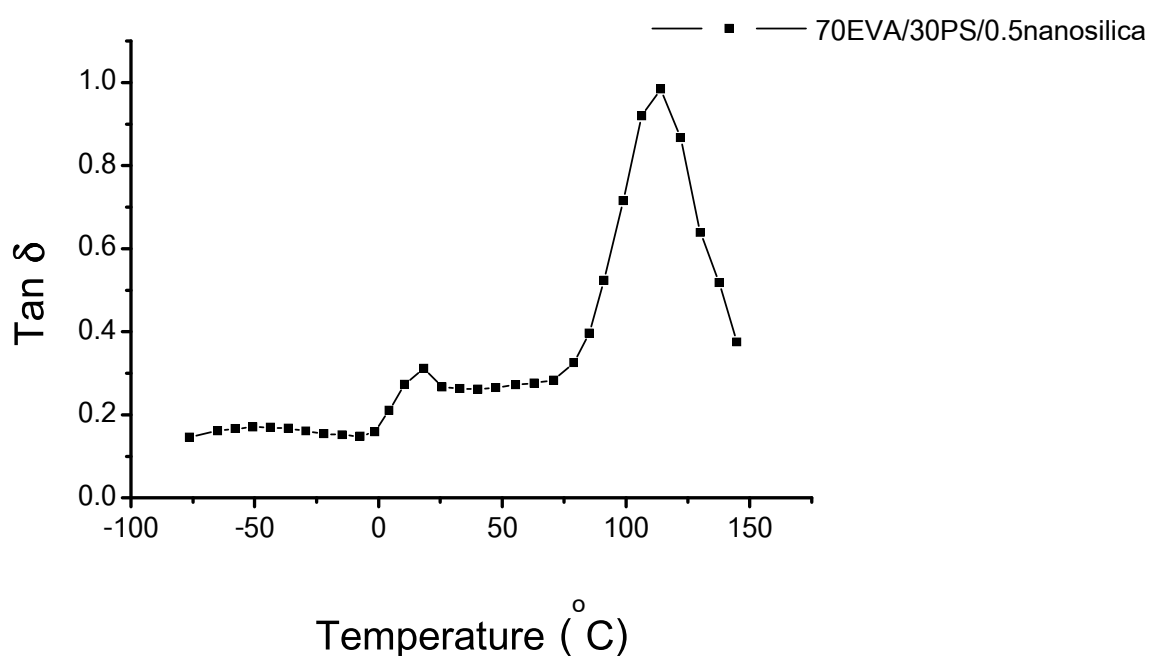
รูป ๔-๙ DMA เทอร์โมแกรมของ 80EVA/20PS/0.5nanosilica



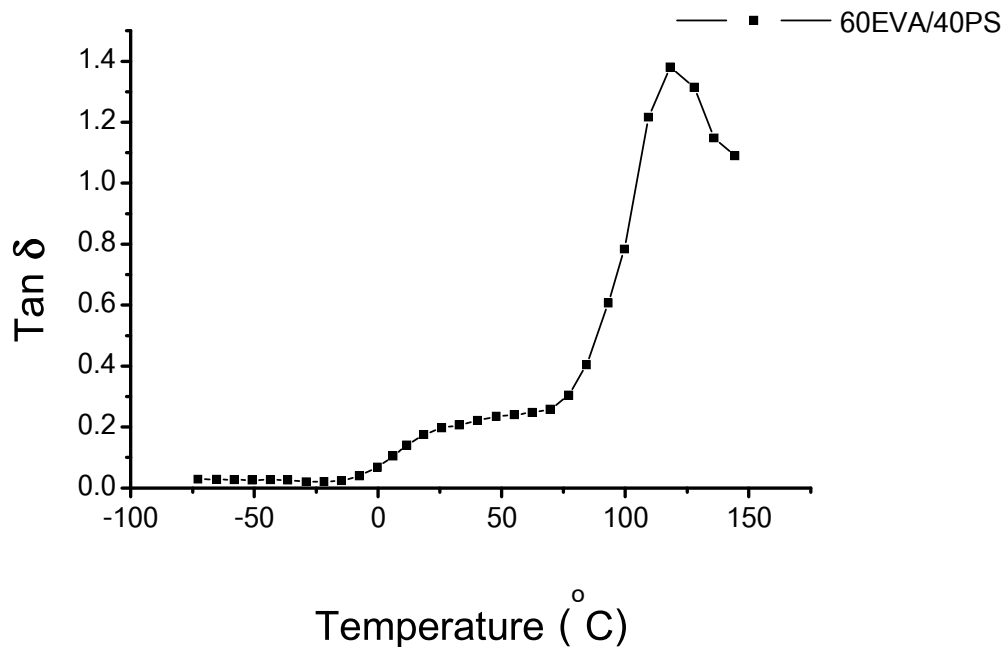
รูป ๔-๑๐ DMA เทอร์โมแกรมของ 70EVA/30PS



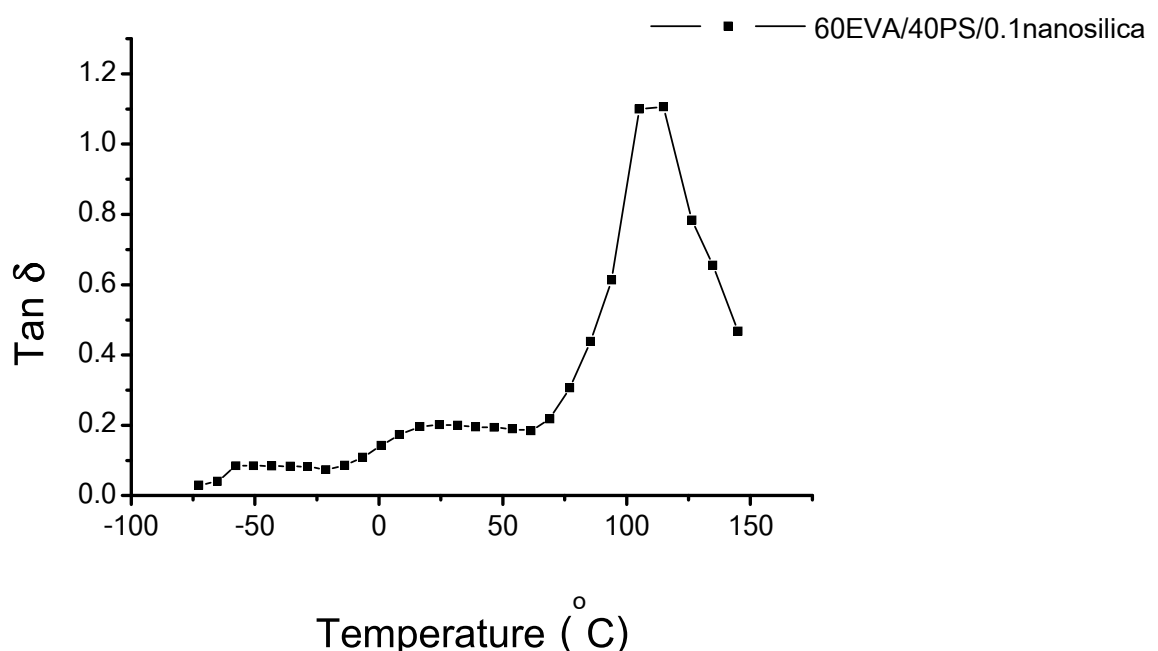
รูป จ-11 DMA เทอร์โมแกรมของ 70EVA/30PS/0.1nanosilica



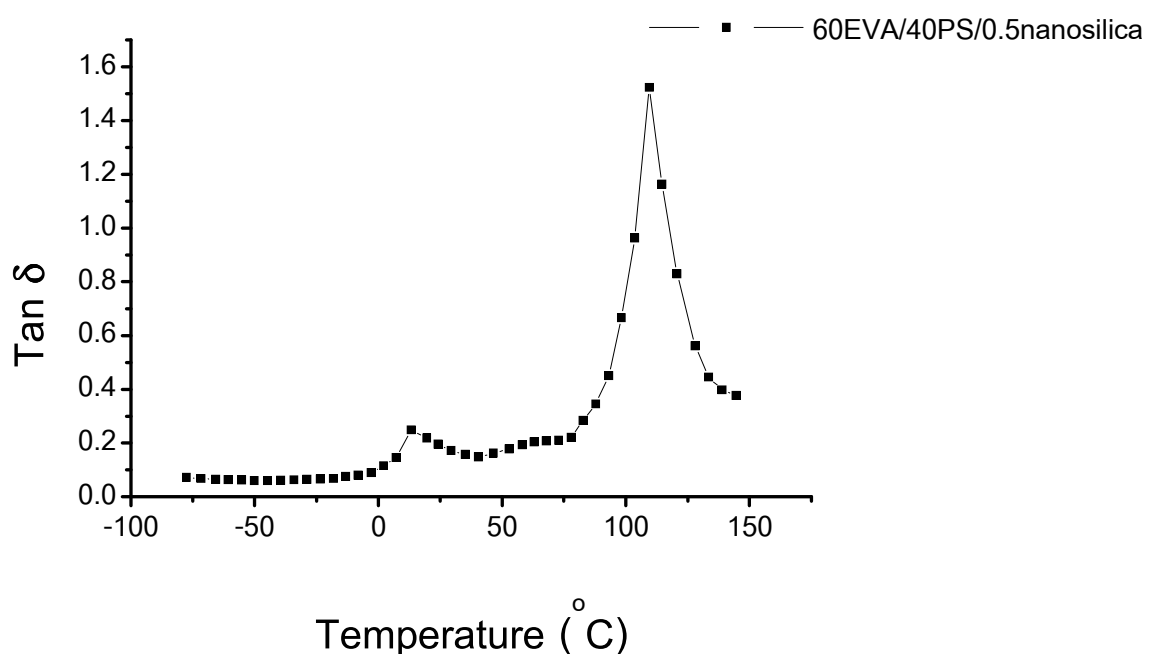
รูป จ-12 DMA เทอร์โมแกรมของ 70EVA/30PS/0.5nanosilica



รูป จ-13 DMA เทอว์มิแกรมของ 60EVA/40PS



รูป จ-14 DMA เทอว์มิแกรมของ 60EVA/40PS/0.1nanosilica



รูป ๔-15 DMA เทอร์โมแกรมของ 60EVA/40PS/0.5nanosilica

ประวัติผู้เขียนวิทยานิพนธ์

นางสาวณัฐณิชา ปิยะวงศ์ เกิดเมื่อวันที่ 9 พฤษภาคม พ.ศ. 2529 สำเร็จการศึกษาระดับปริญญาตรี วิทยาศาสตรบัณฑิต สาขารอลลิเมอร์และสิ่งทอ ภาควิชาวสัสดุศาสตร์ คณะวิทยาศาสตร์ จุฬาลงกรณ์มหาวิทยาลัย ในปีการศึกษา 2550 หลังจากนั้นจึงเข้าศึกษาต่อในหลักสูตรวิทยาศาสตรบัณฑิต สาขาวิทยาศาสตร์พอลิเมอร์ประยุกต์และเทคโนโลยีสิ่งทอ ภาควิชาวสัสดุศาสตร์ คณะวิทยาศาสตร์ จุฬาลงกรณ์มหาวิทยาลัย เมื่อปีการศึกษา 2551 และสำเร็จการศึกษาในภาคปลายปีการศึกษา 2552